ISTITUTO SUPERIORE DI SANITÀ

Ipercolesterolemia familiare e difetti del gene del recettore delle lipoproteine a bassa densità: mutazioni italiane e loro analisi

A cura di Alfredo Cantafora, Francesca Prestinaci e Ida Blotta

Dipartimento di Ematologia, Oncologia e Medicina Molecolare

ISSN 1123-3117

Rapporti ISTISAN 06/23

Istituto Superiore di Sanità

Ipercolesterolemia familiare e difetti nel gene del recettore delle lipoproteine a bassa densità. Mutazioni italiane e loro analisi.

A cura di Alfredo Cantafora, Francesca Prestinaci e Ida Blotta 2006, ii, 90 p. Rapporti ISTISAN 06/23

Il gene del recettore delle lipoproteine a bassa densità (Low-Density Lipoprotein Receptor, LDLR) può andare incontro ad un gran numero di mutazioni, sia piccole sia grossolane, che danno luogo, nei portatori omo- ed eterozigoti, alla ipercolesterolemia familiare. Nonostante i grandi progressi nello sviluppo delle tecniche diagnostiche genetico-molecolari, l'ampio spettro di mutazioni che coinvolgono questo gene ha impedito lo sviluppo di sistemi diagnostici commerciali in grado di soddisfare le esigenze di un Paese geneticamente eterogeneo come l'Italia. Il presente volume vuole offrire ai laboratori impegnati nella diagnostica clinica delle dislipidemie tutte le informazioni sulle caratteristiche delle mutazioni di rilievo patologico del gene LDLR e sulla loro distribuzione territoriale nel nostro Paese. Sono inoltre descritte alcune semplici metodiche analitiche, basate sulla PCR e l'uso di enzimi di restrizione, alla portata di qualsiasi laboratorio di diagnostica molecolare per poter eseguire, in campioni di DNA genomico, la ricerca di 23 tra le più comuni mutazioni individuate in Italia.

Parole chiave: Genetica, Ipercolesterolemia familiare, Diagnostica molecolare

Istituto Superiore di Sanità

Familial hypercholesterolemia due to defects in the gene encoding the LDL receptor. Mutations occurring in Italy and their analysis.

Edited by Alfredo Cantafora, Francesca Prestinaci and Ida Blotta 2006, ii, 90 p. Rapporti ISTISAN 06/23 (in Italian)

Low-Density Lipoprotein Receptor (LDLR) gene undergoes a great number of either small or gross mutations that cause in their homozygote and heterozygote carriers the classical familial hypercholesterolemia. In spite of the great advances in the development of efficient techniques for mutation detection, the wide spectrum of mutations that may affect this gene prevented the introduction of commercial diagnostics kits capable to satisfy the needs that derive from a genetically heterogeneous Country such as Italy. This volume is aimed at offering, to laboratories involved in the clinical diagnostics of human dyslipidemias, all available information about pathological LDLR mutations in our Country, as well as their areas of distributions. Besides, the volume describes some simple analytical techniques based on PCR and enzyme restrictions that may be easily performed by every diagnostic laboratory for the detection of 23 among the most common mutations found in our Country.

Key words: Genetics, Familial hypercholesterolemia, Molecular diagnostics

Per informazioni su questo documento scrivere a: alfredo.cantafora@iss.it.

Il rapporto è accessibile online dal sito di questo Istituto: www.iss.it.

Presidente dell'Istituto Superiore di Sanità e Direttore responsabile: *Enrico Garaci* Registro della Stampa - Tribunale di Roma n. 131/88 del 1° marzo 1988

Redazione: Paola De Castro, Sara Modigliani e Sandra Salinetti La responsabilità dei dati scientifici e tecnici è dei singoli autori.

INDICE

Introduzione	1
Recettore delle lipoproteine a bassa densità	
e ipercolesterolemia familiare	2
Il recettore delle lipoproteine a bassa densità	
Ipercolesterolemia familiare e mutazioni del gene LDLR	
Mutazioni puntiformi	
Mutazioni grossolane e sequenze Alu	
Polimorfismi del Gene LDLR	
Bibliografia	
Diagnosi clinica e criteri diagnostici della ipercolesterolemia familiare	11
Bibliografia	
Mutazioni del gene LDLR individuate in Italia	14
Bibliografia	
Metodiche analitiche per lo studio delle mutazioni genetiche	20
Metodi basati sulla PCR per la rivelazione di piccole mutazioni note	
Metodi basati sulle dimensioni del prodotto d'amplificazione	
Metodi basati su trattamenti post-PCR con endonucleasi di restrizione	
Metodi basati sull'amplificazione con primers mutagenici e trattamenti post-PCR	
con endonucleasi di restrizione	21
Metodi basati sull'amplificazione PCR allele-specifica (PASA)	
Metodi per l'individuazione di mutazioni incognite	
Tecnica d'analisi SSCP	22
Tecnica d'analisi degli eteroduplici (Heteroduplex Analysis o HA)	23
Bibliografia	23
Metodi per lo screening delle principali mutazioni italiane	25
Materiali e procedure comuni ai vari metodi	
Procedura d'estrazione rapida del DNA da sangue	
Procedura d'estrazione da sangue congelato con kit commerciale Purgene	
Procedura d'estrazione da sangue fresco o congelato mediante salting-out	
Metodi di analisi delle mutazioni	
FH-Catanzaro	28
FH-Rapone	
FH-Foggia-2 (amplificazione allele-specifica)	
FH-Alessandria (amplificazione allele-specifica)	
FH-Lucca (amplificazione allele-specifica)	
FH Padova-1	36
FH-Modena	38
FH-Reggio Emilia-2	
FH-Milano-2	
FH-Perugia-2	42
FH-Trieste	
FH-Avellino-1 (amplificazione allele-specifica)	45
FH-Chieti-2	
FH-Palermo-2 (amplificazione allele-specifica)	48

. 4
. 5
. 5
. 5
. 5
. 5
. 5
. 6
. 6
. 6
_
. 7
. 8
. 8
. 8
. 8

INTRODUZIONE

L'ipercolesterolemia familiare è una patologia a base genetica relativamente frequente: i portatori di varianti geniche che danno luogo a manifestazioni cliniche della malattia sono presenti in proporzione di circa 1:500 in quasi tutte le popolazioni. La malattia ha spesso manifestazioni cliniche poco evidenti nell'infanzia, ma è implicata nella predisposizione alle malattie cardiovascolari nell'adulto. Sono disponibili, attualmente, farmaci capaci di curare efficacemente l'ipercolesterolemia familiare e di prevenire, nel lungo termine, le sequele cardocircoltorie ad essa associate. È però necessario che la malattia sia correttamente diagnosticata quanto prima possibile. La presenza di livelli molto elevati di colesterolo circolante è una condizione necessaria, ma non sufficiente, per la diagnosi della malattia. Infatti la latitudine di variazioni del parametro patognomonico è ampia perché influenzata da altri fattori individuali e ambientali. Inoltre esistono altre forme d'ipercolesterolemia e l'aumento di colesterolo può essere secondario ad altre malattie. È perciò importante poter effettuare la diagnosi genetico-molecolare della malattia che offre la possibilità di una diagnosi certa e precoce, anche in fase pre-natale.

Questo volume aggiorna e amplia i contenuti di un volume stampato dallo stesso Istituto Superiore di Sanità nel 1998, il Rapporto ISTISAN 98/19 (Cantafora A, Blotta I, Mercuri E (Ed.). Metodi per l'analisi di mutazione nel gene del recettore LDL ricorrenti in Italia) con le informazioni di base sulla Ipercolesterolemia Familiare e sul gene del recettore delle lipoproteine a bassa densità dalle cui alterazioni origina la patologia. Inoltre descrive la situazione delle mutazioni genetiche, causa della patologia, che riguardano il nostro paese e rivede e aggiorna le metodologie per l'analisi di routine delle principali varianti genetiche trovate in Italia. Tali metodiche possono essere eseguite con apparecchiature aggiornate così come descritto oppure essere eseguite secondo modalità tradizionali, accessibili a qualsiasi laboratorio di diagnostica molecolare.

RECETTORE DELLE LIPOPROTEINE A BASSA DENSITÀ E IPERCOLESTEROLEMIA FAMILIARE

Alfredo Cantafora, Francesca Prestinaci, Rocco Careri, Ida Blotta Dipartimento di Ematologia, Oncologia e Medicina Molecolare, Istituto Superiore di Sanità, Roma

Il recettore delle lipoproteine a bassa densità

Il gene del recettore delle lipoproteine a bassa densità (LDLR) è localizzato, nel genoma umano, sul braccio corto del cromosoma 19 (locus 19p13.1–13.3), (1). Si estende per circa 45 kbasi ed è strutturato in 18 esoni e 17 introni (2). L'appendice A riporta l'intera sequenza del gene. L'appendice B riportata la sola sequenza codificante (cui si fa riferimento per indicare le mutazioni geniche) e la relativa traduzione. La Figura 1 riassume le caratteristiche strutturali del gene.

Il prodotto genico maturo è una glicoproteina transmembrana di 839 aminoacidi (aa), la proteina tradotta ha però un peptide segnale di 21 aa che, dopo il trasporto al Golgi, è immediatamente rimosso. La proteina LDLR è un mosaico di sequenze peptidiche, o domini funzionali, ad elevata omologia con sequenze presenti in altre proteine: ben 13 dei 18 esoni del gene LDLR codificano, infatti, sequenze amino-acidiche omologhe a quelle d'altre proteine. In particolare, si riscontrano omologie con una sequenza di 40 aa della regione centrale del componente C9 del complemento, con una sequenza ripetuta nel precursore del fattore di crescita dell'epidermide (EFG) e con tre proteine del sistema di coagulazione del sangue (fattore IX, fattore X e proteina C).

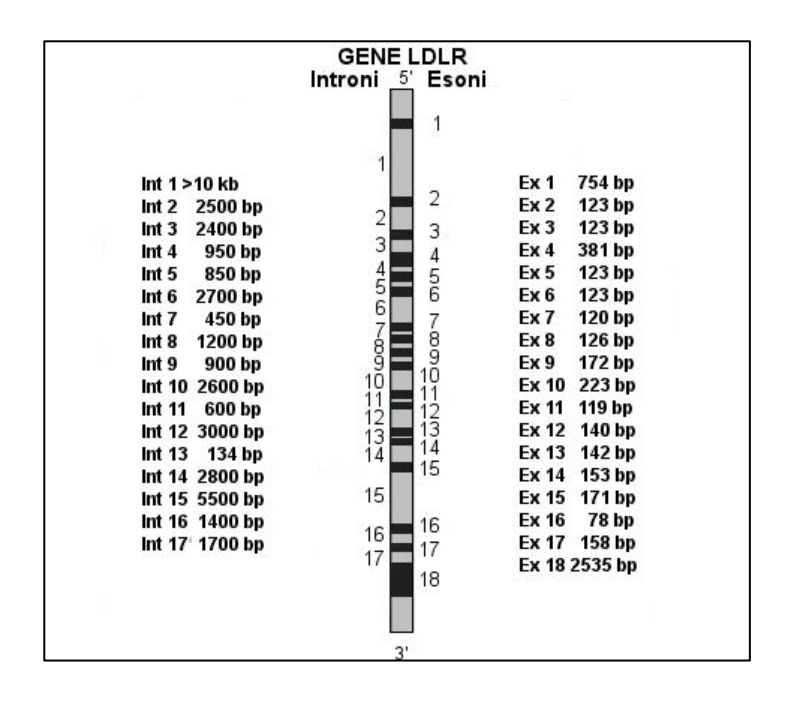


Figura 1. Struttura del gene LDLR

17

18

DOMINI ESONI Cisteina Catene PEPTIDE Glicosidiche NH2 СООН SEGNALE SITO DI LEGAME **OMOLOGIA** CON EGF 9-13 14 ZUCCHERI O-LINKED 15 DOMINIO 16 TRANSMEMBRANA

La Figura 2 mostra la struttura della proteina LDLR, ne evidenzia i domini strutturali e la corrispondenza tra la sequenza della proteina e del gene.

Figura 2. Domini strutturali della proteina LDLR e loro corrispondenza con la sequenza genica

COOH

DOMINIO

CITOPLASMATICO

L'esone 1 (70 bp) codifica il peptide segnale che è tagliato dalla proteina durante la traslocazione nel reticolo endoplasmatico.

Gli esoni 2-6 codificano il primo dominio, comprendente sette sequenze di 40 aa, tra loro poco differenti, contenenti ciascuna sei residui di cisteina. Queste sequenze ripetute (*repeats*) sono necessarie all'interazione con il ligando che è l'apolipoproteina B-100 (ApoB-100) o l'apolipoproteina E (ApoE) (3). Ciascuna di queste sequenze ripetitive è codificata da un singolo esone eccetto i *repeats* 3, 4 e 5, tutti codificati dall'esone 4. Le sequenze aminoacidiche di ciascun repeat sono omologhe ad una sequenza di 40 aa della regione centrale del componente C9 del complemento, una proteina coinvolta nella cascata del complemento (4).

Gli esoni 7-14 codificano un dominio di 400 aa necessario alla dissociazione delle lipoproteine dal recettore una volta che il complesso recettore-lipoproteina è trasferito all'interno della cellula come endosoma. Ciò consente il ritorno del recettore sulla membrana plasmatica e quindi il suo riciclo (5). Questo dominio mostra il 33% di identità con una porzione

del precursore del fattore di crescita umano dell'epidermide (EGF: epidermal growth factor) (6). È stato ipotizzato perciò che, nel corso dell'evoluzione, gli esoni che codificano questo dominio siano stati trasferiti da un qualche gene ancestrale al gene LDLR e al gene del precursore di EGF (7).

Gli esoni 7, 8, e 14 codificano per tre *repeats* di 40 aa (definiti A, B e C), ricchi in cisteina, le cui sequenze presentano omologie con alcune proteine coinvolte nella coagulazione del sangue (8). Pertanto anche in questo caso è stata ipotizzata una condivisione di sequenze codificanti tra il gene LDLR e membri di altre famiglie geniche.

L'esone 15 codifica il terzo dominio formato da 58 aa. Questo dominio è ricco di residui di serina e treonina che costituiscono i siti di legame per le catene glicosidiche O-legate.

Il quarto dominio è codificato dall'esone 16 e da una parte dell'esone 17 (estremità 5' dell'esone), include 22 aa idrofobici che costituiscono il dominio transmembrana.

Infine, la parte restante dell'esone 17 (estremità 3' dell'esone) e l'esone 18 codificano il quinto dominio, formato da 50 aa. Questo dominio rappresenta la coda citoplasmatica della proteina che consente la formazione di assemblaggi (*clusters*) recettoriali nelle fossette rivestite (*coated pits*) e l'endocitosi stessa del recettore.

Oltre alla sequenza nucleotidica che codifica la proteina, il gene include anche gli elementi che ne regolano la trascrizione (Figura 3). La regione che regola la trascrizione del gene è localizzata circa 250 bp a monte del codone di inizio ATG, fiancheggia l'estremità 5' e contiene 3 repeats da 16 paia di basi e una TATA box. I repeats 1, 2 e 3 formano una sequenza denominata SRE (Sterol Regulatory Element).



Figura 3. Elementi regolatori nel promotore del gene LDLR

I repeats 1 e 3 sono responsabili del livello basale di trascrizione del gene. Il repeat 2 contiene invece una sequenza di 8 basi, denominata SRE-1, che media la regolazione a feedback della trascrizione del gene da parte degli steroli, attraverso il legame con le proteine SREBPs (Sterol Regulatoy Elements Binding Proteins).

Le SREBPs sono proteine delle membrane intracellulari, hanno la capacità di interagire con le sequenze di regolazione SRE a monte del gene LDLR e d'altri geni coinvolti nel metabolismo cellulare del colesterolo, come la idrossimetil-glutaril-coenzima A reduttasi (HMGCR), l'enzima che catalizza la tappa metabolica che limita la sintesi del colesterolo.

Quando la concentrazione di steroli nella cellula è normale la SREBP è legata alle membrane del reticolo endoplasmatico o alla membrana nucleare e assume una conformazione a forcina che lascia sporgere i domini amino- e carbossi-terminali nel citosol. In condizioni di deficit di steroli, SREBP è traslocata dal reticolo endoplasmatico (RE) all'apparato di Golgi per mezzo della proteina attivatrice SCAP o SREBP Activating Protein; dopo la traslocazione sul Golgi si attivano due enzimi proteolitici (S1P, Site One Protease e S2P-Site Two Protease) che tagliano sequenzialmente il dominio amino-terminale, quello che interagisce con le sequenze di regolazione (Figura 4).

Il peptide generato dalla seconda proteolisi penetra all'interno del nucleo e interagisce con le sequenze di regolazione aumentando la trascrizione e, di conseguenza, l'espressione genica.

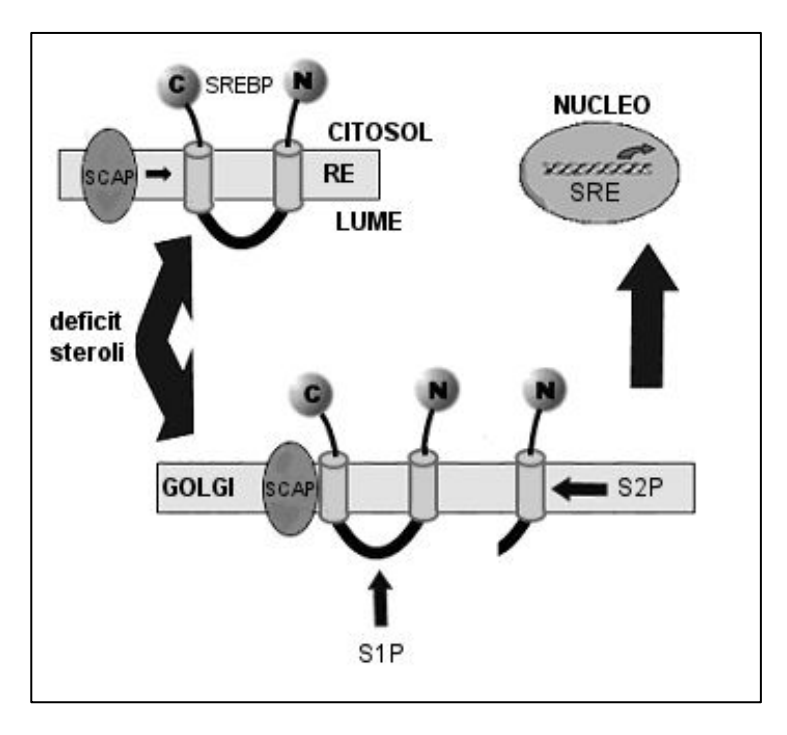


Figura 4. Regolazione della trascrizione del gene LDLR

Ipercolesterolemia familiare e mutazioni del gene LDLR

L'ipercolesterolemia familiare, FH (Familial Hypercholesterolemia) secondo la corrente terminologia anglosassone, è una malattia ereditaria, trasmessa con tratto autosomico dominante, caratterizzata da alti livelli ematici di colesterolo totale (TC) e colesterolo LDL (LDL-C), ma non di trigliceridi (TG).

La malattia nella forma omozigote ha manifestazioni cliniche severe (xantomi tendinei e arco corneale, valori di TC compresi tra 600 e 1200 mg/dL) che compaiono già in età infantile. I soggetti eterozigoti, grazie alla presenza nel loro genoma di un allele normale, hanno manifestazioni più lievi, spesso poco evidenti in età infantile. Le sequele cardiovascolari della malattia si verificano, nel maschio, verso i 35-40 anni, verso i 45-55 anni nella femmina.

La malattia è comunemente determinata da un difetto del gene LDLR (9, 10 e 11) che impedisce o altera il legame con la lipoproteina LDL o, comunque, con frazioni lipoproteiche contenenti ApoB-100 o ApoE. Si conoscono forme analoghe di ipercolesterolemia familiare dovute a rari difetti nel gene che codifica per l'apolipoproteina B (APOB) e per la proproteina convertasi subtilisina/kexina, tipo 9 (PCSK9) (12-13). Le mutazioni in questi ultimi geni danno luogo, rispettivamente, all'ipercolesterolemia familiare da difetto di apoB100 (o FDB = Familial Defective ApoB) e all'ipercolesterolemia autosomica dominante tipo 3 (FH3 o ADH3). Queste presentano qualche lieve differenza nell'espressione fenotipica rispetto alla classica FH da mutazioni nel gene LDLR e non sono prese in considerazione in questo lavoro.

I difetti nel gene LDLR possono essere di tipo puntiforme (mutazioni missenso o nonsenso), piccole (piccole delezioni o inserzioni, con o senza perdita della trama di lettura) e grossolane (riarrangiamenti che comportano la perdita o la duplicazione di intere sezioni del gene). Queste ultime mutazioni sono causate dalla presenza nel genoma umano di un alto numero di sequenze ripetitive, distribuite in modo non uniforme, note come "short interspersed sequences" (SINEs o sequenze Alu), la cui propagazione ha dato luogo ad una varietà di "subfamiglie Alu". Di fatto, queste sequenze si comportano come elementi mobili del genoma, causando rotture e ricombinazioni, inserzioni e delezioni, conversione genica e alterazione nell'espressione dei geni. In particolare, il gene LDLR, con i 12 punti di rottura e ricombinazione riportati nel database dei punti di rottura e riarrangiamento *The Gross Rearrangement Breakpoint Database* (*GraBD*) http://archive.uwcm.ac.uk/uwcm/mg/ns/7/119362.html è considerato fra i più suscettibili a riarrangiamenti genici grossolani che determinano forme gravi di FH riscontrate in varie popolazioni di tutto il mondo.

I soggetti affetti da FH in condizioni di omozigosi, rappresentano un modello sperimentale prezioso per lo studio della funzionalità del gene, in quanto permettono di analizzare le alterazioni a carico del recettore LDLR, causate dall'allele mutante, in assenza completa degli effetti di fondo prodotti dall'allele normale. Questi studi sono effettuati mediante un modello in vitro nel quale si valuta l'interazione tra fibroblasti in coltura (ottenuti da biopsie cutanee di soggetti omozigoti per mutazioni perfettamente caratterizzate dal punto di vista molecolare) e LDL marcate. Si è così stabilito che esistono 5 diverse classi di fenotipi difettivi, secondo la fase del meccanismo di funzionamento del recettore LDLR che è compromessa (Figura 5). Precisamente:

- Classe 1: fenotipo "allele nullo"
- Classe 2: fenotipo "trasporto difettivo"
- Classe 3: fenotipo "legame difettivo"
- Classe 4: fenotipo "internalizzazione difettiva"
- Classe 5: fenotipo "riciclo difettivo"

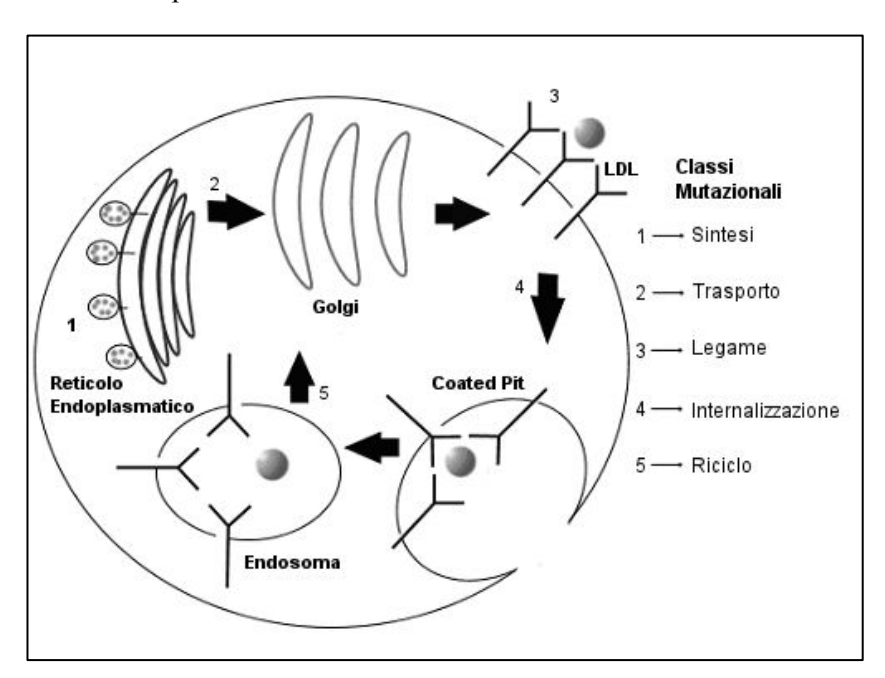


Figura 5. Classi mutazionali del gene LDLR

La classe con fenotipo "allele nullo", che include il maggior numero di mutazione note, è provocata da mutazioni che causano l'assenza o la presenza in tracce della proteina LDLR, che non è dosabile per immumo-precipitazione.

Questa classe può essere divisa ulteriormente in due sottoclassi in base al seguente criterio: (1A) mancanza della proteina immuno-precipitabile, unitamente a quella del suo mRNA; (1B) mancanza della proteina immuno-precipitabile, in presenza però del suo mRNA.

La seconda classe comprende mutazioni che provocano la sintesi di una proteina parzialmente (sottocasse 2A), o totalmente (sottoclasse 2B) incapace di essere trasferita dal reticolo endoplasmatico rugoso al complesso del Golgi. Di conseguenza il recettore, pur essendo sintetizzato correttamente, subisce una incompleta N- e O-linked glicosilazione da cui consegue il blocco del trasferimento del recettore alla membrana plasmatica (14- 15).

La terza classe comprende le mutazioni che provocano un'anomala interazione recettoreligando. Anche questa classe può presentare una varietà di sfumature. La definizione di legame difettivo per il fenotipo di questa classe è sempre valida quando il ligando è la singola molecola di ApoB100, presente in una particella LDL. Considerano invece come ligandi le IDL, che interagiscono con il recettore attraverso le 4 copie di ApoE in esse contenute, si può osservare una serie di differenti comportamenti che vanno da una totale conservazione del legame ad una drastica riduzione.

È stata esaminata l'importanza di ciascuno dei 7 repeats del dominio di legame e dei 3 repeats del dominio di omologia con il precursore di EGF, in rapporto al legame del recettore con i ligandi ApoE e ApoB100. A tale scopo sono stati valutati gli effetti indotti da sostituzioni di amminoacidi a livello di residui altamente conservati nelle sequenze ripetitive e da delezioni di singoli repeats. Da questi studi è emerso che la rimozione del primo repeat del dominio di legame della proteina, ha scarse conseguenze sul legame del recettore sia con le LDL che con le IDL, il cui ligando è ApoE (16). La delezione del repeat 2 riduce fortemente il legame con le LDL, mentre ha un effetto di scarso rilievo sul legame con le IDL. La presenza di tutti gli altri 5 repeats del dominio di legame è assolutamente necessaria per il legame con le LDL, mentre il legame con le IDL è compromesso del 60% dalla rimozione del repeat 5 e da mutazioni a livello di certi amminoacidi. Infine, il repeat A della regione di omologia con il precursore di EGF è necessario al legame con le LDL ma non con le IDL.

La quarta classe comprende le mutazioni che producono una proteina in grado di trasferirsi sulla superficie cellulare e di reagire regolarmente con il ligando, ma incapace di aggregarsi nelle fossette rivestite: di conseguenza questo recettore mutante non internalizza regolarmente il ligando. Anche in questo caso esiste una sottoclassificazione in due gruppi: mutazioni che alterano solo il dominio citoplasmatico della proteina e si manifestano come deficit recettoriale (classe 4A) e altre che alterano sia il dominio citoplasmatico che transmembrana e si manifestano come assenza del recettore (classe 4B).

Alla quinta classe appartengono le mutazioni che impediscono il riciclo del recettore. In questo caso la proteina non è rilasciata regolarmente nell'endosoma e compromette così il suo ritorno sulla membrana cellulare. Questo difetto dipende da anomalie a carico del dominio omologo al precursore di EGF, in particolare in alcuni dei *repeats* ad alto contenuto di cisteina.

Mutazioni puntiformi

La correlazione genotipo-fenotipo del gene LDLR è ancora oggetto d'indagine perché ciascuna mutazione presenta un ampio spettro di variabilità fenotipica inter-individuale che rende difficoltoso lo studio di correlazione.

Sebbene le mutazioni puntiformi siano distribuite sull'intero gene, vi è in eccesso di mutazioni sull'esone 4 (P = 0.001), che codifica per i tre *repeats* centrali del dominio di legame, e sull'esone 9 (P = 0.01) che codifica per l'estremità amino-terminale della regione centrale del dominio di omologia con il precursore EGF. Sono invece rare le mutazioni nell'esone 13 (P=0.001), che codifica per l'estremità carbossi-terminale della regione centrale del dominio di omologia con il precursore EGF, e nell'esone 15 (P=0.001) che codifica per il dominio in cui si legano le catene di zuccheri O-linked. L'analisi della distribuzione delle mutazioni, dopo l'allineamento dei 7 *repeats*, mostra che il 74% delle mutazioni nel dominio dei siti di legame cade su aa conservati, principalmente localizzati nella regione C-terminale dei *repeats*.

Mutazioni grossolane e sequenze Alu

I riarrangiamenti nel gene LDLR sono una delle tante cause della FH e mostrano, da un punto di vista molecolare, un'ampia eterogeneità per lunghezza, tipo e localizzazione (17). Si tratta prevalentemente di delezioni, di preferenza localizzate nella parte del gene che comprende gli esoni 1-8 e 13-18 (18, 19). Questa particolare localizzazione in alcune parti del gene si pensa sia dovuta alla presenza delle sequenze ripetitive Alu, tipo molto frequente di sequenze SINEs (*Short Interspersed Elements*).

Gli elementi Alu sono presenti, comunemente, negli introni, nelle regioni 3' UTR dei geni e nelle regioni intergeniche del genoma. Recentemente un'analisi dettagliata della sequenza del genoma umano ha dimostrato che le SINEs, con più di un milione di copie, sono i più abbondanti elementi mobili del genoma umano. Mediamente la lunghezza di una sequenza Alu è circa 300 bp, in dipendenza, soprattutto, dalla lunghezza della coda oligonucleotidica ricca di adenina all'estremità 3' in cui solo raramente vi si trovano altre basi.

La regione centrale della sequenza Alu, anch'essa ricca di adenina, contiene un promotore per la RNA-polimerasi III. L'amplificazione degli elementi Alu avviene attraverso la trascrizione inversa di un Alu-RNA trascritto dalla RNA-polimerasi III nel processo chiamato retrotrasposizione. Non essendoci un segnale di terminazione per la RNA-polimerasi III, il trascritto si estenderà fino a raggiungere un tipico segnale di terminazione sul filamento senso del DNA, quale una serie di 4 o più molecole di timina.

Gli elementi Alu, non avendo un open reading frame, attingono i fattori necessari per la loro amplificazione dalle LINEs. Questi elementi codificano una trascrittasi inversa funzionale che ha anche un dominio endonucleasico L1, e forniscono le funzioni enzimatiche necessarie agli elementi Alu per la loro amplificazione.

Le sequenze ripetitive nel DNA possono avere una profonda influenza sulla stabilità di un determinato gene: l'instabilità intrinseca nelle sequenze Alu introniche del gene LDLR sembra essere un fattore molto importante nei grossi riarrangiamenti, inoltre, è stato osservato che la possibile formazione di particolari strutture secondarie, dovute all'appaiamento intramolecolare di queste sequenze Alu, potrebbe predisporre il genoma umano a grosse delezioni;

Polimorfismi del Gene LDLR

Sono riportati in letteratura numerosi polimorfismi del gene dovuti a cambiamenti di una singola base (SNP, *Single Nucleotide Polymorphism*), sia in sezioni codificanti, sia in sezioni non codificanti del gene, che non manifestano effetti clinicamente rilevanti sulla funzionalità del recettore.

Un elenco dei più comuni polimorfismi presenti nel gene è riportata in Appendice E.

Bibliografia

- 1. Francke U, Brown MS and Goldstein JL. Assignament of the human gene for the low density lipoprotein receptor to chromosome 19: Syntheny of a receptor, a ligand, and a genetic disease. *Proc Natl Acad Sci* USA 1984;81:2826-30.
- 2. Sudhof TC, Goldstein JL, Brown MS and RusseL DW. A mosaic of exons shared with different proteins. *Science* 1985;228:815-22.
- 3. Brown MS and Goldstein JL. A receptor mediated pathway that controls the cholesterol homeostasis. *Science* 1986;232:34-47.
- 4. Stanley KK, KOcher HP, Luzio JP, Jakson P and Tschopp J. The sequence and topology of human complement component C9. *EMBO J* 1985;4:375-82.
- Davis CG, Goldstein JL, Sudhof TC, Anderson RGW, Russel DW and Brown MS. Aciddependent ligand association and recycling of LDL receptor mediated by growth factor homology region. *Nature* 1987;326:760-5.
- 6. Russel DW, Schneider WJ, Yamamoto T, Luskey KL, Brown MS and GOLDSTEIN JL. Domain map of the LDL receptor: Sequence homology with the epidermal growth factor precursor. *Cell* 1984;37:577-85.
- 7. Sudhof TC, Russel DW, Goldstein JL, Brown MS Sanchez-PescadoR R and Bell GI. Cassette of eight exons shared by genes for LDL receptor anf EFG precursor. *Science* 1985;228:893-5.
- 8. Dolittle RF. The genealogy of some recently evolved vertebrate proteins. *Trendes Biochem Sci* 1985;10:223-37.
- 9. Goldstein JL, Hobbs HH and Brown MS. Familial hypercholesterolemia. In: Scriver CR, Beaudet AL, Sly WS and Valle D, (Ed.). *The metabolic and moleculars bases of inherited disease*, McGraw-Hill: New York; 2001. pp. 2863-2913.
- 10. Hobbs HH, Brown MS and Goldstein JL. Molecular genetics of the LDL receptor gene in familial hypercholesterolemia. *Hum Mutat* 1992;1:445-66.
- 11. Varret M, Rabes JP, Collod-Beroud G, Junien C, Boileau C and Beroud C. Software and databases for the analysis of mutations in the human LDL receptor gene. *Nucleic Acids Res* 1997;25:172-80.
- 12. Boren J, Ekstrom U, Agren B, Nilsson-Ehle P, Innerarity TL. The molecular mechanism for the genetic disorder Familial Defective Apolipoprotein B100. *J Biol Chem* 2001;276:9214-8.
- Abifadel M, Varret M, Rabes JP, Allard D, Ouguerram K, Devillers M, Cruaud C, Benjannet S, Wickham L, Erlich D, Derre A, Villeger L, Farnier M, Beucler I, Bruckert E, Chambaz J, Chanu B, Lecerf JM, Luc G, Moulin P, Weissenbach J, Prat A, Krempf K, Junien C, Seidah NG, Boileau C. Mutations in PCSK9 cause autosomal dominant hypercholesterolemia. *Nat Genet* 2003;34:154-6.
- 14. Schneider WJ, Brown MS and Goldstein JL. Kinetic defects in the processing of the LDL receptor in fibroblasts from WHHL rabbits and a family with familial hypercholesterolemia. *Mol Biol Med* 1983;1:353-67.
- 15. Tolleshaug H, Hobgood KK, Brown MS and Goldstein JL. The LDL receptor locus in familial hypercholesterolemia: Multiple mutations disrupting the transport and processing of a membrane receptor. *Cell* 1983;32:941-51.
- 16. Esser V, Limbird LE, Brown MS Goldstein JL and Russel DW. Mutational analysis of the ligand binding domain of the low density lipoprotein receptor. *J Biol Chem* 1988;263:13282-90.
- 17. Amsellem S, Briffaut D, Carrie A, Rabes JP, Girardet JP, Fredenrich A, Moulin P, Krempf M, Reznik B, Vialettes B, De Gennes JL, Brukert E, Benlian P. Intronic mutations outside of Alurepeat-rich domains of the LDL receptor gene are cause of familial hypercholesterolemia. *Hum Genet* 2002;111:501-10.

- 18. Horsthemke B, Beisiegel U, Dunning A, Havinga JR, Williamson R, Humphries S. Unequal crossing-over between two alu-repetitive DNA sequences in the low density-lipoprotein-receptor gene. A possible mechanism for the defect in a patient with familial hypercholesterolemia. *Eur J Biochem* 1987;164:77-81.
- 19. Lehrman MA, Goldstein JL, Russel DW and Brown MS. Duplications of seven exons in LDL receptor gene caused by Alu-Alu recombination in a subject with familial hypercholesterolemia. *Cell* 1987;48:827-35.

DIAGNOSI CLINICA E CRITERI DIAGNOSTICI DELLA IPERCOLESTEROLEMIA FAMILIARE

Stefano Bertolini, Livia Pisciotta Dipartimento di Medicina Interna dell'Università di Genova

Come suggerisce il nome stesso della malattia, la manifestazione clinica più rilevante della ipercolesterolemia familiare (FH) è il forte aumento della concentrazione ematica di colesterolo totale che deriva, a sua volta, da un innalzamento quasi esclusivo della concentrazione della frazione LDL. Il valore della colesterolemia, pur rappresentando il fattore patognomonico della malattia, non è sufficiente però a formulare una diagnosi di FH. Il dato di laboratorio va riferito alle caratteristiche individuali del paziente, alle sue abitudini di vita, alla concomitanza con altre malattie, alla presenza d'altri segni clinici e all'anamnesi familiare. Ciò, almeno, limita il rischio di confondere forme secondarie d'ipercolesterolemia o la più comune ipercolesterolemia poligenica, o altre rare dislipidemie con la FH.

La corretta diagnosi clinica della FH non è scevra quindi da difficoltà e perciò vari gruppi di esperti hanno formulato propri criteri diagnostici, più o meno stringenti, che portano a fare una diagnosi di FH con diverso grado di probabilità. I criteri diagnostici più noti a livello internazionale sono stati sviluppati dall'US MedPed Program (*Make early diagnosys, Prevent early dead*) (1), dal *Simon Broome Register Group* nel Regno Unito (2) e dal *Dutch Lipid Clinic Network* in Olanda (3).

Il criterio dell'US MedPed Program è basato, sostanzialmente, sulla valutazione della colesterolemia in rapporto all'età del soggetto e al grado di parentela con altri familiari nei quali è stata già diagnosticata la FH. In mancanza di dati familiari si adotta un livello di cutoff del colesterolo totale che tiene conto della distribuzione della colesterolemia nella popolazione generale. In Tabella 1 sono riportati i valori delle concentrazioni di colesterolo totale alle diverse età che permettono di formulare la diagnosi di FH con un 98% di specificità. È quindi un criterio diagnostico molto semplice e immediato perché basato unicamente sul dato biochimico utile, soprattutto, ad identificare i soggetti affetti da FH in famiglie in cui è documentata una storia di FH.

Tabella 1. Criteri per la diagnosi della FH adottati dall'US MedPed Program

Età (anni)	Valore limite del colesterolo totale (mmol/L) Parentela Papalazione generale						
	l grado	II grado	III grado	Popolazione generale			
<20	5.7	5.9	6.2	7.0			
20-29	6.2	6.5	6.7	7.5			
30-39	7.0	7.2	7.5	8.8			
> 39	7.5	7.8	8.0	9.3			

Questo criterio ha però anche gravi inconvenienti: l'imprecisione del dato analitico porta ad erronee valutazioni e, ancor di più, questo criterio soffre di una bassa sensibilità

nell'individuazione dei soggetti affetti, specie nella popolazione generale. Da una valutazione effettuata su una grossa famiglia dello Utah, dagli stessi proponenti del criterio diagnostico, risultava che la sua adozione non confermava la diagnosi di FH nel 12% dei parenti di primo grado di un soggetto affetto e nel 46% dei casi tratti dalla popolazione generale (1)

Il criterio stabilito dal *Simon Broome Register Group* è articolato e tiene conto oltre che dei livelli di colesterolo totale (CT) e LDL (LDL-C) in relazione all'età del paziente, anche di altre manifestazioni cliniche della malattia (xantomi tendinei), dell'anamnesi familiare e della diagnostica molecolare (Tabella 2).

Tabella 2. Criteri per la diagnosi della FH secondo il Simon Broome FH Register

Criterio	Descrizione
A	CT > 7.5 mmol/L negli adulti o > 6.7 mmol/L in soggetti <16 anni, ovvero LDL-C> 4.9 mmol/L negli adulti o >4.0 mmol/L in soggetti <16 anni
В	Xantomi tendinei nel probando o parenti di I grado
С	Analisi molecolare di una mutazione nel gene LDLR o APOB
D	Storia familiare d'infarto del miocardio prima dei 50 anni in parente di II grado, ovvero prima dei 60 in un parente di I grado
E	Storia familiare di livelli del CT sopra i 7.5 mmol/L in parenti di I o II grado
Diagnosi	"Definita" se sono contemporaneamente verificati i criteri A&B oppure A&C "Probabile" se sono contemporaneamente verificati i criteri A&D oppure A&E

Sinteticamente la diagnosi è considerata "definita" quando si superano certi limiti di concentrazione di colesterolo totale (CT) e colesterolo LDL (LDL-C) e in concomitanza si osserva, nel paziente o in un consanguineo di primo grado, la presenza di xantomi tendinei oppure è stato determinato con la diagnostica molecolare il difetto genetico sottostante. La diagnosi è invece considerata "probabile" quando oltre al superamento dei limiti di CT e LDL-C si ha una storia familiare di infarti prematuri del miocardio o di alterazioni patologiche della colesterolemia.

Il criterio diagnostico del *Dutch Lipid Clinic Network* (Tabella 3) attribuisce invece un punteggio compreso tra 1 e 8 a ciascun parametro di rilievo clinico per la patologia e quindi considera la diagnosi "definita" se il punteggio totale è superiore ad 8, "probabile" se il punteggio totale è compreso tra 6 ed 8 e "possibile" se il punteggio totale è tra 3 e 5.

In Italia un gruppo d'esperti appartenenti alla SISA (Società Italiana per lo Studio dell'Arteriosclerosi) (www.sisa.it) ha adottato un criterio diagnostico simile a quello in uso nel Regno Unito (4).

In pratica la diagnosi è definita "certa" quando sono presenti valori del colesterolo totale o LDL superiori al 95° percentile, e quindi valori del CT superiori a 260 mg/dL (in età < 16 anni) o a 290 mg/dL (in età > 16 anni) o di LDL-C > 190 mg/dL, associati alla presenza di xantomi tendinei (per lo più al dorso delle mani o al tendine di Achille) nello stesso paziente o nei parenti di I e II grado. La diagnosi è definita invece "possibile" quando agli stessi valori di colesterolo si associa una anamnesi familiare d'infarto del miocardio in età <50 anni o il reperto dei valori di colesterolo sopra ricordati in parenti di I e II grado del probando.

È diagnosticata la FH se viene superato uno di questi valori in un soggetti di cui è nota la relazione di parentela con un soggetto FH. In mancanza di questo dato si adotta come criterio di selezione il valore relativo alla popolazione generale.

Tabella 3. Criteri per la diagnosi della FH secondo il Dutch Lipid Clinic Network

Criterio		Punti				
Parente di primo grado con infarto prematuro (<55 anni maschi, <60 femmine) o con affezioni vascolari o con valori di LDL-C sopra il 95° percentile						
Parente di primo grado con xantomi tendinei o arco corneale o con valori di LDL-C sopra il 95° percentile in soggetti inferiori ai 18 anni						
Probando con n	nalattia coronaria prematura (<55 anni maschi, <60 femmine)	2				
Probando con vasculopatia cerebrale o periferica prematura (<55 anni maschi, <60 femmine)						
Probando con xantomi tendinei						
Probando con arcus cornealis prima dei 45 anni						
Livelli di LDL-C > 8.4 mmol/L						
" " 6.5 – 8.4	" " 6.5 – 8.4					
" " 5.0 – 6.4						
" " 4.0 – 4.9						
Accertamento molecolare di una mutazione funzionale nel gene LDLR						
Diagnosi	"Definita" se la somma dei punti è superiore ad 8 "Probabile" se la somma dei punti è compresa tra 6 e 8 "Possibile" se la somma dei punti è compresa tra 3 e 5					

Bibliografia

- 1. Williams RR, Hunt SC, Schumacher MC *et al.* Diagnosing heterozygous familial hypercholesterolemia using new practical criteria validated by molecular genetics. *Am J Cardiol* 1993;72:171-6.
- 2. Scientific Steering Committee On Behalf Of The Simon Broome Register Group. Mortality in treated heterozygous familial hypercholesterolemia: implications for clinical management. *Atherosclerosis* 1999;142:105-12.
- 3. World Health Organization. Familial hypercholesterolemia report on a second WHO Consultation. Geneva, Switzerland: World Health Organization 1999 (WHO publication no. WHO/HGN/FH/CONS/ 99.2).
- 4. Società Italiana per lo Studio dell'Arteriosclerosi. *Linee Guida SISA relative all'identificazione e al trattamento delle dislipidemie nella prevenzione delle malattie cardiovascolari*. Disponibile all'indirizzo: http://www.sisa.it/filez/_DOWNLOAD_%20-%204%20-%20download.pdf; ultima consultazione 7/9/2006.

MUTAZIONI DEL GENE LDLR INDIVIDUATE IN ITALIA

Stefano Bertolini (a), Alfredo Cantafora (b), Sebastiano Calandra (c)

- (a) Dipartimento di Medicina Interna dell'Università di Genova
- (b) Dipartimento di Ematologia, Oncologia e Medicina Molecolare, Istituto Superiore di Sanità, Roma
- (c) Dipartimento di Scienze Biomediche, Università di Modena e Reggio Emilia

L'identificazione di mutazioni che causano patologie gravi e relativamente frequenti. quale la FH, dovrebbe agevolare la diagnostica prenatale e precoce della malattia e permettere interventi terapeutici mirati e tempestivi. La FH infatti è una delle poche malattie monogeniche che può essere trattata efficacemente, specie nei soggetti eterozigoti. Bisogna però riconoscere che l'approccio genetico-molecolare alla diagnostica di questa patologia non è scevro di difficoltà e ciò è dovuto all'eterogeneità della popolazione italiana, alla sua apertura ad influssi esterni, alla natura stessa del gene che è ricco di mutazioni ad alta specificità etnica e a bassa frequenza nella popolazione, tranne che in comunità caratterizzate dall'effetto "fondatore".

Le prime informazioni sulle mutazioni italiane sono venute, paradossalmente, da studi condotti negli USA su soggetti delle diverse etnie presenti in quel paese. Così in una rassegna che risale agli inizi degli anni novanta venivano menzionate 14 mutazioni presenti in discendenti di nostri emigranti (1). Nove di queste sono state specificamente attribuite all'etnia italiana.

Sono seguiti altri lavori, condotti in Italia e all'estero, su specifiche mutazioni presenti in famiglie italiane (2, 3, 4). Ciò nonostante, ancora nel 1998 la situazione era poco cambiata: un database delle mutazioni censiva nel mondo 210 mutazioni identificandone solo 18 in probandi italiani (5, 6). Si era evidentemente ancora in presenza di informazioni frammentarie e lontane dalla realtà. Per questo motivo veniva avviato uno studio, coordinato dall'Istituto Superiore di Sanità, che coinvolgeva i principali gruppi italiani interessati, in quel momento, alla problematica (7) per procedere simultaneamente all'esame di una casistica di 2000 soggetti affetti da FH e appartenenti a 725 famiglie italiane senza evidenti legami di parentela. Questa patologia ha la frequenza di 1/500 in eterozigosi e di 1/1.000.000 in omozigosi; ciò significa che nei 57 milioni di abitanti dell'Italia dovrebbero esservi circa 114.000 eterozigoti e 57 omozigoti (veri o doppi eterozigoti). Il risultato più evidente dello studio nazionale è il numero e la varietà delle mutazioni finora individuate in Italia: fra esse si riscontrano mutazioni presenti nel bacino del Mediterraneo e nel Nord Europa, e altre ancora nuove, non riportate in altre popolazioni (8).

Un punto di notevole interesse pratico emerso dallo studio, è che le mutazioni hanno, se rapportate alla reale origine delle famiglie studiate, un ambito di diffusione piuttosto limitato. Le incongruenze, quando osservate, erano riconducibili a migrazioni avvenute nei passati decenni. Perciò mutazioni con frequenze di poco superiori all'1% in ambito nazionale, potevano rappresentare fino al 20% delle cause di FH nelle aree in cui la mutazione si era sviluppata e diffusa (8,9). Di conseguenza, l'individuazione dell'origine di una famiglia affetta è utile perché suggerisce la ricerca di certe mutazioni e l'esclusione di altre e fa aumentare notevolmente la probabilità d'identificare il difetto molecolare all'origine della dislipidemia.

Nello studio multicentrico sopra menzionato tutti i soggetti venivano sottoposti a prelievo di sangue a digiuno prima dell'inizio o durante una sospensione, del trattamento farmacologico con statine. Nel plasma venivano determinati: colesterolo totale, trigliceridi, colesterolo HDL, utilizzando kit enzimatici commerciali (Roche Diagnostics, Milano) e un analizzatore automatico multicanale (Hitachi- mod. 704). Il livello del LDL-C veniva calcolato da questi parametri analitici con la formula di Friedewald (10). In tutte le famiglie affette nelle quali s'individua l'esistenza del fenotipo omozigote, si procedeva, ove possibile , alla valutazione in vitro

dell'attività del recettore LDLR in fibroblasti dermici di soggetti omozigoti ed eterozigoti della stessa famiglia, con metodiche precedentemente descritte in letteratura (11). Nell'ambito della collaborazione multicentrica, i dosaggi in vitro dell'attività del LDLR in fibroblasti dermici sono stati seguiti presso l'Istituto di Scienze Biomediche della Università di Modena e Reggio Emilia

La Tabella 1 riporta la descrizione di 39 mutazioni puntiformi, di 16 piccole delezioni o inserzioni e mutazioni nei siti di splicing individuate nel gene LDLR. Complessivamente, nel corso di questo studio venivano individuate 55 mutazioni piccole o puntiformi, causa d'ipercolesterolemia familiare, in 246 famiglie, pari al 34% dei casi esaminati. Altri studi condotti in parallelo su famiglie che facevano parte di questa casistica, ma non considerati in questo contesto perché eseguiti con approccio del tutto diverso, evidenziano l' esistenza di 16 mutazioni dovute a grosse duplicazioni o delezioni del gene LDLR. Questa ulteriore aggiunta portava le mutazioni caratterizzate in soggetti italiani ad un totale di 71. La proporzione dei casi indice con mutazione accertata arrivava così al 39% circa.

Dalla tabella si può osservare che ciascuna delle mutazioni riportate veniva individuata, generalmente in pochissime famiglie perché, verosimilmente, piuttosto rara. In tutti i casi è stata accertata la relazione tra la presenza della mutazione e la presenza del fenotipo FH e viceversa, attraverso l'analisi della segregazione familiare. Le mutazioni più rare, per alcune delle quali veniva riscontrato un solo soggetto affetto nell'ambito di una data famiglia, sono state ricercate in campionature casuali di soggetti sani o affetti da FH, in modo da poter escludere che il difetto molecolare fosse in realtà un polimorfismo raro.

Buona parte di queste mutazioni aveva una frequenza, rapportata al totale dei probandi esaminati, inferiore all'1% e veniva trovata in 2-3 famiglie. Sono state invece individuate 13 mutazioni relativamente più frequenti, presenti in più famiglie e in un ambito territoriale abbastanza esteso. Ciascuna di esse, quando rapportata alla zona di maggior diffusione, poteva arrivare a giustificare quasi il 40% dei casi di FH presenti in quell'area. In ogni caso, anche le mutazioni più rare erano confinate geograficamente. Non essendo ragionevolmente ipotizzabile di poter testare ogni soggetto affetto da FH con il sistematico sequenziamento del gene LDLR e in considerazione della complessità e del costo elevato delle tecniche usate per il saggio di funzionalità del recettore LDLR, che si presentano maggiormente a studi con finalità di ricerca, l'affinamento della mappa etnico-geografica delle mutazioni, effettuato in questo studio, fornisce un valido contributo alle possibilità e alle prospettive di applicazione delle tecniche semplici di screening messe a punto. Infatti, il confinamento delle mutazioni entro ambiti territoriali ristretti, è una circostanza favorevole alla diagnostica genetico-molecolare della patologia, perché suggerisce quali mutazioni cercare e quali escludere in una data zona e fa aumentare la probabilità di riconoscere rapidamente il difetto molecolare alla base della patologia.

Lo studio di correlazione genotipo-fenotipo evidenziava l'ampio spettro di variabilità fenotipica inter-individuale di ciascuna mutazione. Si poteva comunque osservare che le mutazioni che danno luogo ad un difetto limitato ad una piccola zona della proteina del recettore erano caratterizzate da un fenotipo più lieve (FH Padova; FH Bari-2; FH Frosinone) rispetto a mutazioni dovute a forme tronche o grossolane alterazioni della proteina codificata (FH Savona; FH Palermo). Per i due gruppi viene confrontata l'incidenza di Xantomi Tendinei (TX), di eventi coronarici (CAD), entrambi più frequenti nei soggetti con mutazioni che causano difetti gravi sulla proteina e dei livelli di LDL-C, più alti sempre in questi soggetti.

La correlazione genotipo-fenotipo suggerisce che una delle principali implicazioni della individuazione del difetto molecolare nell'ambito di una data famiglia affetta da FH è un più preciso orientamento clinico per la prevenzione delle sequele cardiovascolari. Se si riconosce infatti che la famiglia è contraddistinta da un grave difetto molecolare (mutazioni grossolane o espressione di forme troncate della proteina) sarà possibile effettuare i test genetici e avviare nei soggetti affetti, un percorso terapeutico quanto più precocemente possibile. Nelle famiglie affette

da difetti molecolari più lievi (mutazioni puntiformi missenso), si potrà procedere con più gradualità e con terapie meno aggressive.

La Figura 1 mostra la distribuzione geografica delle mutazioni che superavano, singolarmente, la soglia dell'1% della casistica. La mutazione FH Padova-1 (D200G) è la mutazione maggiormente riscontrata, con una prevalenza del 6%, seguita dalla FH Savona (1418-1419 ins 4nt) e dalla FH Palermo-1 (G528D), rispettivamente con il 4,276 % e il 4 %; le mutazioni FH Bari-2 (V502M), FH Casale Monferrato (D558Y), FH Frosinone-1 (P664L) e FH-Sassari-1 (nt 1778 del G) superavano di poco la soglia dell'1%. L'interesse sollevato da queste mutazioni deriva dal fatto che la loro frequenza risultava decisamente alta, non solo in relazione alle altre mutazioni individuate nelle famiglie del campione, ma anche, e in misura consistente, nell'ambito della zona geografica ove erano più diffuse.

Dopo il completamento del primo screening sulla popolazione di etnia italiano, i cui risultati sono schematizzati nella Tabella 1 (8), è proseguita, da parte nostra e di altri autori, l'individuazione di altre mutazioni causa di FH nel nostro paese. Il numero delle mutazioni ad oggi identificate è di 133, che sono integralmente riportate nell'Appendice D. Nonostante questo numero appaia molto alto, è destinato ad aumentare nel tempo perché nelle casistiche studiate la percentuale di identificazione delle mutazioni non supera, nel migliore dei casi il 75%.

Tabella 1. Mutazioni del gene LDLR causa di FH trovate nello screening nazionale

Riarrangiamenti	Fam ^a	Ho ^b	Che ^c	He ^d	Proteina LDLR	Nome Allele
Esone (Ex) delezione (kb)						
Promotore + Ex 1, 2 (20)	1			12	Non prodotta	FH Siracusa
Promotore + Ex 1–6 (>25)	2			4	Non prodotta	FH Bologna-1
Promotore + Ex 1–6 (24)	1			3	Non prodotta	FH Bari-3
Ex 2-12 (24)	10	2		61	Non prodotta	FH Pavia
Ex 3–10 (12)	1			6	(1) Troncata(2) Inframe delet.	FH Massa
Ex 11, 12	2			6	Troncata	FH Genova-1
Ex 13, 14 (3.7)	5			21	Troncata	FH Chieti-1
Ex 13, 14 (4.7)	1			2	Troncata	FH Roma
Ex 13-15 (4.5)	1			4	(1) Troncata (2) Inframe delet.	FH Potenza-1
Ex 13-15 (5)	1		2	4	Troncata	FH Palermo-3
Ex 13–18 (>25)	2	1	_	5	Troncata	FH Catania
Ex 16 (2)	1	•		4	Inframe delet.	FH Padova-2
Esone (Ex) duplicazioni (kb)						
Ex 3–6 (8)	1			9	Inframe insert.	FH Caltanissetta
Ex 9–14 (10)	2			3	Inframe insert.	FH Salerno
Ex 13–15 (7)	1			3	Troncata	FH Bologna-2
Ex 16, 17 (5.5)	2	1		4	Inframe insert.	FH Viterbo
Nonsenso (cDNA)						
97C→T (Ex 2)	2	1		2	Q12X	FH Milano-4
103C→T (Ex 2)	1		1	2	Q14X	FH Milano-3
301G→T (Ex 3)	1			2	E80X	FH Imperia
304C→T (Ex 3)	3			12	Q81X	FH Rapone
373C—T (Ex 4)	3	1		5	Q104X	FH Foggia-2
418G—₃T (Ex 4)	2			6	E119X	FH Campobasso
865G—₃T (Ex 6)	2		1	8	E267X	FH Milano-2
2311C→T (Ex 15)	2			8	Q749X	FH Mondovì
Missenso (cDNA)						
28T—A (Ex 1)	1			1	W-12R	FH Enna
265T→C (Ex 3)	1		1	8	C68R	FH Catanzaro
346T- - C (Ex 4)	1			6	C95R	FH Alghero

segue

continua

Riarrangiamenti	Fam ^a	Ho ^b	Che ^c	He ^d	Proteina LDLR	Nome Allele
352G→T (Ex 4)	2		1	4	D97Y	FH Naples-3
401G—T (Ex 4)	1			1	C113F	FH Alessandria
402C → G (Ex 4)	1			5	C113W	FH Lucca
415G—₃A (Ex 4)	2			4	D118N	FH Sassari-2
662A→G (Ex 4)	48	4		135	D200G	FH Padova-1
665G→A (Ex 4)	4	•		10	C201Y	FH Genova-2
682G	7			16	E207K	FH Modena
761A→C (Ex 5)	1			2	Q233P	FH Reggio
701A—C (EX 5)	'			2	QZ33F	
000T -C (Fy 6)	2			•	COFFE	Emilia-2
826T→C (Ex 6)	3			6	C255R	FH Ceva
828C →G (Ex 6)	1			3	C255W	FH Sassari-3
829G—A (Ex 6)	1			1	E256K	FH Genova-3
952T→C (Ex 7)	1			3	C297R	FH Perugina
953G → T (Ex 7)	3			16	C297F	FH Trieste
1056C—≱G (Ex 7)	2	1		7	C331W	FH Avellino-1
1090T—C (Ex 8)	2			7	C343R	FH Palermo-2
1109A—C (Ex 8)	2	1		4	N349T	FH Reggio
,						Calabria
1118G-₃A (Ex 8)	3	2		13	G352D	FH Potenza-2
1135T—€C (Ex 8)	7	5	1	12	C358R	FH Napoli-1
1195G→A (Ex 9)	2	1	•	3	A378T	FH Nuoro
1244A→G (Ex 9)	1			5	D394G	FH Padova-3
	1			1	T413R	
1301C→G (Ex 9)			1	2		FH Sassari-4
1454A—G (Ex 10)	1		1		H464R	FH Milano-1
1463T—A (Ex 10)	1	•	_	3	1467N	FH Piacenza
1567G—≱A (Ex 10)	13	3	2	48	V502M	FH Bari-2
1646G→A (Ex 11)	29	3	2	127	G528D	FH Palermo-1
1735G—₃T (Ex 12)	10			45	D558Y	FH Casale
						Monferrato
1775G—₃A (Ex 12)	7		2	19	G571E	FH Foggia-1
2054C—₃T (Ex 14)	10	5	1	37	P664L	FH Frosinone-1
Frameshift (FS), delezione (d	lel), insei	rzione (i	ins) (cDI	NA)		
623–644del (Ex 4)	1			2	FS187Term236	FH Asti
682–684del, 681–685 ins 6	1			8	E207del, CK206-	FH Chieti-3
(Ex 4)					208ins	
681-682ins 18 (Ex 4)	1			9	CKDKSD206-207 ins	FH Padova-4
1067delA (Ex 8)	1			4	FS335Term348	FH Cuneo
1068T → A, 1068–1069 ins	1			3	D335E, ECQDPD 335-	FH Chieti-2
18 (Ex 8)	•			•	336ins	
1122–1123insTGGC (Ex 8)	1			1	FS354Term360	FH Pisa
1374–1375delAG (Ex 10)	1			2	FS437Term444	FH Ancona
	-				FS453Term515	FH Savona
1418–1419insACAT (Ex 10)	31			151		
1439-1449del (Ex 10)	1			10	FS459Term510	FH Reggio
4470 4470 1410 7 (5 40)	_			_	F0.470T 510	Emilia-1
1478–1479delCT (Ex 10)	2		1	8	FS472Term513	FH Frosinone-2
1778delG (Ex 12)	8			40	FS572Term643	FH Sassari-1
Splicing						=
IVS3 313+1 g <i>—</i> a	7			20	Inframe delet.	FH Olbia
IVS10 1586+1 g →a	2	1		5	(1) Inframe delet.	FH Agrigento
					(2) Inframe insert.	
IVS12 1846-1 g—≱a	2	1		3	(1) Troncata	FH Avellino-2
3					(2) Inframe delet.	
IVS15 2311+1 g—a	2	1		4	(1) Troncata	FH Benevento
2.5 <u>-</u> 2 	_	-		-	(2) Inframe insert.	
IVS16 2389+1 g—a	1		1	1	Inframe delet.	FH Monfalcone
	'		•	•		

^aNumero di famiglie affette; ^bNumero di soggetti omozigoti, ^cNumero di doppi eterozigoti, ^dNumero di eterozigoti

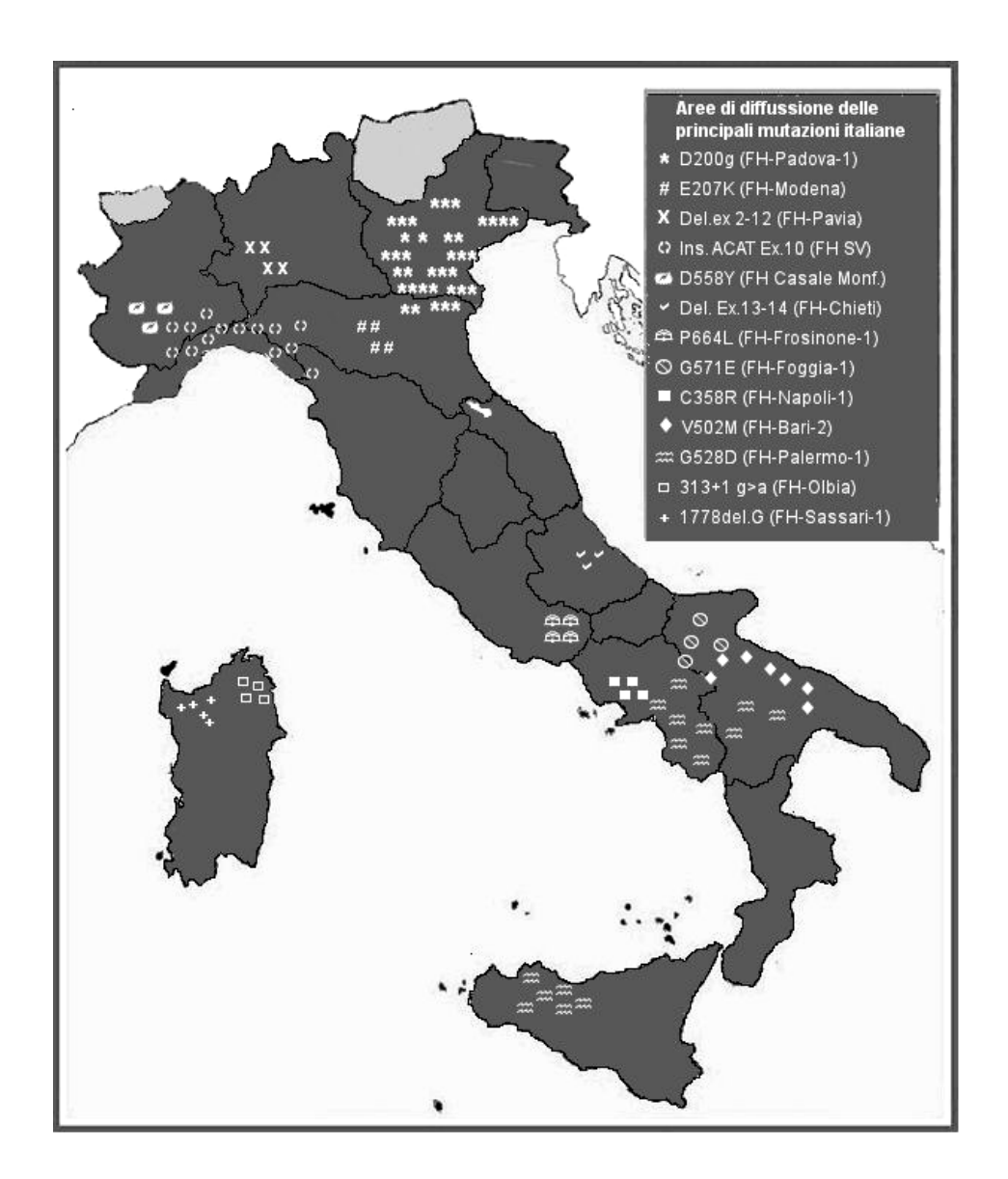


Figura 1. Aree di diffusione delle principali mutazioni del gene LDLR presenti in Italia

Bibliografia

- 1. Hobbs HH, Brown MS, Goldstein JL. Molecular genetics of the LDL receptor gene in familial hypercholesterolemia. *Hum Mutat* 1992;1:445-66.
- 2. Fascetti V, Rolleri M, Guido V, Trovatello G, Masturzo P, Garuti R, Motti C, Cortese C, Cantafora A, Calandra S, Bertolini S. FH clusters in southern Italy. *Atherosclerosis* 1997;135(Suppl 1):S12.
- 3. Cantafora A, Blotta I, Mercuri E, Calandra S, Bertolini S. Use of Allele-Specific polymerase chain reaction for detecting point mutations in LDL-receptor gene common in southern Italy. Atti del 70th European Atherosclerosis Society Congress, Geneva, Switzerland, 6-9 September 1998. pag 69.
- 4. Cantafora A, Blotta I, Mercuri E. *Metodi per l'analisi di mutazioni nel gene del recettore LDL ricorrenti in Italia*. Roma: Istituto Superiore di Sanità; 1998. (Rapporti ISTISAN 98/19).

- 5. Varret M, Rabes JP, Collod-Beroud G, JunieN C, Boileau C, Beroud C. Software and databases for the analysis of mutations in the human LDL receptor gene. *Nucleic Acids Res* 1997;25:172-80.
- 6. Varret M, Rabes JP, Thiart R, Kotze MJ, Baron H, Cenarro A, DescampS O, Ebhardt M, Hondeljin JC, Kostner GM, Miyake Y, Pocovi M, Schmidt H, Schuster H, Yamaura T, Junien C, Beroud C, Boileau C. LDLR Database (second edition): new addition to the database and the software, and results of the first molecula analysis. *Nucleic Acids Res* 1998;26:248-52.
- 7. Cantafora A, Bertolini S, Calandra S. Ipercolesterolemia familiare e mutazioni nel gene del recettore delle lipoproteine a bassa densità in Italia. *Ann Ist Super Sanità* 1999;35:177-84.
- 8. Bertolini S, Cantafora A, Averna M, Cortese C, Motti C, Martini S, Pes G, Postiglione A, Stefanutti C, Blotta I, Pisciotta L, Rolleri M, Langheim S, Ghisellni M, Rabbon, I. Clinical expression of familial hypercholesterolemia in clusters of mutations of the LDL receptor gene that cause a receptor–defective or receptor-negative phenotype. *Arterioscler Thromb Vasc Biol* 2000;20:E41-52.
- 9. Deiana L, Garuti R, Pes GM, Carru C, Errigo A, Rolleri M, Pisciotta L, Masturzo P, Cantafora A, Calndra S, Bertolini S. Influence of beta-thalassemia on the phenotypic expression of heterozygous familial hypercholesterolemia. *Arterioscler Thromb Vasc Biol* 2000;20:236-43.
- 10. Friedewald WT, Levy RI, Fredrickson DS. Estimation of the concentration of low-density lipoprotein cholesterol in plasma without use of a preparative ultracentrifuge. *Clin Chem* 1972;18:499-502.
- 11. Goldstein JL, Basu SK, Vrown MS. Receptor mediated endocytosis of low-density lipoprotein in cultured cells. *Methods Enzimol* 98:241-60.

METODICHE ANALITICHE PER LO STUDIO DELLE MUTAZIONI GENETICHE

Alfredo Cantafora, Ida Blotta, Francesca Prestinaci Istituto Superiore di Sanità, Dipartimento di Ematologia, Oncologia e Medicina Molecolare, Roma

I metodi da noi utilizzati per rivelare le piccole mutazioni del gene LDLR possono essere divisi in due gruppi:

- 1. Metodi per individuare mutazioni di cui si conoscono caratteristiche e localizzazione nel gene (mutazioni note), generalmente utilizzate a fini di diagnosi e di screening.
- 2. Metodi per localizzare e caratterizzare mutazioni ancora sconosciute nel gene (mutazioni ignote), generalmente utilizzati a fini d'indagine e di screening di mutazioni incognite.

Metodi basati sulla PCR per la rivelazione di piccole mutazioni note

La PCR permette di selezionare una specifica sezione del genoma e di amplificarla esponenzialmente. Alcune mutazioni possono essere evidenziate direttamente dal prodotto d'amplificazione, altre richiedono trattamenti post-PCR, altre ancora prevedono particolari tipi d'amplificazione ed eventualmente anche trattamenti post-PCR.

Metodi basati sulle dimensioni del prodotto d'amplificazione

In linea di principio, l'analisi elettroforetica dell'amplificato del campione in esame può rivelare delezioni o inserzioni come bande di lunghezza anomala rispetto a quelle osservate con l'amplificato di un allele normale. In pratica, ciò dipende molto dalle condizioni elettroforetiche utilizzate. Impiegando l'elettroforesi su gel di poliacrilammide (PAGE) con lastre di piccole dimensioni (8x10 cm), si possono agevolmente evidenziare delezioni o inserzioni superiori alle 10 basi in amplificati di lunghezza inferiore alle 200 paia di basi. Ciò è evidente nei risultati riportati dai protocolli per le mutazioni FH-Chieti-2 e FH-Reggio Emilia-1. Per delezioni/mutazioni più piccole, come ad esempio la FH-Savona (inserzione di 4 basi), la differenza tra amplificato dell'allele normale e mutato può essere impercettibile, salvo che non si adottino condizioni elettroforetiche particolari (analisi degli eteroduplici) o si faccia uso di lastre di lunghezza superiore ai 10 cm o, più semplicemente, si ricorra a trattamenti post-PCR, come appunto descritto nel protocollo per la FH Savona.

Metodi basati su trattamenti post-PCR con endonucleasi di restrizione

Le sequenze amplificate, sia normali sia mutate, possiedono sempre un certo numero di siti di restrizione rispetto alle varie endonucleasi di restrizione disponibili in commercio. Ora, quando accade che la mutazione in esame introduce o elimina, un sito di restrizione rispetto all'allele normale, basterà analizzare il pattern di restrizione dell'amplificato in confronto ad un DNA normale e ad un positivo per la mutazione, e, si potrà esprimere un parere sul risultato

analitico. In pratica vi sono però limitazioni e difficoltà all'applicazione di questo semplice approccio. In primo luogo, non è raro il caso di mutazioni che non alterano il pattern di restrizione; in secondo luogo la modifica di alcuni siti di restrizione può rivelarsi di scarsa utilità pratica o perché l'amplificato ha una molteplicità di siti di restrizione per l'enzima utilizzato (e quindi può risultare difficile valutare differenze rispetto ad un solo sito influenzato dalla mutazione), o perché l'enzima manifesta una scarsa attività nei confronti di quel dato sito (e ciò si traduce in ambiguità analitiche, specie nei casi in cui si valuta l'eliminazione di un sito di restrizione), o più banalmente perché l'enzima non è facilmente reperibile o è costoso. In tutti questi casi bisognerà ricorrere ad un approccio alternativo, come quelli indicati di seguito.

Metodi basati sull'amplificazione con *primers* mutagenici e trattamenti post-PCR con endonucleasi di restrizione

Si è accennato in precedenza alla possibilità che il prodotto di amplificazione dell'allele mutato non differisca, nel pattern di restrizione, dall'allele normale. Si può ovviare a quest'inconveniente utilizzando l'amplificazione con un *primer* mutagenico o *mismatch*. Vale a dire con un *primer* che pur avendo un errore d'appaiamento in prossimità dell'estremità 3' riesce ugualmente ad appaiarsi al templato e dare un amplificato con un'ulteriore mutazione artificialmente introdotta dalla base non correttamente appaiata. Nel caso che il *mismatch* è abbastanza vicino alla mutazione naturale c'è la possibilità, in alcuni casi, che la combinazione delle due mutazioni crei un sito di restrizione che distingua l'allele mutato da quello *wild*. Nei protocolli riportati di seguito il problema della mancanza di un sito di restrizione indotto dalla mutazione è stato soddisfacentemente risolto con quest'approccio per le mutazioni FH Rapone, Modena, Avellino e Napoli-4 grazie all'uso di *primers mismatch* disegnati dal gruppo del prof. Claudio Cortese.

Metodi basati sull'amplificazione PCR allele-specifica (PASA)

L'elettroforesi convenzionale non è sensibile al punto da discriminare singole sostituzioni di basi di un amplificato PCR. Si possono in ogni modo disegnare primers in grado di appaiarsi correttamente con l'allele mutato ma non con l'allele normale o affetto da altre mutazioni, che daranno luogo, pertanto, ad un prodotto d'amplificazione solo con l'allele mutato. Questa possibilità si basa sul fatto che alcuni errori d'appaiamento o mismatches sull'estremità 3' del primer possono compromettere totalmente l'appaiamento (pairing, mentre altri sono tollerati. Per realizzare un primer allele-specifico bisogna quindi far sì che l'estremità 3' del primer coincida con la mutazione e che in corrispondenza della mutazione vi sia un mismatch non tollerato con l'allele normale e tollerato (o, se possibile, un "pairing" perfetto) con l'allele mutante. L'altro primer della coppia non deve avere alcuna specificità, ma deve ben abbinarsi al primer allele-specifico. Il sistema è da considerarsi perfettamente funzionante se dalla PCR viene una banda della lunghezza attesa con un campione positivo per la mutazione in esame, mentre non si avrà alcuna amplificazione con un campione wild. In realtà, si può anche accettare che i campioni negativi diano bande d'amplificazione evanescenti, a patto che i campioni positivi si distinguano senza dubbio dai negativi. Questo approccio, è stato utilizzato in modo soddisfacente per la mutazione FH Palermo-1 e si presta a variazioni e miglioramenti. Si può ad esempio mettere nella miscela di amplificazione oltre alla coppia allele-specifica di primers una coppia non allele-specifica che amplifichi una zona di DNA che includa quella specifica. Si avrà così una sola banda, corrispondente all'amplificazione dell'allele wild, in un campione normale o affetto da altre mutazioni, una sola banda, corrispondente all'amplificazione dell'allele mutante, in un campione omozigote mutante; due diverse bande in un soggetto eterozigote per la mutazione data. Ancora, si può disegnare il *primer* allele specifico in modo che l'amplificato specifico sia caratterizzato da un sito di restrizione che contraddistingua l'amplificato normale da ogni altro amplificato spurio.

Infine, l'amplificazione allele-specifica si presta bene a distinguere il genotipo di un campione mediante la quantificazione dell'amplificato con l'impiego della *real-time* PCR. È quindi probabile che il suo uso divenga sempre più esteso.

Metodi per l'individuazione di mutazioni incognite

Esistono molte tecniche di screening per individuare mutazioni incognite ma quelle più conosciute e adottate sono le tecniche di SSCP (Single Strand Conformation Polymorphism) e HA (Heteroduplex Analysis).

La tecnica SSCP, facilmente applicabile all'indagine di mutazioni puntiformi non conosciute, si basa sulla capacità delle mutazioni di alterare la mobilità di piccoli frammenti di DNA a singolo filamento (ssDNA, *Single Strand* DNA) in una corsa elettroforetica su gel di poliacrilammide in condizioni non denaturanti. L'utilità della tecnica si deve al fatto che il "setaccio" molecolare costituito dai pori del gel permette la separazione di filamenti singoli di DNA che differiscono anche per la sostituzione di una sola base (1,2). La mobilità elettroforetica che contraddistingue i diversi frammenti di DNA a singolo filamento, dipende strettamente dalla loro carica, dimensione e forma. La carica negativa è uguale in frammenti di pari lunghezza, ma è molto più importante, in relazione alla mobilità elettroforetica, la configurazione che può assumere un frammento di DNA.

Originariamente i frammenti erano visualizzati per mezzo di radioisotopi e autoradiografie (3); oggi questo metodo è stato superato da una varietà di metodi non isotopici che includono la colorazione con Silver Stain, etidio bromuro e altri coloranti fluorescenti (4-6).

In condizioni ideali, i metodi SSCP e HA sono capaci di scoprire fino 90% delle mutazioni, ma nessuno dei due dà indicazioni sulla posizione della mutazione (7,8). Dato che entrambe le tecniche utilizzano un gel elettroforetico nativo si può, con opportuni accorgimenti, combinare le due analisi in un'unica corsa.

Tecnica d'analisi SSCP

La tecnica SSCP si basa sulla capacità delle mutazioni di alterare la mobilità di piccoli frammenti di DNA a singolo filamento, in una corsa elettroforetica su gel di poliacrilammide in condizioni non denaturanti (9).

La mobilità elettroforetica dei singoli filamenti di DNA in condizioni non denaturanti dipende da diversi fattori includenti la carica che rimane costante nelle molecole delle stesse dimensioni e la configurazione adottata dai singoli filamenti di DNA. Nella matrice del gel di poliacrilammide, in condizioni non denaturanti, il DNA a singolo filamento va incontro a modificazioni della struttura molecolare che danno luogo alla formazione di strutture steriche secondarie. In altri termini mentre alcuni frammenti a singolo filamento si riappaiono con i filamenti complementari formando DNA a doppio filamento, altri vanno incontro ad appaiamenti intramolecolari (struttura secondaria), in corrispondenza di tratti di sequenza complementari, all'interno dello stesso filamento. Sia la configurazione adottata dal DNA che la mobilita elettroforetica sono molto variabili e dipendenti dalla sequenza di basi. Pertanto una mutazione, anche puntiforme (3), modificando la sequenza può provocare un cambiamento della struttura molecolare del DNA a singolo filamento, rispetto al normale, modificandone la mobilità elettroforetica e permettendone la separazione.

Un parametro molto importante da considerare in un'analisi sperimentale è la dimensione dei frammenti di DNA. Il massimo della sensibilità si ottiene con piccoli frammenti di circa 150 bp. La mutazione di una singola base in frammenti di grosse dimensioni può portare ad uno shift di mobilità così piccolo da non essere osservato. Tuttavia i frammenti grandi possono essere analizzati senza la perdita troppo grande in sensibilità ottimizzando altri parametri: tagliando larghi frammenti PCR in siti interni di restrizione10 e combinando l'analisi SCCP con HA.11

Tecnica d'analisi degli eteroduplici (Heteroduplex Analysis o HA)

L'amplificazione PCR di sezioni di DNA che includono una piccola mutazione in eterozigosi, genera singoli filamenti di DNA tra loro diversi che possono appaiarsi, durante i cicli termici, anche in modo non esattamente complementare. Queste strutture a doppio filamento sono detti eteroduplici e derivano, ad esempio, dall'appaiamento di un filamento senso wild con un filamento antisenso mutante o viceversa. Il DNA eteroduplice che deriva dall'appaiamento di un filamento wild con un filamento affetto da una mutazione puntiforme, avrà tutti gli appaiamenti regolari tranne uno, in corrispondenza della mutazione. L'eteroduplice avrà, per quest'alterazione strutturale, un maggior ingombro sterico rispetto ad un DNA in cui l'appaiamento dei due strand è perfetto (omoduplice). Ciò provoca una piccola riduzione della mobilità elettroforetica dell'eteroduplice rispetto all'omoduplice che si evidenzia come sdoppiamento di banda in una corsa elettroforetica ad alta risoluzione su gel di poliacrilammide non denaturante.

Dato che la vera omozigosi di una mutazione dà necessariamente luogo alla formazione di strutture omoduplici, così come accade in campioni omozigoti *wild*, si preferisce mescolare in parti uguali l'amplificato del campione in esame con l'amplificato di un campione *wild* ed effettuare un ciclo termico di denaturazione e rinaturazione per favorire la formazione di eteroduplici. In tal modo sia le mutazioni in omozigosi che in eterozigosi produrranno un eteroduplice e la relativa banda.

L'addizione del 10% di urea (12) o di etandiolo o del 15% di formamide al gel elettroforetico (8) crea condizioni di lieve denaturazione che migliorano lo risoluzione omoduplice-eteroduplice. Questi additivi riducono però la capacità di risoluzione di frammenti a singolo filamento e non sono perciò raccomandabili se si vuole ottenere attraverso un'unica corsa elettroforetica l'analisi SSCP e HA.

È stato determinato che la dimensione ottimale di un frammento di DNA per HA è tra 250 e 500 bp e che si ottiene una migliore risoluzione tra omoduplice ed eteroduplice quando la mutazione non interessa una delle estremità dell'amplificato ma la sua zona centrale.

Bibliografia

- 1. Lerman LS, Frisch HL. Why does the electrophoretic mobility of DNA in gels vary with the length of the molecule? *Biopolymers* 1982;21:995-7.
- 2. Lumpkin OJ, Dejardin P, Zimm BH. Theory of gel electrophoresis of DNA. *Biopolymers* 1985;24:1573-93.
- 3. Orita M, Suzuki Y, Sekiya T, Hayashi K. Rapid, sensitive detection of point mutations and DNA polymorphisms using yhe polymerase chain reaction. *Genomics* 1989;5:874-9.
- 4. Yap EPH, Mcgee JO'D. Nonisotopic discontinuos phase single strand conformation polymorphism (DP-SSCP): genetic profiling of D-Loop Of Human Mitochondrial (MT) DNA. *Nucleic Acids Res* 1993;21:4155.

- 5. Ainsworth PJ, Surh LC, Coulter MMB. Diagnostic single strand conformation polymorphism, (SSCP): a simplified nonradioisotopic method as applied to a Tays-Sachs B1 variant. *Nucleic Acids Res* 1991;19:405-6.
- 6. Ellison J, Dean M, Goldman D. Efficacy of fluorescence-based PCR-SSCP for detection of point mutations. *Biotechniques* 1993;15:684-91.
- 7. Sheffield VC, Beck JS, Kwitek AE, Sandstrom DW, Stone EM. The sensitivity of single strand conformation polymorphism analysis for the detection of single base substituitions. *Genomics* 1993;16:325-32.
- 8. Ganguly A, Rock MJ, Prockop DJ. Conformation-sensitive gel electrophoresis for rapid detection of single-base differnces in double-stranded PCR products and DNA fragments: Evidence for solvent-induced bends in DNA heteroduplexes. *Proc Natl Acad Sci USA* 1993;90:10325-9.
- 9. Orita M, Iwahana H, Kanazawa H, HayashI K, Sekiya T. Detection of polimorphisms of human DNA by gel electrophoresis as single-strand conformation polymorphisms. *Proc Natl Acad Sci USA* 1989;86:2766-70.
- 10. Lee H-H, Lo W-J, Choo K-B. Mutational analysis by a combined application of the multiple restriction fragment-single strand conformation polymorphism and the direct linear amplification DNA sequencing protocols. *Anal Biochem* 1992;205:289-93.
- 11. Wallace AJ. Combined Single Strand Conformation Polimorphism and Heteroduplex Analysis. In: Taylor GR. (Ed.). *Laboratory methods for the detection of mutations and polymorphisms in DNA*. Boca Raton (Florida) USA: CRC Press; 1998. p. 79-92.
- 12. White MB, Carvalho M, Derse D, O'Briens SJ, Dean M. Detecting single base substituitions as heteroduplex polymorphisms. *Genomics* 1992;12:301-6.

METODI PER LO SCREENING DELLE PRINCIPALI MUTAZIONI ITALIANE

Alfredo Cantafora (a), Ida Blotta (a), Francesca Prestinaci (a), Stefano Bertolini (b), Livia Pisciotta (b), Claudio Cortese (c), Corradino Motti (c), Sebastiano Calandra (d)

- (a) Dipartimento di Ematologia, Oncologia e Medicina Molecolare, Istituto Superiore di Sanità, Roma
- (b) Dipartimento di Medicina Interna, Università di Genova
- (c) Dipartimento di Medicina Interna, Università di Roma "Tor Vergata"
- (d) Dipartimento di Scienze Biomediche, Università di Modena e Reggio Emilia

Sono riportate di seguito le metodiche di screening utilizzate presso i nostri laboratori per l'analisi di 23 tra le più comuni piccole mutazioni individuate in Italia.

Le metodiche sono basate sull'amplificazione PCR della sezione del gene interessata dalla mutazione seguita dalla digestione del prodotto di amplificazione con un opportuno enzima di restrizione in modo da ottenere un pattern di digestione diverso dall'allele normale e da quello mutato.

Nei casi in cui la mutazione non consentiva di distinguere, in base a differenze del pattern di restrizione, l'allele normale da quello mutato, l'amplificazione veniva effettuata con un *primer* mutagenico che creava, con l'allele normale o con quello mutato, un sito di restrizione artificiale su uno dei due alleli. In alternativa siamo ricorsi all'uso dell'amplificazione allele-specifica, utilizzando un *primer* in grado di amplificare l'allele mutato ma non quello normale.

I metodi qui riportati sono semplici e possono essere riprodotti in qualsiasi laboratorio di diagnostica molecolare ricorrendo ai classici sistemi di frazionamento elettroforetico su gel di poliacrilammide o di agarosio invece che alla separazione con la microelettroforesi capillare su microchip che viene da noi suggerità per la semplicità, rapidità e affidabilità nella routine di laboratorio (Appendice C).

I metodi sono preceduti dalla indicazione dei materiali e delle procedure comuni ai vari metodi, come le procedure di estrazione del DNA genomico dal sangue e la preparazione dei tamponi e dei reattivi utilizzati.

Si fa presente che sono disponibili sul mercato tanti kit e reattivi, prodotti da case diverse, per queste applicazioni basilari della diagnostica molecolare che si sono dimostrati, nella nostra esperienza, tra loro equivalenti. Riteniamo quindi che tutte le procedure descritte possano essere eseguite con i prodotti usati di routine dai vari laboratori.

Materiali e procedure comuni ai vari metodi

Procedura d'estrazione rapida del DNA da sangue

- Il sangue va prelevato con EDTA e conservato a 4° C, se utilizzato nei due giorni successivi al prelievo. In caso contrario è preferibile conservare il campione −20° C.
- Pipettare 500 μl di sangue in provetta Eppendorf e quindi 500 μl di Lysis buffer.
- Mescolare accuratamente invertendo la provetta per cinque volte.
- Centrifugare a 13.000 x g per 30".
- Eliminare il surnatante.
- Ripetere 1-2 volte i lavaggi col Lysis buffer fino allo schiarimento del supernatante.

- Eliminare il supernatante e aggiungere al pellet 500 μl di PCR buffer con Proteinasi K.
- Incubare 1 h a 60° C per far agire l'enzima, poi tenere 10 minuti a 95° C per denaturarlo.
- Utilizzare un'aliquota da 5 μL di questa preparazione in ogni amplificazione PCR.
- L'estratto si conserva alcuni mesi a 4° C.

Lysis buffer

0,32 M saccarosio 10 mM Tris-HCl (pH 8.3) 2,5 mM MgCl2 1 % Triton X-100 È da preparare al momento dell'uso.

PCR buffer con Proteinasi K

50 mM KCl 10 mM Tris-HCl (pH 8.3) 2,5 mM MgCl2 0,1 mg/mL di gelatina 0,45 % NP40 0,45 % Tween 20

Si consiglia di dividere la preparazione del PCR buffer in aliquote da 500 μ L che andranno autoclavate e congelate. Al momento dell'uso scongelare un'aliquota e aggiungere 3,0 μ L di una soluzione da 10 mg/mL di proteinasi K.

Procedura d'estrazione da sangue congelato con kit commerciale Purgene

- Scongelare il campione di sangue rapidamente tenendolo a 37° C
- Prelevere 3 mL di sangue liquido e unirlo a 9 mL di RBC Lysis Solution contenute in una provetta da centrifuga di 15 mL (tipo Falcon).
- Mescolare con ripetute inversioni del tubo e lasciare incubare 10' a temperatura ambiente.
- Centrifugare a 2000 x g per 10' (temperatura ambiente).
- Rimuovere il surnatante lasciando il pellet di globuli bianchi con circa 100 μl di liquido.
- Vortexare in modo di disperdere completamente il residuo nel liquido.
- Aggiungere 3 mL di Cell Lysis Solution e pipettare varie volte su e giù per lisare le cellule. Se si notano agglomerati incubare a 37° C fino ad ottenere una soluzione omogenea. In questa soluzione il DNA è stabile per almeno 18 mesi a temperatura ambiente.

Trattamento con RNasi (opzionale)

Aggiungere 15 μ L di RNasi A Solution, mescolare per inversione del tubo 25 volte e lasciare incubare a 37° C per 30'.

Precipitazione delle proteine

- Portare il campione a temperatura ambiente.
- Aggiungere 1 mL di Protein Precipitation Solution.
- Vortexare ad alta velocità per 20" e assicurarsi che il mescolamento sia completo.

- Centrifugare a 2000 x g per 10'.

Le proteine dovrebbero formare un precipitato marrone scuro compatto. Se il precipitato non è compatto mescolare e ricentrifugare dopo aver tenuto su ghiaccio per 5'.

Precipitazione del DNA

Versare il surnatante (che contiene il DNA) in una provetta pulita da 15 mL che contiene 15 mL di Isopropanolo.

Mescolare delicatamente invertendo il tubo 50 volte finchè siano visibili i filamenti bianchi di DNA.

Centrifugare a 200 x g per 3'. Il DNA forma un piccolo pellet bianco.

Eliminare con cautela il surnatante su carta assorbente pulita.

Aggiungere 3 mL di Etanolo al 70% e invertire il tubo varie volte per lavare il pellet.

Centrifugare a 299x g per 1'. Eliminare cautamente il liquido di lavaggio.

Poggiare il tubo su carta assorbente e lasciare asciugare all'aria per 10'-15 '

Idratazione del DNA

Aggiungere 250 µL di DNA Hydration Solution e lasciare incubare a 65° C per 1 h oppure overnight a temperatura ambiente. Smuovere delicatamente di tanto in tanto per aiutare la solubilizzazione.

Procedura d'estrazione da sangue fresco o congelato mediante salting-out

- Prelevare 10 mL del campione di sangue e unirlo a 10mM EDTA, pH 8.
- Trasferire in due provette Falcon da 50 mL.
- Aggiungere 90 mL di Lysis buffer conservato a 4° C.
- Mescolare gentilmente e lasciare su ghiaccio per 10'-15'.
- Centrifugare a 1000 x g per 15'a 4° C. È visibile un pellet chiaro.
- Lavare il pellet con Fisio buffer.
- Dopo il lavaggio centrifugare a 1000 x g per 15' a 4° C.
- Dopo 4-5 lavaggi il pellet è praticamente bianco.
- Risospendere il pellet in 3 mL si Buffer A.
- Aggiungere 100 μL di SDS al 20% e dopo aggiungere 50 μL di Proteinasi K e incubare a 37° C
- Aggiungere 1 mL di soluzione satura di NaCl (6 M) e mescolare con forza per 15"
- Centrifugare a 2600 rpm per 15'. Le proteine dovrebbero formare un precipitato bianco.
- Trasferire il supernatante in una provetta da 15 mL facendo attenzione a non trasferire anche il precipitato.
- Ricentrifugare a 2600 rpm.
- Versare il surnatante in un'altra provetta pulita da 15 mL e aggiungere esattamente 1 volume di Isopropanolo (temperatura ambiente).
- Rimuovere il DNA precipitato e immergere in 1 mL di Etanolo al 70% per 30 secondi.
- Risospendere il DNA in 500 μL di TE sotto delicata agitazione.

Lysis buffer

0,32 M saccarosio 10 mM Tris-HCl (pH 7.5) 5 mM MgCl2 1 % Triton X-100 (autoclavare e conservare a 4° C).

Fisio buffer

0,075 M NaCl 0.025M EDTA (pH 8) (autoclavare e conservare a 4° C)

Buffer A

10 mM Tris HCl (pH 8) 400 mM NaCl 2 mM EDTA (autoclavato e conservato a 4° C)

Proteinasi K

Soluzione da 1 mg/mL in acqua preparata al momento dell'uso

Metodi di analisi delle mutazioni

FH-Catanzaro

Informazioni sulla mutazione

- Sito della mutazione nel gene LDLR: esone 3 (Repeat 2), 265 T>C
- Mutazione aminoacido (codone): C68R, Cys68Arg (TGC->CGC)
- Effetto funzionale della mutazione: riduzione attività recettoriale
- Classe funzionale della mutazione (1): non determinata
- Frazione di attività recettoriale residua (1): non determinata
- Area italiana a maggiore diffusione : Sud (Calabria)
- Altre popolazioni in cui la mutazione è stata riscontrata: nessuna
- Altre denominazioni dell'allele: nessuna

Principio del metodo

Viene amplificata mediante PCR una zona di 176 bp che include l'esone 3 con la seguente coppia di *primer*:

```
5'-TGACAGTTCAATCCTGTCTCTTCTG-3' Senso-25nt (1) 5'-ATAGCAAAGGCAGGGCCACACTTAC -3' Antisenso-25nt (1)
```

La mutazione, se presente, introduce un sito di restrizione Cfo I (GCG/C) che dà luogo nell'allele mutante, alla formazione di due frammenti di 105 e 71 bp evidenziabili mediante elettroforesi su gel di poliacrilammide. L'allele *wild*, invece, non dà luogo a prodotti di restrizione.

Procedura analitica

L'amplificazione di un frammento di 176 bp che include l'esone 3 si ottiene preparando una miscela del volume totale di 12,5 μ L contenente 125 ng di DNA genomico, 2,5 pmoli di ciascuno dei *primers*, 2,5 nmoli di ciascuno dei nucleotidi trifosfati, 1 U di Taq polimerasi e 1,25 μ L del suo specifico tampone 10x. La concentrazione finale di Mg⁺⁺ viene portata a 1,5 mM.

In pratica, si pipetta nella provetta di amplificazione, nell'ordine: 9,05 μL di acqua bidistillata (tale volume va modificato nel caso che reattivi o campioni impiegati abbiano concentrazioni diverse da quelle indicate di seguito), 0,25 μL di una mix dei dNTP (conc. 10 mM) 0,5 μL di una mix dei *primers* sopra indicati, 1,25 μL dell'apposito buffer 10x per la Taq polimerasi in uso, 0,75 μL di una soluzione 25 mM di MgCl₂ tale da portare la concentrazione finale di Mg⁺⁺ ad un valore di 1,5 mM. Si miscela vigorosamente su vortex e, dopo una rapida centrifugata, si aggiungono 0,2 μL di Taq polimerasi (corrispondente ad 1 U di enzima). Si mescola delicatamente e si aggiungono 125 ng di DNA genomico in un volume di 0,5 μL.

Si effettua l'amplificazione mediante il seguente programma al Thermal Cycler: denaturazione di 5' a 94 °C seguita da 30 cicli (94 °C per 30''/58 °C per 30''/72 °C per 1') e da un'estensione finale di 7' a 72 °C.

L'amplificazione viene controllata al BioAnalyzer caricando 1 μ L del prodotto di amplificazione su chip DNA-500 (Appendice C).

Un'aliquota di 5,4 μ L dell'amplificato è posta in una provetta Eppendorf, addizionata di 2 U (1 μ L) dell'enzima di restrizione Cfo I, di 0.8 μ l dello specifico tampone 10x e acqua distillata fino a portare il volume a 8 μ L. La miscela è incubata per due ore a 37°C. Successivamente si applica 1 μ L di prodotto di digestione sul Bioanalyzer, come previsto per i prodotti di amplificazione. La presenza dell'allele normale è evidenziata da una banda di circa 176 bp e quella dell'allele mutante da due bande di circa 105 e 71bp.

Riferimenti bibliografici sulla mutazione

- 1. Hobbs HH, Brown MS, Goldstein JL. Molecular Genetics of the LDL receptor gene in familial hypercholesterolemia. *Hum Mutat* 1992;1:445-66.
- 2. Bertolini S, Calandra S. Mutazioni del gene del recettore LDL responsabili di ipercolesterolemia familiare in Italia. *Arteriosclerosi News* 1994;1:11.
- 3. Garuti R, Rolleri M, Bertolini S, De Stefano F, Casarino L, Calandra S. A de novo point mutation of LDL receptor gene. *Atherosclerosis* 1997;134:67.
- 4. Bertolini S, Cantafora A, Averna M, Cortese C, Motti C, Martini S, Pes G, Postiglione A, Stefanutti C, Blotta I, Pisciotta L, Rolleri M, Langheim S, Ghisellni M, Rabbon, I. Clinical expression of familial hypercholesterolemia in clusters of mutations of the LDL receptor gene that cause a receptor–defective or receptor-negative phenotype. *Arterioscler Thromb Vasc Biol* 2000;20:E41-52.

FH-Rapone

Informazioni sulla mutazione

- Sito della mutazione nel gene LDLR: esone 3, (Repeat 2), 304 C>T
- Mutazione aminoacido (codone): G81Stop, Gln81Stop (CAA>TAA)
- Effetto funzionale della mutazione: riduzione attività recettoriale
- Classe funzionale della mutazione (1): 1
- Frazione di attività recettoriale residua (1): <2% (omozigote)
- Area italiana a maggiore diffusione : Sud (Abruzzo, Molise)
- Altre popolazioni in cui la mutazione è stata riscontrata: Statunitense
- Altre denominazioni dell'allele: nessuna

Principio del metodo

Viene amplificata mediante PCR una zona di 167 bp che include l'esone 3 con la seguente coppia di *primer* mutagenici :

- **5'- TGACAGTTCAATCCTGTCTCTTCTG 3'** Senso-25nt (1)
- 5'- GCAGGGCCACACTTACGACAGCCGT-3' Antisenso-25nt (4)

La mutazione, se presente, unitamente al *mismatch* introdotto dal *primer* senso, crea un sito di restrizione Rsa I (GT/AC) che dà luogo, nell'allele mutante, alla formazione di due frammenti di 142 e 25 bp evidenziabili mediante elettroforesi. L'allele *wild*, invece, non dà luogo a prodotti di restrizione.

Procedura analitica

L'amplificazione di un frammento di 167 bp che include l'esone 3 si ottiene preparando una miscela del volume totale di 12,5 µL contenente 125 ng di DNA genomico, 2,5 pmoli di ciascuno dei *primers*, 2,5 nmoli di ciascuno dei nucleotidi trifosfati, 1 U di Taq polimerasi e 1,25 µL del suo specifico tampone 10x. La concentrazione finale di Mg⁺⁺ viene portata a 1,5 mM.

In pratica, si pipetta nella provetta di amplificazione, nell'ordine: 9,05 μ L di acqua bidistillata (tale volume va modificato nel caso che reattivi o campioni impiegati abbiano concentrazioni diverse da quelle indicate di seguito), 0,25 μ L di una mix dei dNTP (conc. 10 mM) 0,5 μ L di una mix dei *primers* sopra indicati, 1,25 μ L dell'apposito buffer 10x per la Taq polimerasi in uso, 0,75 μ L di una soluzione 25 mM di MgCl₂ tale da portare la concentrazione finale di Mg⁺⁺ ad un valore di 1,5 mM. Si miscela vigorosamente su vortex e, dopo una rapida centrifugata, si aggiungono 0,2 μ L di Taq polimerasi (corrispondente ad 1 U di enzima). Si mescola delicatamente e si aggiungono 125 ng di DNA genomico in un volume di 0,5 μ L.

Si effettua l'amplificazione mediante il seguente programma al Thermal Cycler: denaturazione di 5' a 94 °C seguita da 30 cicli (94 °C per 30''/58 °C per 30''/72 °C per 1') e da un'estensione finale di 7' a 72 °C.

L'amplificazione viene controllata al BioAnalyzer caricando 1 μL del prodotto di amplificazione su chip DNA-500 (Appendice C).

Un'aliquota di 5,4 μ L dell'amplificato è posta in una provetta Eppendorf, addizionata di 2 U (1 μ L) dell'enzima di restrizione Rsa I, di 0.8 μ L dello specifico tampone 10x e acqua distillata fino a portare il volume a 8 μ L. La miscela è incubata per due ore a 37°C. Successivamente si applica 1 μ L di prodotto di digestione sul Bioanalyzer, come previsto per i prodotti di amplificazione. La presenza dell'allele normale è evidenziata da una banda di circa 176 bp e quella dell'allele mutante da due bande di circa 142 e 25bp.

Riferimenti bibliografici sulla mutazione

- 1. Hobbs HH, Brown MS, Goldstein JL. Molecular Genetics of the LDL receptor gene in familial hypercholesterolemia. *Hum Mutat* 1992;1:445-66.
- 2. Bertolini S, Calandra S. Mutazioni del gene del recettore LDL responsabili di ipercolesterolemia familiare in Italia. *Arteriosclerosi News* 1994;1:11.
- 3. Varret M, Rabes JP, Collod-Beroud G, Junien C, Boileau C, Beroud C. Software and database for the analysis of mutations in the human LDL receptor gene. *Nucleic Acids Res* 1998,26:248-52.
- 4. Garuti R, Rolleri M, Bertolini S, De Stefano F, Casarino L, Calandra S. A de novo point mutation of LDL receptor gene. *Atherosclerosis* 1997;134:67.

5. Bertolini S, Cantafora A, Averna M, Cortese C, Motti C, Martini S, Pes G, Postiglione A, Stefanutti C, Blotta I, Pisciotta L, Rolleri M, Langheim S, Ghisellni M, Rabbon, I. Clinical expression of familial hypercholesterolemia in clusters of mutations of the LDL receptor gene that cause a receptor–defective or receptor-negative phenotype. *Arterioscler Thromb Vasc Biol* 2000;20:E41-52.

FH-Foggia-2 (amplificazione allele-specifica)

Informazioni sulla mutazione

- Sito della mutazione nel gene LDLR: esone 4, (Repeat 3), 373 C>T
- Mutazione aminoacido (codone): Q104X, Arg104Stop (CAG>TAG)
- Effetto funzionale della mutazione: riduzione attività recettoriale.
- Classe funzionale della mutazione (1):non determinata
- Frazione di attività recettoriale residua (1): non determinata
- Area italiana a maggiore diffusione : Sud (Puglia-Campania)
- Altre popolazioni in cui la mutazione è stata riscontrata: nessuna
- Altre denominazioni dell'allele: nessuna

Principio del metodo

Viene amplificato selettivamente, dall'allele mutato, mediante PCR allele-specifica (PASA), una zona di 134 bp. A tal fine, si utilizza una coppia di *primer* in cui quello senso non ha alcuna specificità. Il *primer* antisenso, invece, (allele specifico), ha all'estremità 3' un *mismatch* C/C con l'allele normale e un regolare appaiamento C/G con l'allele mutato. Ciò consente l'appaiamento e l'estensione solo della sequenza mutata. L'allele normale o con diversa mutazione non dà, invece, alcuna amplificazione.

I primers utilizzati sono i seguenti:

- 5' GTTGGGAGACTTCACACGGTGATGG 3' Senso 25 nt (1)
- **5' CCCGGTCTGAGTCACAGACGAACTC 3'** Antisenso allele-specifico 25 nt (2) L'amplificazione allele-specifica viene evidenziata mediante elettroforesi osservando: allele *wild* => nessun amplificato, allele mutante (omo- o eterozigote) => amplificato di 134 bp.

Procedura analitica

La miscela per la amplificazione specifica di un frammento di 134 bp dell'allele mutato viene eseguita in una miscela del volume totale di 12,5 μL contenente 125 ng di DNA genomico, 2,5 pmoli di ciascuno dei *primers*, 2,5 nmoli di ciascuno dei nucleotidi trifosfati, 1 U di Taq polimerasi e 1,25 μL del suo specifico tampone 10x. La concentrazione finale di Mg⁺⁺ viene portata a 1,5 mM.

In pratica, si pipetta nella provetta di amplificazione, nell'ordine: 9,05 μ L di acqua bidistillata (tale volume va modificato nel caso che reattivi o campioni impiegati abbiano concentrazioni diverse da quelle indicate di seguito), 0,25 μ L di una mix dei dNTP (conc. 10 mM) 0,5 μ L di una mix dei *primers* sopra indicati, 1,25 μ L dell'apposito buffer 10x per la Taq polimerasi in uso, 0,75 μ L di una soluzione 25 mM di MgCl₂ tale da portare la concentrazione finale di Mg⁺⁺ ad un valore di 1,5 mM. Si miscela vigorosamente su vortex e, dopo una rapida centrifugata, si aggiungono 0,2 μ L di Taq polimerasi (corrispondente ad 1 U di enzima). Si mescola delicatamente e si aggiungono 125 ng di DNA genomico in un volume di 0,5 μ L.

Si effettua l'amplificazione mediante il seguente programma al Thermal Cycler: denaturazione di 5' a 94 °C seguita da 30 cicli (94 °C per 30''/58 °C per 30''/72 °C per 1') e da un'estensione finale di 7' a 72 °C.

La mutazione può essere evidenziata applicando direttamente 1 μ L del prodotto di amplificazione PCR su un LabChip DNA500 del Bioanalyzer (Appendice C) dalla banda di circa 134 bp che contraddistingue l'allele mutato.

Riferimenti bibliografici sulla mutazione

- 1. Hobbs HH, Brown MS, Goldstein JL. Molecular Genetics of the LDL receptor gene in familial hypercholesterolemia. *Hum Mutat* 1992;1:445-66.
- Cantafora A, Blotta I, Mercuri E, Calandra S, Bertolini S. Use of Allele-Specific polymerase chain reaction for detecting point mutations in LDL-receptor gene common in southern Italy. Atti del 70th European Atherosclerosis Society Congress, Geneva, Switzerland, 6-9 September 1998. pag 69.
- 3. Bertolini S, Cantafora A, Averna M, Cortese C, Motti C, Martini S, Pes G, Postiglione A, Stefanutti C, Blotta I, Pisciotta L, Rolleri M, Langheim S, Ghisellni M, Rabbon, I. Clinical expression of familial hypercholesterolemia in clusters of mutations of the LDL receptor gene that cause a receptor–defective or receptor-negative phenotype. *Arterioscler Thromb Vasc Biol* 2000;20:E41-52.

FH-Alessandria (amplificazione allele-specifica)

Informazioni sulla mutazione

- Sito della mutazione nel gene LDLR: esone 4, (Repeat 3-5), 401 G>T
- Mutazione aminoacido (codone): C113F, Cys113Phe (TGC->TTC)
- Effetto funzionale della mutazione: riduzione attività recettoriale
- Classe funzionale della mutazione (1): non determinata
- Frazione di attività recettoriale residua (1): non determinata
- Area italiana a maggiore diffusione : Nord (Piemonte)
- Altre popolazioni in cui la mutazione è stata riscontrata: nessuna
- Altre denominazioni dell'allele: nessuna

Principio del metodo

Viene amplificato selettivamente, dall'allele mutato, mediante PCR allele-specifica (PASA) una zona di 162 bp. A tal fine, si utilizza una coppia di *primer* in cui quello antisenso (allele specifico), ha all'estremità 3' un *mismatch* A/G con l'allele normale e il normale appaiamento A/T con l'allele mutato. Il *primer* senso, invece, non ha alcuna specificità. Ciò consente l'*annealing* e l'estensione solo della sequenza mutata. L'allele normale o con diversa mutazione non dà alcuna amplificazione.

I primers utilizzati sono i seguenti:

- 5' GTTGGGAGACTTCACACGGTGATGG 3' Senso 25 nt (1)
- 5' GAGGCCTCGTCTGAGCCGTCCAAGA 3' Antisenso allele-specifico- 25 nt (2)

L'amplificazione allele-specifica viene evidenziata mediante elettroforesi su gel di poliacrilammide osservando: allele *wild* => nessun amplificato, allele mutante (omo- o eterozigote) => amplificato di 162 bp.

Procedura analitica

La miscela per l'amplificazione specifica di un frammento di 162 bp dell'allele mutato viene eseguita in una miscela del volume totale di 12,5 μ L contenente 125 ng di DNA genomico, 2,5 pmoli di ciascuno dei *primers*, 2,5 nmoli di ciascuno dei nucleotidi trifosfati, 1 U di Taq polimerasi e 1,25 μ L del suo specifico tampone 10x. La concentrazione finale di Mg⁺⁺ viene portata a 1,5 mM.

In pratica, si pipetta nella provetta di amplificazione, nell'ordine: 9,05 μ L di acqua bidistillata (tale volume va modificato nel caso che reattivi o campioni impiegati abbiano concentrazioni diverse da quelle indicate di seguito), 0,25 μ L di una mix dei dNTP (conc. 10 mM) 0,5 μ L di una mix dei *primers* sopra indicati, 1,25 μ L dell'apposito buffer 10x per la Taq polimerasi in uso, 0,75 μ L di una soluzione 25 mM di MgCl₂ tale da portare la concentrazione finale di Mg⁺⁺ ad un valore di 1,5 mM. Si miscela vigorosamente su vortex e, dopo una rapida centrifugata, si aggiungono 0,2 μ L di Taq polimerasi (corrispondente ad 1 U di enzima). Si mescola delicatamente e si aggiungono 125 ng di DNA genomico in un volume di 0,5 μ L.

Si effettua l'amplificazione mediante il seguente programma al Thermal Cycler: denaturazione di 5' a 94 °C seguita da 30 cicli (94 °C per 30''/58 °C per 30''/72 °C per 1') e da un'estensione finale di 7' a 72 °C.

La mutazione può essere evidenziata applicando direttamente 1 μ L del prodotto di amplificazione PCR su un LabChip DNA500 (Figura 1) del Bioanalyzer (Appendice C) dalla banda di circa 162 bp che contraddistingue l'allele mutato.

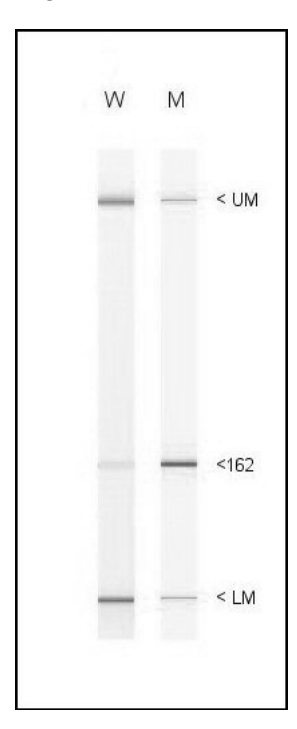


Figura 1. Applicazione della procedura descritta ad un campione di DNA estratto dal sangue di un soggetto eterozigote per la mutazione in esame (corsia M). L'amplificazione PCR dà luogo, nell'allele mutato ad un prodotto di 162 bp. Nell'allele normale (corsia W) non si osserva alcun prodotto

Riferimenti bibliografici sulla mutazione

- 1. Hobbs HH, Brown MS, Goldstein JL. Molecular Genetics of the LDL receptor gene in familial hypercholesterolemia. *Hum Mutat* 1992;1:445-66.
- 2. Garuti R, Rolleri M, Bertolini S, De Stefano F, Casarino L, Calandra S. A de novo point mutation of LDL receptor gene. *Atherosclerosis* 1997;134:67.
- 3. Bertolini S, Cantafora A, Averna M, Cortese C, Motti C, Martini S, Pes G, Postiglione A, Stefanutti C, Blotta I, Pisciotta L, Rolleri M, Langheim S, Ghisellni M, Rabbon, I. Clinical expression of familial hypercholesterolemia in clusters of mutations of the LDL receptor gene that cause a receptor-defective or receptor-negative phenotype. *Arterioscler Thromb Vasc Biol* 2000;20:E41-52.

FH-Lucca (amplificazione allele-specifica)

Informazioni sulla mutazione

- Sito della mutazione nel gene LDLR: esone 4, (Repeat 3-5), 402 C>G
- Mutazione aminoacido (codone): C113W, Cys113Trp (TGC->TGG)
- Effetto funzionale della mutazione: riduzione attività recettoriale
- Classe funzionale della mutazione (1): non determinata
- Frazione di attività recettoriale residua (1): non determinata
- Area italiana a maggiore diffusione : Centro (Toscana)
- Altre popolazioni in cui la mutazione è stata riscontrata: nessuna
- Altre denominazioni dell'allele: nessuna

Principio del metodo

Viene amplificato selettivamente, dall'allele mutato mediante PCR allele-specifica (PASA), una zona di 241 bp. A tal fine, si utilizza una coppia di *primer* in cui quello senso (allele specifico), ha all'estremità 3' un *mismatch* A/G con l'allele normale e un *mismatch* A/C con l'allele mutato. Il *primer* antisenso, invece, non ha alcuna specificità. Ciò consente l'*annealing* e l'estensione solo della sequenza mutata. L'allele normale o con diversa mutazione non dà, invece alcuna amplificazione.

I primers da 25 basi utilizzati sono i seguenti:

5' - CGTCTGTGACTCAGACCGGGACTGA - 3' Senso allele-specifico - 25 nt (2)

5' - ACTTAGGCAGTGGAACTCGAAGGCC - 3' Antisenso - 25 nt (1)

L'amplificazione allele-specifica viene evidenziata mediante elettroforesi osservando: allele *wild* => nessun amplificato, allele mutante (omo- o eterozigote) => amplificato di 241 bp.

Procedura analitica

La miscela per l'amplificazione specifica di un frammento di 241 bp dell'allele mutato viene eseguita in una miscela del volume totale di 12,5 μ L contenente 125 ng di DNA genomico, 2,5 pmoli di ciascuno dei *primers*, 2,5 nmoli di ciascuno dei nucleotidi trifosfati, 1 U di Taq polimerasi e 1,25 μ L del suo specifico tampone 10x. La concentrazione finale di Mg⁺⁺ viene portata a 1,5 mM.

In pratica, si pipetta nella provetta di amplificazione, nell'ordine: $9,05~\mu L$ di acqua bidistillata (tale volume va modificato nel caso che reattivi o campioni impiegati abbiano concentrazioni diverse da quelle indicate di seguito), $0,25~\mu L$ di una mix dei dNTP (conc. 10 mM) $0,5~\mu L$ di una mix dei *primers* sopra indicati, $1,25~\mu L$ dell'apposito buffer 10x per la Taq polimerasi in uso, $0,75~\mu L$ di una soluzione 25~mM di MgCl₂ tale da portare la concentrazione

finale di Mg^{++} ad un valore di 1,5 mM. Si miscela vigorosamente su vortex e, dopo una rapida centrifugata, si aggiungono 0,2 μ L di Taq polimerasi (corrispondente ad 1 U di enzima). Si mescola delicatamente e si aggiungono 125 ng di DNA genomico in un volume di 0,5 μ L.

Si effettua l'amplificazione mediante il seguente programma al Thermal Cycler: denaturazione di 5' a 94 °C seguita da 30 cicli (94 °C per 30''/58 °C per 30''/72 °C per 1') e da un'estensione finale di 7' a 72 °C.

La mutazione può essere evidenziata applicando direttamente $1~\mu L$ del prodotto di amplificazione PCR su un LabChip DNA500 del Bioanalyzer (Appendice C) dalla banda di circa 241 bp che contraddistingue l'allele mutato e dall'assenza di bande per l'allele normale (Figura 2).

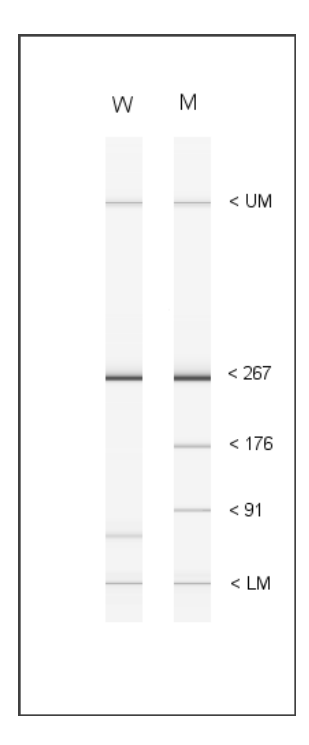


Figura 2. Applicazione della procedura descritta ad un campione di DNA estratto dal sangue di un soggetto eterozigote per la mutazione in esame (corsia M). L'amplificazione PCR dà luogo, nell'allele mutato ad un prodotto di 241 bp. Nell'allele normale (corsia W) non si osserva alcun prodotto

- 1. Hobbs HH, Brown MS, Goldstein JL. Molecular Genetics of the LDL receptor gene in familial hypercholesterolemia. *Hum Mutat* 1992;1:445-66.
- 2. Garuti R, Rolleri M, Bertolini S, De Stefano F, Casarino L, Calandra S. A de novo point mutation of LDL receptor gene. *Atherosclerosis* 1997;134:67.
- 3. Bertolini S, Cantafora A, Averna M, Cortese C, Motti C, Martini S, Pes G, Postiglione A, Stefanutti C, Blotta I, Pisciotta L, Rolleri M, Langheim S, Ghisellni M, Rabbon, I. Clinical expression of familial hypercholesterolemia in clusters of mutations of the LDL receptor gene that cause a receptor–defective or receptor-negative phenotype. *Arterioscler Thromb Vasc Biol* 2000;20:E41-52.

FH Padova-1

Informazioni sulla mutazione

- Sito della mutazione nel gene LDLR: esone 4, (Repeat 5), 662 A>G
- Mutazione aminoacido (codone): D200G, Asp200Gly (GAC->GGC)
- Effetto funzionale della mutazione: riduzione attività recettoriale
- Classe funzionale della mutazione (1): 2B
- Frazione di attività recettoriale residua (1): <2% (eterozigote)
- Area italiana a maggiore diffusione : Nord-Est (Veneto, Emilia-Romagna)
- Altre popolazioni in cui la mutazione è stata riscontrata: Statunitensi, Svedesi, Norvegesi, Tedeschi, Austriaci, Francesi, Spagnoli, N.Irlandesi
- Altre denominazioni dell'allele: nessuna

Principio del metodo

Viene amplificata mediante PCR una zona di 267 bp che include la seconda parte dell'esone 4 con la seguente coppia di *primer*:

```
5'-CCCCAGCTGTGGGCCTGCGACAACG -3' Senso-25nt (1) 5'-GGGGGAGCCCAGGGACAGGTGATAG -3' Antisenso-25nt (1)
```

La mutazione, se presente, introduce un sito di restrizione Msp I (C/CGG) che dà luogo nell'allele mutante, alla formazione di due frammenti di 176 e 91 bp evidenziabili mediante elettroforesi (Figura 3). L'allele *wild*, invece non dà luogo a prodotti di restrizione.

Procedura analitica

L'amplificazione di un frammento di 267 bp comprendente l'esone 4 si ottiene preparando una miscela del volume totale di 12,5 μ L contenente 125 ng di DNA genomico, 2,5 pmoli di ciascuno dei *primers*, 2,5 nmoli di ciascuno dei nucleotidi trifosfati, 1 U di Taq polimerasi e 1,25 μ L del suo specifico tampone 10x. La concentrazione finale di Mg⁺⁺ viene portata a 1,5 mM.

In pratica, si pipetta nella provetta di amplificazione, nell'ordine: 9,05 μ L di acqua bidistillata (tale volume va modificato nel caso che reattivi o campioni impiegati abbiano concentrazioni diverse da quelle indicate di seguito), 0,25 μ L di una mix dei dNTP (conc. 10 mM) 0,5 μ L di una mix dei *primers* sopra indicati, 1,25 μ L dell'apposito buffer 10x per la Taq polimerasi in uso, 0,75 μ L di una soluzione 25 mM di MgCl₂ tale da portare la concentrazione finale di Mg⁺⁺ ad un valore di 1,5 mM. Si miscela vigorosamente su vortex e, dopo una rapida centrifugata, si aggiungono 0,2 μ L di Taq polimerasi (corrispondente ad 1 U di enzima). Si mescola delicatamente e si aggiungono 125 ng di DNA genomico in un volume di 0,5 μ L.

Si effettua l'amplificazione mediante il seguente programma al Thermal Cycler: denaturazione di 5' a 94 °C seguita da 30 cicli (94 °C per 30''/58 °C per 30''/72 °C per 1') e da un'estensione finale di 7' a 72 °C.

L'amplificazione viene controllata al BioAnalyzer caricando 1 μL del prodotto di amplificazione su chip DNA-500 (Appendice C).

Un'aliquota di 5,4 μ L dell'amplificato è posta in una provetta Eppendorf, addizionata di 2 U (1 μ L) dell'enzima di restrizione Msp I, di 0.8 μ L dello specifico tampone 10x e acqua distillata fino a portare il volume a 8 μ L. La miscela è incubata per due ore a 37°C. Successivamente si applica 1 μ L di prodotto di digestione sul Bioanalyzer, come previsto per i prodotti di amplificazione. La presenza dell'allele normale è evidenziata da una banda di circa 267 bp e l'allele mutante da una banda di circa 176 e 91 bp (Figura 3)

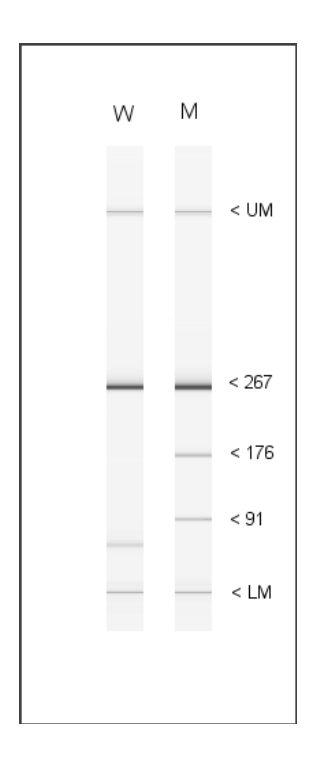


Figura 3. Applicazione della procedura descritta ad un campione di DNA estratto dal sangue di un soggetto eterozigote per la mutazione in esame (corsia M). L'amplificazione PCR dà luogo ad un prodotto di 267 bp che, nell'allele normale (Corsia W) non si scinde per effetto dell'enzima di restrizione Msp I. Nell'allele mutato, invece, tale sequenza si scinde in due bande di 176 e 91 bp

- 1. Hobbs HH, Brown MS, Goldstein JL. Molecular Genetics of the LDL receptor gene in familial hypercholesterolemia. *Hum Mutat* 1992;1:445-66.
- 2. Gudnason V, Mak YT, Betteridge J, Mc Carthy SN, Humphries S. Use of the single-strand conformational polymorphism method to detect recurrent and a novel mutations I the low-density lipoprotein receptor gene. *Clin Investig* 1993;71:331-7.
- 3. Bertolini S, Calandra S. Mutazioni del gene del recettore LDL responsabili di ipercolesterolemia familiare in Italia. *Arteriosclerosi News* 1994;1:11.
- 4. Varret M, Rabes JP, Collod-Beroud G, Junien C, Boileau C and Beroud C. Software and databases for the analysis of mutations in the human LDL receptor gene. *Nucleic Acids Res* 1997;25:172-80.
- 5. Leren TP, Tonstad S, Gundersen KE, Bakken KS, Rodningen OK, Sundvold H, Ose L, Berg K. Molecular genetics of familial hypercholesterolemia in Norway. *J Intern Med* 1997;241:185-94.
- 6. Cenarro A, Jensen HK, Casao E, Civeira F, Gonzalez-Bonillo J, Rodriguez-Rey JC, Gregersen N, Pocovi M. Identification of recurrent and novel mutations in the LDL receptor genein Spanish patients with familial hypercholesterolemia. Mutations in brief no. 135. Online. *Hum Mutat* 1998;11(5):413.
- Graham CA, Mcclean E, Ward AJ, Beattie ED, Martin S, O'cane M, Young IS, Nicholls DP. Mutation screening and genotype: phenotype correlation in familial hypercholesterolemia. *Atherosclerosis* 1999;147:309-16.

- 8. Schmidt H, Kostner GM. Familial hypercholesterolemia in Austria reflects the mutli-ethnic origin of our country. *Atherosclerosis* 2000;148:431-2.
- 9. Bertolini S, Cantafora A, Averna M, Cortese C, Motti C, Martini S, Pes G, Postiglione A, Stefanutti C, Blotta I, Pisciotta L, Rolleri M, Langheim S, Ghisellni M, Rabbon, I. Clinical expression of familial hypercholesterolemia in clusters of mutations of the LDL receptor gene that cause a receptor–defective or receptor-negative phenotype. *Arterioscler Thromb Vasc Biol* 2000;20:E41-52.

FH-Modena

Informazioni sulla mutazione

- Sito della mutazione nel gene LDLR: esone 4, (Repeat 5), 682 G>A
- Mutazione aminoacido (codone): E207K, Glu207Lys (GAG>AAG)
- Effetto funzionale della mutazione: riduzione attività recettoriale
- Classe funzionale della mutazione (1): 2B
- Frazione di attività recettoriale residua (1): <2% (omozigote)
- Area italiana a maggiore diffusione : Nord (Emilia-Romagna)
- Altre popolazioni in cui la mutazione è stata riscontrata: Franco-Canadesi, Messicani,
- Olandesi, Cinesi.
- Altre denominazioni dell'allele: FH-French-Canadian-3, FH-Mexico

Principio del metodo

Viene amplificata mediante PCR una zona di 94 bp che include parte dell'esone 4 con la seguente coppia di *primer mismatch*:

- 5'- CCCCGACTGCAAGGACAAATCTGCC 3' Senso-25nt
- 5'- GGGGGAGCCCAGGGACAGGTGATAG 3' Antisenso-25nt (2)

La mutazione, se presente, unitamente al *mismatch* introdotto dal *primer* senso, crea un sito di restrizione Sty I (C/CWWGG) che dà luogo, nell'allele mutante, alla formazione di due frammenti di 70 e 24 bp evidenziabili mediante elettroforesi. L'allele *wild*, invece, non dà luogo a prodotti di restrizione.

Procedura analitica

L'amplificazione di un frammento di 94 bp che include la seconda parte dell'esone 4 si ottiene preparando una miscela del volume totale di 12,5 μ L contenente 125 ng di DNA genomico, 2,5 pmoli di ciascuno dei *primers*, 2,5 nmoli di ciascuno dei nucleotidi trifosfati, 1 U di Taq polimerasi e 1,25 μ L del suo specifico tampone 10x. La concentrazione finale di Mg⁺⁺ viene portata a 1,5 mM.

In pratica, si pipetta nella provetta di amplificazione, nell'ordine: $9,05~\mu L$ di acqua bidistillata (tale volume va modificato nel caso che reattivi o campioni impiegati abbiano concentrazioni diverse da quelle indicate di seguito), $0,25~\mu L$ di una mix dei dNTP (conc. 10~mM) $0,5~\mu L$ di una mix dei *primers* sopra indicati, $1,25~\mu L$ dell'apposito buffer 10x per la Taq polimerasi in uso, $0,75~\mu L$ di una soluzione 25~mM di MgCl₂ tale da portare la concentrazione finale di Mg⁺⁺ ad un valore di 1,5~mM. Si miscela vigorosamente su vortex e, dopo una rapida centrifugata, si aggiungono $0,2~\mu L$ di Taq polimerasi (corrispondente ad 1~U di enzima). Si mescola delicatamente e si aggiungono 125~ng di DNA genomico in un volume di $0,5~\mu L$.

Si effettua l'amplificazione mediante il seguente programma al Thermal Cycler: denaturazione di 5' a 94 °C seguita da 30 cicli (94 °C per 30''/58 °C per 30''/72 °C per 1') e da un'estensione finale di 7' a 72 °C.

L'amplificazione viene controllata al BioAnalyzer caricando 1 μ L del prodotto di amplificazione su chip DNA-500 (Appendice C).

Un'aliquota di 5,4 μ L dell'amplificato è posta in una provetta Eppendorf, addizionata di 2 U (1 μ L) dell'enzima di restrizione Sty I, di 0.8 μ L dello specifico tampone 10x e acqua distillata fino a portare il volume a 8 μ L. La miscela è incubata per due ore a 37°C. Successivamente si applica 1 μ L di prodotto di digestione sul Bioanalyzer, come previsto per i prodotti di amplificazione. La presenza dell'allele normale è evidenziata da una banda di circa 94 bp e quella dell'allele mutante da due bande di circa 70 e 24 bp.

Riferimenti bibliografici sulla mutazione

- 1. Lettersdor FE, Tobin EJ, Davignon J, Hobbs HH. Common low-density lipoprotein receptor mutation in the French Canadian population. *J Clin Invest* 1990;85:1014-23.
- 2. Hobbs HH, Brown MS, Goldstein JL. Molecular Genetics of the LDL receptor gene in familial hypercholesterolemia. *Hum Mutat* 1992;1:445-66.
- 3. Bertolini S, Calandra S. Mutazioni del gene del recettore LDL responsabili di ipercolesterolemia familiare in Italia. *Arteriosclerosi News* 1994;1:11.
- 4. Varret M, Rabes JP, Collod-Beroud G, Junien C, Boileau C, Beroud C. Software and database for the analysis of mutations in the human LDL receptor gene. *Nucleic Acids Res* 1998,26:248-52.
- 5. Garuti R, Rolleri M, Bertolini S, De Stefano F, Casarino L, Calandra S. A de novo point mutation of LDL receptor gene. *Atherosclerosis* 1997;134:67.
- 6. Kotze MJ, Loubser O, Thiar TR, De Villiers JN, Langenhoven E, Theart L, Steyn K, Marais AD, Raal FJ. CpG hotspot mutations at the LDL receptor locus are a frequent cause of familial hypercholesterolaemia among South African Indians. *Clin Genet* 1997;51:394-8.
- 7. Loubser O, Marais AD, Kotze MJ, Godenir N, Thiart R, Scholtz CL, De Villiers JN, Hillerman R, Firth JC, Wich HF, Maritz F, Jones S, Van Der Westhuyzen DR. Founder mutations in the ldl receptor gene contribute significantly to the familial hypercholesterolaemia phenotype in the indigenous South African population of mixed ancestry. *Clin Genet* 1999;55:340-5.
- 8. Pimstone SN, Sun XM, Du Soiuch C, Frohlich JJ, Hayden MR, Soutar AK. Phenotypic variation in yeterozigous familial hypercholesterolaemia; a comparison of Chinese patients with the same or similar mutations in the LDL receptor gene in China or Canada. *Arterioscler Thromb Vasc Biol* 1998:18:309-15.
- Mak YT, Pang CP, Tomlinson B, Zhang J, Chan YS, Mak TW, Masarei JR, Mutation in the low density lipoprotein receptor gene in Chinese familial hypercholesterolaemia patients. *Arterioscler Thromb Vasc Biol* 1998;18:1600-5.

FH-Reggio Emilia-2

Informazioni sulla mutazione

- Sito della mutazione nel gene LDLR: esone 5, Repeat 6, 761 A>C
- Mutazione aminoacido (codone): Q233P, Gln233Pro (CAG->CCG)
- Effetto funzionale della mutazione: riduzione attività recettoriale
- Classe funzionale della mutazione (1): non determinata
- Frazione di attività recettoriale residua (1): non determinata
- Area italiana a maggiore diffusione : Nord (Emilia Romagna)

- Altre popolazioni in cui la mutazione è stata riscontrata: nessuna
- Altre denominazioni dell'allele: nessuna

Principio del metodo

Viene amplificata mediante PCR una zona di 173 bp che include l'esone 5 con la seguente coppia di *primer*:

```
5'-CAACACTCTGTCCTGTTTTCCAG -3' Senso-25nt (1) 5'-GGAAAACCAGATGGCCAGCGCTCAC -3' Antisenso-25nt (1)
```

La mutazione, se presente, introduce un sito di restrizione Ecl XI (o Xma III) (C/GGCCG) che dà luogo nell'allele mutante, alla formazione di due frammenti di 88 e 85 bp evidenziabili mediante elettroforesi su gel di poliacrilammide. L'allele *wild*, invece, non dà luogo a prodotti di restrizione.

Procedura analitica

L'amplificazione di un frammento di 173 bp che include l'esone 5 si ottiene preparando una miscela del volume totale di 12,5 µL contenente 125 ng di DNA genomico, 2,5 pmoli di ciascuno dei *primers*, 2,5 nmoli di ciascuno dei nucleotidi trifosfati, 1 U di Taq polimerasi e 1,25 µL di tampone 10x. La concentrazione finale di Mg⁺⁺ viene portata a 1,5 mM.

In pratica, si pipetta nella provetta di amplificazione, nell'ordine: 9,05 μ L di acqua bidistillata (tale volume va modificato nel caso che reattivi o campioni impiegati abbiano concentrazioni diverse da quelle indicate di seguito), 0,25 μ L di una mix dei dNTP (conc. 10 mM) 0,5 μ L di una mix dei *primers* sopra indicati, 1,25 μ L dell'apposito tampone 10x per la Taq polimerasi in uso, 0,75 μ L di una soluzione 25 mM di MgCl₂ tale da portare la concentrazione finale di Mg⁺⁺ ad un valore di 1,5 mM. Si miscela vigorosamente su vortex e, dopo una rapida centrifugata, si aggiungono 0,2 μ L di Taq polimerasi (corrispondente ad 1 U di enzima). Si mescola delicatamente e si aggiungono 125 ng di DNA genomico in un volume di 0,5 μ L.

Si effettua l'amplificazione mediante il seguente programma al Thermal Cycler: denaturazione di 5' a 94 °C seguita da 30 cicli (94 °C per 30''/58 °C per 30''/72 °C per 1') e da un'estensione finale di 7' a 72 °C.

L'amplificazione viene controllata al BioAnalyzer caricando 1 μ L del prodotto di amplificazione su chip DNA-500 (Appendice C).

Un'aliquota di 5,4 μ L dell'amplificato è posta in una provetta Eppendorf, addizionata di 2 U (1 μ L) dell'enzima di restrizione Ecl XI, di 0.8 μ L dello specifico tampone 10x e acqua distillata fino a portare il volume a 8 μ L. La miscela è incubata per due ore a 37°C. Successivamente si applica 1 μ L di prodotto di digestione sul Bioanalyzer, come previsto per i prodotti di amplificazione. La presenza dell'allele normale è evidenziata da una banda di circa 173 bp e quella dell'allele mutante da due bande di circa 88 e 85 bp.

- 1. Hobbs HH, Brown MS, Goldstein JL. Molecular Genetics of the LDL receptor gene in familial hypercholesterolemia. *Hum Mutat* 1992;1:445-66.
- 2. Bertolini S, Calandra S. Mutazioni del gene del recettore LDL responsabili di ipercolesterolemia familiare in Italia. *Arteriosclerosi News* 1994;1:11.
- 3. Garuti R, Rolleri M, Bertolini S, De Stefano F, Casarino L, Calandra S. A de novo point mutation of LDL receptor gene. *Atherosclerosis* 1997;134:67.

4. Bertolini S, Cantafora A, Averna M, Cortese C, Motti C, Martini S, Pes G, Postiglione A, Stefanutti C, Blotta I, Pisciotta L, Rolleri M, Langheim S, Ghisellni M, Rabbon, I. Clinical expression of familial hypercholesterolemia in clusters of mutations of the LDL receptor gene that cause a receptor–defective or receptor-negative phenotype. *Arterioscler Thromb Vasc Biol* 2000;20:E41-52.

FH-Milano-2

Informazioni sulla mutazione

- Sito della mutazione nel gene LDLR: esone 6, (Repeat 7), 862
- Mutazione aminoacido (codone): E267Stop, Glu267Stop (GAA->TAA)
- Effetto funzionale della mutazione: riduzione attività recettoriale
- Classe funzionale della mutazione (1): non determinata
- Frazione di attività recettoriale residua (1): non determinata
- Area italiana a maggiore diffusione : Nord (Lombardia)
- Altre popolazioni in cui la mutazione è stata riscontrata: nessuna
- Altre denominazioni dell'allele: nessuna

Principio del metodo

Viene amplificata mediante PCR una zona di 173 bp che include l'esone 6 con la seguente coppia di *primer*:

```
5'-TCCTTCCTCTCTGGCTCTCACAG -3' Senso-25nt (1) 
5'-GCAAGCCGCCTGCACCGAGACTCAC -3' Antisenso-25nt (1)
```

La mutazione, se presente, elimina un sito di restrizione Bsm I (GAATGCN/N) che dà luogo nell'allele *wild*, alla formazione di due frammenti di 76 e 97 bp evidenziabili mediante elettroforesi. In definitiva si avrà: allele *wild>97+76* bp e allele mutante >173 bp.

Procedura analitica

L'amplificazione di un frammento di 173 bp che include l'esone 6 si ottiene preparando una miscela del volume totale di 12,5 μ L contenente 125 ng di DNA genomico, 2,5 pmoli di ciascuno dei *primers*, 2,5 nmoli di ciascuno dei nucleotidi trifosfati, 1 U di Taq polimerasi e 1,25 μ L dello specifico tampone 10x. La concentrazione finale di Mg⁺⁺ viene portata a 1,5 mM.

In pratica, si pipetta nella provetta di amplificazione, nell'ordine: 9,05 μ L di acqua bidistillata (tale volume va modificato nel caso che reattivi o campioni impiegati abbiano concentrazioni diverse da quelle indicate di seguito), 0,25 μ L di una mix dei dNTP (conc. 10 mM) 0,5 μ L di una mix dei *primers* sopra indicati, 1,25 μ L dell'apposito buffer 10x per la Taq polimerasi in uso, 0,75 μ L di una soluzione 25 mM di MgCl₂ tale da portare la concentrazione finale di Mg⁺⁺ ad un valore di 1,5 mM. Si miscela vigorosamente su vortex e, dopo una rapida centrifugata, si aggiungono 0,2 μ L di Taq polimerasi (corrispondente ad 1 U di enzima). Si mescola delicatamente e si aggiungono 125 ng di DNA genomico in un volume di 0,5 μ L.

Si effettua l'amplificazione mediante il seguente programma al Thermal Cycler: denaturazione di 5' a 94 °C seguita da 30 cicli (94 °C per 30''/58 °C per 30''/72 °C per 1') e da un'estensione finale di 7' a 72 °C.

L'amplificazione viene controllata al BioAnalyzer caricando 1 μL del prodotto di amplificazione su chip DNA-500 (Appendice C).

Un'aliquota di 5,4 μ L dell'amplificato è posta in una provetta Eppendorf, addizionata di 2 U (1 μ L) dell'enzima di restrizione Bsm I, di 0.8 μ L dello specifico tampone 10x e acqua distillata

fino a portare il volume a 8 μ L. La miscela è incubata per due ore a 37°C. Successivamente si applica 1 μ L di prodotto di digestione sul Bioanalyzer, come previsto per i prodotti di amplificazione. La presenza dell'allele normale è evidenziata da due bande di circa 76 e 79 bp e quella dell'allele mutante da una banda di circa 173 bp.

Riferimenti bibliografici sulla mutazione

- 1. Hobbs HH, Brown MS, Goldstein JL. Molecular Genetics of the LDL receptor gene in familial hypercholesterolemia. *Hum Mutat* 1992;1:445-66.
- 2. Bertolini S, Calandra S. Mutazioni del gene del recettore LDL responsabili di ipercolesterolemia familiare in Italia. *Arteriosclerosi News* 1994;1:11.
- 3. Garuti R, Rolleri M, Bertolini S, De Stefano F, Casarino L, Calandra S. A de novo point mutation of LDL receptor gene. *Atherosclerosis* 1997;134:67.
- 4. Bertolini S, Cantafora A, Averna M, Cortese C, Motti C, Martini S, Pes G, Postiglione A, Stefanutti C, Blotta I, Pisciotta L, Rolleri M, Langheim S, Ghisellni M, Rabbon, I. Clinical expression of familial hypercholesterolemia in clusters of mutations of the LDL receptor gene that cause a receptor–defective or receptor-negative phenotype. *Arterioscler Thromb Vasc Biol* 2000;20:E41-52.

FH-Perugia-2

Informazioni sulla mutazione

- Sito della mutazione nel gene LDLR: esone 7, Repeat A, 952 T>C
- Mutazione aminoacido (codone): C297R, Cys297Arg (TGC->CGC)
- Effetto funzionale della mutazione: riduzione attività recettoriale
- Classe funzionale della mutazione (1): 2A
- Frazione di attività recettoriale residua (1): non determinata
- Area italiana a maggiore diffusione : Centro (Umbria)
- Altre popolazioni in cui la mutazione è stata riscontrata: nessuna
- Altre denominazioni dell'allele: nessuna

Principio del metodo

Viene amplificata mediante PCR una zona di 169 bp che include l'esone 7 con la seguente coppia di *primer*:

```
5'-AGTCTGCATCCCTGGCCCTGCGCAG -3' Senso-25nt (1)
5'-AGGGCTCAGTCCACCGGGGAATCAC -3' Antisenso-25nt (1)
```

La mutazione, se presente, elimina un sito di restrizione Bsm I (GAATGCN/N) che dà luogo nell'allele *wild*, alla formazione di due frammenti di 41 e 128 bp evidenziabili mediante elettroforesi. In definitiva si avrà: allele *wild>*41+128 bp e allele mutante >169 bp.

Procedura analitica

L'amplificazione di un frammento di 169 bp che include l'esone 7 si ottiene preparando una miscela del volume totale di 12,5 μ L contenente 125 ng di DNA genomico, 2,5 pmoli di ciascuno dei *primers*, 2,5 nmoli di ciascuno dei nucleotidi trifosfati, 1 U di Taq polimerasi e 1,25 μ L dello specifico tampone 10x. La concentrazione finale di Mg⁺⁺ viene portata a 1,5 mM.

In pratica, si pipetta nella provetta di amplificazione, nell'ordine: 9,05 µL di acqua bidistillata (tale volume va modificato nel caso che reattivi o campioni impiegati abbiano concentrazioni diverse da quelle indicate di seguito), 0,25 µL di una mix dei dNTP (conc. 10

mM) 0,5 μL di una mix dei *primers* sopra indicati, 1,25 μL dell'apposito buffer 10x per la Taq polimerasi in uso, 0,75 μL di una soluzione 25 mM di MgCl₂ tale da portare la concentrazione finale di Mg⁺⁺ ad un valore di 1,5 mM. Si miscela vigorosamente su vortex e, dopo una rapida centrifugata, si aggiungono 0,2 μL di Taq polimerasi (corrispondente ad 1 U di enzima). Si mescola delicatamente e si aggiungono 125 ng di DNA genomico in un volume di 0,5 μL.

Si effettua l'amplificazione mediante il seguente programma al Thermal Cycler: denaturazione di 5' a 94 °C seguita da 30 cicli (94 °C per 30''/58 °C per 30''/72 °C per 1') e da un'estensione finale di 7' a 72 °C. L'amplificazione viene controllata al BioAnalyzer caricando 1 μL del prodotto di amplificazione su chip DNA-500 (Appendice C).

Un'aliquota di 5,4 μ L dell'amplificato è posta in una provetta Eppendorf, addizionata di 2 U (1 μ L) dell'enzima di restrizione Bsm I, di 0.8 μ L dello specifico tampone 10x e acqua distillata fino a portare il volume a 8 μ L. La miscela è incubata per due ore a 37°C. Successivamente si applica 1 μ L di prodotto di digestione sul Bioanalyzer, come previsto per i prodotti di amplificazione. La presenza dell'allele normale è evidenziata da una banda di circa 169 bp e quella dell'allele mutante da due bande di circa 41 e 128 bp.

Riferimenti bibliografici sulla mutazione

- 1. Hobbs HH, Brown MS, Goldstein JL. Molecular Genetics of the LDL receptor gene in familial hypercholesterolemia. *Hum Mutat* 1992;1:445-66.
- 2. Garuti R, Rolleri M, Bertolini S, De Stefano F, Casarino L, Calandra S. A de novo point mutation of LDL receptor gene. *Atherosclerosis* 1997;134:67.
- 3. Bertolini S, Cantafora A, Averna M, Cortese C, Motti C, Martini S, Pes G, Postiglione A, Stefanutti C, Blotta I, Pisciotta L, Rolleri M, Langheim S, Ghisellni M, Rabbon, I. Clinical expression of familial hypercholesterolemia in clusters of mutations of the LDL receptor gene that cause a receptor–defective or receptor-negative phenotype. *Arterioscler Thromb Vasc Biol* 2000;20:E41-52.

FH-Trieste

Informazioni sulla mutazione

- Sito della mutazione nel gene LDLR: esone 7, (Repeat A), 953 G>T
- Mutazione aminoacido (codone): C297F, Cys297Phe (TGC->TTC)
- Effetto funzionale della mutazione: riduzione attività recettoriale
- Classe funzionale della mutazione (1): 2A
- Frazione di attività recettoriale residua (1): non determinata
- Area italiana a maggiore diffusione : Nord-Est (Friuli)
- Altre popolazioni in cui la mutazione è stata riscontrata: nessuna
- Altre denominazioni dell'allele: nessuna

Principio del metodo

Viene amplificata mediante PCR una zona di 169 bp che include l'esone 7 con la seguente coppia di *primer*:

```
5'-AGTCTGCATCCCTGGCCCTGCGCAG - 3' Senso-25nt (1) 
5'-AGGGCTCAGTCCACCGGGGAATCAC - 3' Antisenso-25nt (1)
```

La mutazione, se presente, introduce un sito di restrizione EcoR I (G/AATTC) che dà luogo nell'allele mutante, alla formazione di due frammenti di 35 e 134 bp evidenziabili mediante elettroforesi (Figura 4). L'allele *wild*, invece, non dà luogo a prodotti di restrizione.

Procedura analitica

L'amplificazione di un frammento di 169 bp che include l'esone 7 si ottiene preparando una miscela del volume totale di 12,5 μ L contenente 125 ng di DNA genomico, 2,5 pmoli di ciascuno dei *primers*, 2,5 nmoli di ciascuno dei nucleotidi trifosfati, 1 U di Taq polimerasi e 1,25 μ L dello specifico tampone 10x. La concentrazione finale di Mg⁺⁺ viene portata a 1,5 mM.

In pratica, si pipetta nella provetta di amplificazione, nell'ordine: 9,05 μ L di acqua bidistillata (tale volume va modificato nel caso che reattivi o campioni impiegati abbiano concentrazioni diverse da quelle indicate di seguito), 0,25 μ L di una mix dei dNTP (conc. 10 mM) 0,5 μ L di una mix dei *primers* sopra indicati, 1,25 μ L dell'apposito buffer 10x per la Taq polimerasi in uso, 0,75 μ L di una soluzione 25 mM di MgCl₂ tale da portare la concentrazione finale di Mg⁺⁺ ad un valore di 1,5 mM. Si miscela vigorosamente su vortex e, dopo una rapida centrifugata, si aggiungono 0,2 μ L di Taq polimerasi (corrispondente ad 1 U di enzima). Si mescola delicatamente e si aggiungono 125 ng di DNA genomico in un volume di 0,5 μ L. Si effettua l'amplificazione mediante il seguente programma al Thermal Cycler: denaturazione di 5' a 94 °C seguita da 30 cicli (94 °C per 30''/58 °C per 30''/72 °C per 1') e da un'estensione finale di 7' a 72 °C.

L'amplificazione viene controllata al BioAnalyzer caricando 1 μL del prodotto di amplificazione su chip DNA-500 (Appendice C).

Un'aliquota di 5,4 μ L dell'amplificato è posta in una provetta Eppendorf, addizionata di 2 U (1 μ L) dell'enzima di restrizione EcoR I, di 0.8 μ L dello specifico tampone 10x e acqua distillata fino a portare il volume a 8 μ L. La miscela è incubata per due ore a 37°C. Successivamente si applica 1 μ L di prodotto di digestione sul Bioanalyzer, come previsto per i prodotti di amplificazione. La presenza dell'allele normale è evidenziata da una banda di circa 169 bp e quella dell'allele mutante da due bande di circa 134 e 35 bp (Figura 4).

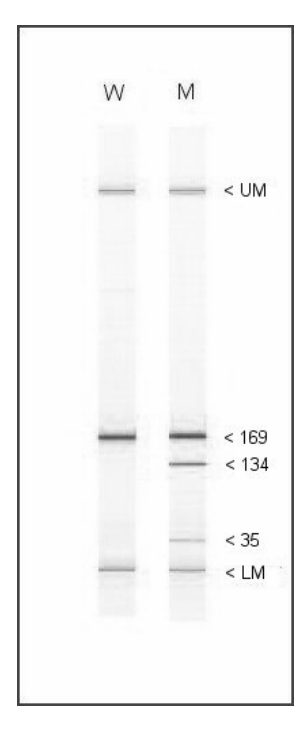


Figura 4. Applicazione della procedura descritta ad un campione di DNA estratto dal sangue di un soggetto eterozigote per la mutazione in esame (corsia M). L'amplificazione PCR dà luogo ad un prodotto di 169 bp che, nell'allele normale (corsia W) non si scinde per effetto dell'enzima di restrizione EcoR I. Nell'allele mutato, invece, tale seguenza si scinde in due bande di 134 e 35 bp

Riferimenti bibliografici sulla mutazione

- 1. Hobbs HH, Brown MS, Goldstein JL. Molecular Genetics of the LDL receptor gene in familial hypercholesterolemia. *Hum Mutat* 1992;1:445-66.
- 2. Bertolini S, Calandra S. Mutazioni del gene del recettore LDL responsabili di ipercolesterolemia familiare in Italia. *Arteriosclerosi News* 1994;1:11.
- 3. Lelli N, Garuti R, Pedrazzi P, Ghisellini M, Simone ML, Tiozzo R, Cattin L, Valenti M, Rolleri M, Bertolini S, *et al.* A new missense mutation (Cys297-->Phe) of the low density lipoprotein receptor in Italian patients with familial hypercholesterolemia (FHTrieste). *Hum Genet* 1994;93(5):538-40.
- 4. Varret M, Rabes JP, Collod-Beroud G, Junien C, Boileau C and Beroud C. Software and databases for the analysis of mutations in the human LDL receptor gene. *Nucleic Acids Res* 1997;25:172-80.
- 5. Garuti R, Rolleri M, Bertolini S, De Stefano F, Casarino L, Calandra S. A de novo point mutation of LDL receptor gene. *Atherosclerosis* 1997;134:67.
- 6. Bertolini S, Cantafora A, Averna M, Cortese C, Motti C, Martini S, Pes G, Postiglione A, Stefanutti C, Blotta I, Pisciotta L, Rolleri M, Langheim S, Ghisellni M, Rabbon, I. Clinical expression of familial hypercholesterolemia in clusters of mutations of the LDL receptor gene that cause a receptor–defective or receptor-negative phenotype. *Arterioscler Thromb Vasc Biol* 2000;20:E41-52.

FH-Avellino-1 (amplificazione allele-specifica)

Informazioni sulla mutazione

- Sito della mutazione nel gene LDLR: esone 7, (Repeat A), 1056 C>G
- Mutazione aminoacido (codone): C331W,Cys331Trp (TGC->TGG)
- Effetto funzionale della mutazione: riduzione attività recettoriale.
- Classe funzionale della mutazione (1): 2B, 5
- Frazione di attività recettoriale residua (1): 9% (in omozigote)
- Area italiana a maggiore diffusione : Campania
- Altre popolazioni in cui la mutazione è stata riscontrata: Olandese
- Altre denominazioni dell'allele: nessuna

Principio del metodo

Viene amplificata selettivamente mediante PCR allele-specifica (PASA) una zona di 165 bp. A tal fine, si utilizza una coppia di *primer* in cui quello senso non ha alcuna specificità. Il *primer* antisenso, invece, (allele specifico), ha all'estremità 3' un *mismatch* C/C con l'allele normale e un appaiamento normale C/G con l'allele mutato. Ciò consente l'appaiamento e l'estensione solo della sequenza mutata. L'allele normale o con una diversa mutazione non dà, invece, alcuna amplificazione.

I primers utilizzati sono i seguenti:

- 5' AGT CTG CAT CCC TGG CCC TGC GCA G 3' Senso 25 nt (1)
- 5' GTC CAC CAC CGG GGA TTC ACC TTC C 3' Antisenso allelele-specifico 25 nt (5)

L'amplificazione allele-specifica viene evidenziata mediante elettroforesi osservando: allele *wild* => nessun amplificato, allele mutante (omo- o eterozigote) => amplificato di 165 bp.

Procedura analitica

La miscela per la amplificazione specifica di un frammento di 165 bp dell'allele mutato viene eseguita in una miscela del volume totale di 12,5 µL contenente 125 ng di DNA

genomico, 2,5 pmoli di ciascuno dei *primers*, 2,5 nmoli di ciascuno dei nucleotidi trifosfati, 1 U di Taq polimerasi e 1,25 μ L dello specifico tampone 10x. La concentrazione finale di Mg⁺⁺ viene portata a 1,5 mM.

In pratica, si pipetta nella provetta di amplificazione, nell'ordine: 9,05 μ L di acqua bidistillata (tale volume va modificato nel caso che reattivi o campioni impiegati abbiano concentrazioni diverse da quelle indicate di seguito), 0,25 μ L di una mix dei dNTP (conc. 10 mM) 0,5 μ L di una mix dei *primers* sopra indicati, 1,25 μ L dell'apposito buffer 10x per la Taq polimerasi in uso, 0,75 μ L di una soluzione 25 mM di MgCl₂ tale da portare la concentrazione finale di Mg⁺⁺ ad un valore di 1,5 mM. Si miscela vigorosamente su vortex e, dopo una rapida centrifugata, si aggiungono 0,2 μ L di Taq polimerasi (corrispondente ad 1 U di enzima). Si mescola delicatamente e si aggiungono 125 ng di DNA genomico in un volume di 0,5 μ L.

Si effettua l'amplificazione mediante il seguente programma al Thermal Cycler: denaturazione di 5' a 94 °C seguita da 30 cicli (94 °C per 30''/58 °C per 30''/72 °C per 1') e da un'estensione finale di 7' a 72 °C.

La mutazione può essere evidenziata applicando direttamente $1~\mu L$ del prodotto di amplificazione PCR su un LabChip DNA500 del Bioanalyzer (Appendice C) dalla banda di circa 165 bp che contraddistingue l'allele mutato.

Riferimenti bibliografici sulla mutazione

- 1. Hobbs HH, Brown MS, Goldstein JL. Molecular Genetics of the LDL receptor gene in familial hypercholesterolemia. *Hum Mutat* 1992;1:445-66.
- 2. Garuti R, Rolleri M, Bertolini S, De Stefano F, Casarino L, Calandra S. A de novo point mutation of LDL receptor gene. *Atherosclerosis* 1997;134:67.
- 3. Lombardi, M.P, Defesche, J.C, Kamerking, S.W.A, Redeker, E, Kastelein, J.J.P, Havekes, L.M, Novel mutations in the LDL receptor gene of Dutch familial hypercholesterolemic patients. *Atherosclerosis* 1997;130 Suppl.:S14.
- 4. Varret M, Rabes JP, Collod-Beroud G, Junien C, Boileau C, Beroud C. Software and database for the analysis of mutations in the human LDL receptor gene. *Nucleic Acids Res* 1998,26:248-52.
- 5. Cantafora A, Blotta I, Mercuri E, Cortese C, Motti C, Rampa P, Calandra S, Bertolini S. Characterization and screening of a point mutation in LDL receptor gene found in Southern Italy (Fh-Avellino). *Ann Ist Super Sanità*. 2000;36:459-64.
- 6. Bertolni S, Cassanelli S, Garuti R, Ghisellini M, Simone ML, Rolleri M, Masturzo P, Calandra S. Analysisis of LDL receptor gene mutations in Italian patients with homozygous familial hypercholesterolemia. *Atherosclerosis* 1999,19:408-18.

FH-Chieti-2

Informazioni sulla mutazione

- Sito della mutazione nel gene LDLR: esone 8, (Repeat B), 1068 A>T
- Mutazioneaminoacido(codone): Asp335Glu+ins Glu,Cys,Gln,Asp,Pro,Asp.
- (GAT>GAA+1068-1069 ins GAGTGTCAGGATCCCGAC)
- Effetto funzionale della mutazione: riduzione attività recettoriale
- Classe funzionale della mutazione (1): non determinata
- Frazione di attività recettoriale residua (1): non determinata
- Area italiana a maggiore diffusione : Centro Sud (Abruzzo)
- Altre popolazioni in cui la mutazione è stata riscontrata: nessuna
- Altre denominazioni dell'allele: nessuna

Principio del metodo

Viene amplificata mediante PCR una zona di 176 bp che include l'esone 8 con la seguente coppia di *primer*:

5'-CCAAGCCTCTTTCTCTCTCTCTCAG - 3' Senso-25nt (1) **5'-CCACCCGCCCTTCCCGTGCTCAC - 3'** Antisenso-25nt (1)

La mutazione, se presente, dà luogo all'amplificazione di un frammento di maggiore lunghezza (194 bp) evidenziabile mediante elettroforesi (Figura 5). In definitiva si avrà: allele *wild*>176 bp e allele mutante > 194 bp.

Procedura analitica

L'amplificazione di un frammento di 176 bp che include l'esone 8 viene eseguita in una miscela del volume totale di 12,5 μ L contenente 125 ng di DNA genomico, 2,5 pmoli di ciascuno dei *primers*, 2,5 nmoli di ciascuno dei nucleotidi trifosfati, 1 U di Taq polimerasi e 1,25 μ L del suo specifico tampone 10x. La concentrazione finale di Mg⁺⁺ viene portata a 1,5 mM.

In pratica, si pipetta nella provetta di amplificazione, nell'ordine: 9,05 μ L di acqua bidistillata (tale volume va modificato nel caso che reattivi o campioni impiegati abbiano concentrazioni diverse da quelle indicate di seguito), 0,25 μ L di una mix dei dNTP (conc. 10 mM) 0,5 μ L di una mix dei *primers* sopra indicati, 1,25 μ L dell'apposito buffer 10x per la Taq polimerasi in uso, 0,75 μ L di una soluzione 25 mM di MgCl₂ tale da portare la concentrazione finale di Mg⁺⁺ ad un valore di 1,5 mM. Si miscela vigorosamente su vortex e, dopo una rapida centrifugata, si aggiungono 0,2 μ L di Taq polimerasi (corrispondente ad 1 U di enzima). Si mescola delicatamente e si aggiungono 125 ng di DNA genomico in un volume di 0,5 μ L.

Si effettua l'amplificazione mediante il seguente programma al Thermal Cycler: denaturazione di 5' a 94 °C seguita da 30 cicli (94 °C per 30''/58 °C per 30''/72 °C per 1') e da un'estensione finale di 7' a 72 °C.

L'amplificazione viene controllata al BioAnalyzer caricando 1 μ L del prodotto di amplificazione su chip DNA-500 (Appendice C).

La mutazione può essere evidenziata applicando direttamente 1 µL del prodotto di amplificazione PCR su un LabChip DNA500 del Bioanalyzer e procedendo come descritto nel paragrafo Materiali e Metodi dalla presenza di una banda di circa 176 bp per l'allele normale e 194 bp per l'allele mutante (Figura 5).



Figura 5. Applicazione della procedura descritta ad un campione di DNA estratto dal sangue di un soggetto eterozigote per la mutazione in esame (corsia M). L'amplificazione PCR dà luogo a due prodotti da 176 bp e 194 bp corrispondenti, rispettivamente, agli amplificati dell'allele normale (corsia W) e dell'allele mutato, di maggiore lunghezza per l'inserimento di 18 paia di basi

Riferimenti bibliografici sulla mutazione

- 1. Hobbs HH, Brown MS, Goldstein JL. Molecular Genetics of the LDL receptor gene in familial hypercholesterolemia. *Hum Mutat* 1992;1:445-66.
- 2. Bertolini S, Calandra S. Mutazioni del gene del recettore LDL responsabili di ipercolesterolemia familiare in Italia. *Arteriosclerosi News* 1994;1:11.
- 3. Patel, D.D, Lelli, N, Garuti, R, Li Volti, S, Bertolini, S, Knight, B.L, Calandra, S. Analysis of two duplications of the LDL receptor gene affecting intracellular transport, catabolism, and surface binding of the LDL receptor. J Lipid Res. 1998, 39:1466-75.

FH-Palermo-2 (amplificazione allele-specifica)

Informazioni sulla mutazione

- Sito della mutazione nel gene LDLR: esone 8, (Repeat B), 1090 T>C
- Mutazione aminoacido (codone): C343R, Cys343Arg (TGC->CGC)
- Effetto funzionale della mutazione: riduzione attività recettoriale
- Classe funzionale della mutazione (1): 2B,5
- Frazione di attività recettoriale residua (1): 15-30 % (in eterozigote)
- Area italiana a maggiore diffusione : Isole (Sicilia)
- Altre popolazioni in cui la mutazione è stata riscontrata: Messicani
- Altre denominazioni dell'allele: FH-Mexico-3

Principio del metodo

Viene amplificata selettivamente, dall'allele mutato, mediante PCR allele-specifica (PASA), una zona di 145 bp. A tal fine, si utilizza una coppia di *primer* in cui quello senso (allele specifico), ha all'estremità 3' un *mismatch* G/A con l'allele normale e un *mismatch* tollerato, G/G, con l'allele mutato. Il *primer* antisenso, invece, non ha alcuna specificità. Ciò consente l'annealing e l'estensione solo della sequenza mutata. L'allele normale o con una diversa mutazione non dà, invece alcuna amplificazione.

I primers utilizzati sono i seguenti:

5'-GATGAGTGTCAGGATCCCGACACCG -3' Senso allele-specifico-25nt (3) **5'-CCACCCGCCGCTTCCCGTGCTCAC -3'** Antisenso-25nt (1)

L'amplificazione allele-specifica viene evidenziata mediante elettroforesi osservando: allele *wild* => nessun amplificato, allele mutante (omo- o eterozigote) => amplificato di 145 bp.

Procedura analitica

L'amplificazione specifica di un frammento di 145 bp dell'allele mutato viene eseguita in una miscela del volume totale di 12,5 µL contenente 125 ng di DNA genomico, 2,5 pmoli di ciascuno dei *primers*, 2,5 nmoli di ciascuno dei nucleotidi trifosfati, 1 U di Taq polimerasi e 1,25 µL del suo specifico tampone 10x. La concentrazione finale di Mg⁺⁺ viene portata a 1,5 mM.

In pratica, si pipetta nella provetta di amplificazione, nell'ordine: $9,05~\mu L$ di acqua bidistillata (tale volume va modificato nel caso che reattivi o campioni impiegati abbiano concentrazioni diverse da quelle indicate di seguito), $0,25~\mu L$ di una mix dei dNTP (conc. 10 mM) $0,5~\mu L$ di una mix dei primers sopra indicati, $1,25~\mu L$ dell'apposito buffer 10x per la Taq polimerasi in uso, $0,75~\mu L$ di una soluzione 25~mM di MgCl₂ tale da portare la concentrazione finale di Mg⁺⁺ ad un valore di 1,5~mM. Si miscela vigorosamente su vortex e, dopo una rapida

centrifugata, si aggiungono 0,2 μL di Taq polimerasi (corrispondente ad 1 U di enzima). Si mescola delicatamente e si aggiungono 125 ng di DNA genomico in un volume di 0,5 μL.

Si effettua l'amplificazione mediante il seguente programma al Thermal Cycler: denaturazione di 5' a 94 °C seguita da 30 cicli (94 °C per 30''/58 °C per 30''/72 °C per 1') e da un'estensione finale di 7' a 72 °C.

La mutazione può essere evidenziata applicando direttamente 1 μ L del prodotto di amplificazione PCR su un LabChip DNA500 del Bioanalyzer (Appendice C) dalla banda di circa 145 bp che contraddistingue l'allele mutante (Figura 6).

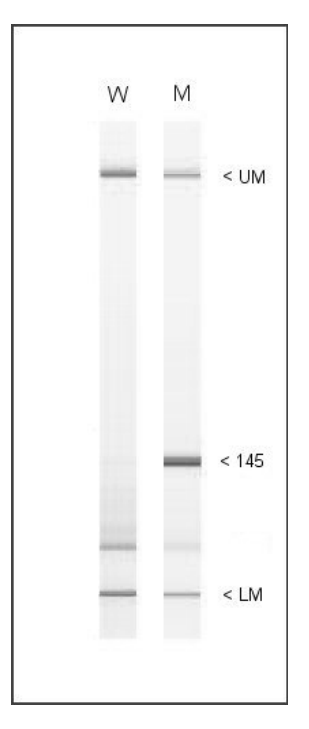


Figura 6. Applicazione della procedura descritta ad un campione di DNA estratto dal sangue di un soggetto eterozigote per la mutazione in esame (corsia M). L'amplificazione PCR dà luogo, nell'allele mutato ad un prodotto di 145 bp. Nell'allele normale (corsia W) non si osserva alcun prodotto

Riferimenti bibliografici sulla mutazione

- 1. Hobbs HH, Brown MS, Goldstein JL. Molecular Genetics of the LDL receptor gene in familial hypercholesterolemia. *Hum Mutat* 1992;1:445-66.
- 2. Garuti R, Rolleri M, Bertolini S, De Stefano F, Casarino L, Calandra S. A de novo point mutation of LDL receptor gene. *Atherosclerosis* 1997;134:67.
- 3. Cantafora A, Blotta I, Mercuri E, Calandra S, Bertolini S. Use of Allele-Specific polymerase chain reaction for detecting point mutations in LDL-receptor gene common in southern Italy. Atti del *70th European Atherosclerosis Society Congress*, Geneva, Switzerland, 6-9 September 1998. p. 69.

FH-Napoli-1 (amplificazione allele-specifica)

Informazioni sulla mutazione

- Sito della mutazione nel gene LDLR: esone 8, (Repeat B), 1135 T>C
- Mutazione aminoacido (codone): C358R, Cys358Arg (TGT->CGT)

- Effetto funzionale della mutazione: riduzione attività recettoriale
- Classe funzionale della mutazione (1): 5
- Frazione di attività recettoriale residua (1): <15-30% (omozigote)
- Area italiana a maggiore diffusione : Sud (Campania)
- Altre popolazioni in cui la mutazione è stata riscontrata: nessuna
- Altre denominazioni dell'allele: nessuna

Principio del metodo

Viene amplificata selettivamente, dall'allele mutato, mediante PCR allele-specifica (PASA) una zona di 102 bp. A tal fine, si utilizza una coppia di *primer* in cui quello senso (allele specifico), ha all'estremità 3' un *mismatch* G/A con l'allele normale e un *mismatch* tollerato, G/G, con l'allele mutato. Il *primer* antisenso, invece, non ha alcuna specificità. Ciò consente l'annealing e l'estensione solo della sequenza mutata. Se l'allele è normale o ha una diversa mutazione non si ha, invece alcuna amplificazione.

I primers utilizzati sono i seguenti:

5'-CTGGAGGGTGGCTACAAGTGCCAGG-3' Senso allele-specifico-25nt (4) **5'-CCACCCGCCGCCTTCCCGTGCTCAC -3'** Antisenso-25nt (1)

L'amplificazione allele-specifica viene evidenziata mediante elettroforesi osservando: allele *wild* => nessun amplificato, allele mutante (omo- o eterozigote) => amplificato di 102 bp.

Procedura analitica

L'amplificazione specifica di un frammento di 102 bp dell'allele mutato viene eseguita in una miscela del volume totale di 12,5 µL contenente 125 ng di DNA genomico, 2,5 pmoli di ciascuno dei *primers*, 2,5 nmoli di ciascuno dei nucleotidi trifosfati, 1 U di Taq polimerasi e 1,25 µL di tampone 10x. La concentrazione finale di Mg⁺⁺ viene portata a 1,5 mM.

In pratica, si pipetta nella provetta di amplificazione, nell'ordine: 9,05 μL di acqua bidistillata (tale volume va modificato nel caso che reattivi o campioni impiegati abbiano concentrazioni diverse da quelle indicate di seguito), 0,25 μL di una mix dei dNTP (conc. 10 mM) 0,5 μL di una mix dei *primers* sopra indicati, 1,25 μL dell'apposito buffer 10x per la Taq polimerasi in uso, 0,75 μL di una soluzione 25 mM di MgCl₂ tale da portare la concentrazione finale di Mg⁺⁺ ad un valore di 1,5 mM. Si miscela vigorosamente su vortex e, dopo una rapida centrifugata, si aggiungono 0,2 μL di Taq polimerasi (corrispondente ad 1 U di enzima). Si mescola delicatamente e si aggiungono 125 ng di DNA genomico in un volume di 0,5 μL.

Si effettua l'amplificazione mediante il seguente programma al Thermal Cycler: denaturazione di 5' a 94 °C seguita da 30 cicli (94 °C per 30''/58 °C per 30''/72 °C per 1') e da un'estensione finale di 7' a 72 °C.

L'amplificazione viene controllata al BioAnalyzer caricando 1 μ L del prodotto di amplificazione su chip DNA-500 (Appendice C).

La mutazione può essere evidenziata applicando direttamente 1 μ L del prodotto di amplificazione PCR su un LabChip DNA500 del Bioanalyzer (Appendice C) dalla banda di circa 102 bp che contraddistingue l'allele mutante.

- 1. Hobbs HH, Brown MS, Goldstein JL. Molecular Genetics of the LDL receptor gene in familial hypercholesterolemia. *Hum Mutat* 1992;1:445-66.
- 2. Bertolini S, Calandra S. Mutazioni del gene del recettore LDL responsabili di ipercolesterolemia familiare in Italia. *Arteriosclerosi News* 1994;1:11.

- 3. Varret M, Rabes JP, Collod-Beroud G, Junien C, Boileau C, Beroud C. Software and database for the analysis of mutations in the human LDL receptor gene. *Nucleic Acids Res* 1998,26:248-52.
- 4. Cantafora A, Blotta I, Mercuri E, Calandra S, Bertolini S. Use of Allele-Specific polymerase chain reaction for detecting point mutations in LDL-receptor gene common in southern Italy. Atti del *70th European Atherosclerosis Society Congress*, Geneva, Switzerland, 6-9 September 1998. p. 69.

FH-Savona

Informazioni sulla mutazione

- Sito della mutazione nel gene LDLR: esone 10, EGF spacer, 1417 ins 4
- Mutazione aminoacido (codone): I452 ins Thr+Fs 62aa.Stop
- (1418-1421 ins ACAT)
- Effetto funzionale della mutazione: riduzione attività recettoriale
- Classe funzionale della mutazione (1): non determinata
- Frazione di attività recettoriale residua (1): non determinata
- Area italiana a maggiore diffusione : Nord-Ovest (Liguria, Piemonte, Emilia)
- Altre popolazioni in cui la mutazione è stata riscontrata: Inglese
- Altre denominazioni dell'allele: FH-Parma

Principio del metodo

Viene amplificata mediante PCR una zona di 122 bp (126 bp nell'allele mutato) che include parte dell'esone 10 con la seguente coppia di *primer mismatch*:

5'-ATGACACCGTCATCAGCAGGGACGT - 3' Senso-25nt 5'-GCCCTTGGTATCCGCAACAGAGACA-3' Antisenso-25nt (1)

La mutazione, se presente, unitamente al *mismatch* introdotto dal *primer* senso, crea un sito di restrizione Rsa I (GT/AC) che dà luogo, alla formazione di due frammenti di 101 e 25 bp evidenziabili mediante elettroforesi. L'allele *wild*, invece, non dà luogo a prodotti di restrizione.

Procedura analitica

L'amplificazione specifica di un frammento di 122 bp (126 bp nell'allele mutato) viene eseguita in una miscela del volume totale di 12,5 μ L contenente 125 ng di DNA genomico, 2,5 pmoli di ciascuno dei *primers*, 2,5 nmoli di ciascuno dei nucleotidi trifosfati, 1 U di Taq polimerasi e 1,25 μ L dello specifico tampone 10x. La concentrazione finale di Mg⁺⁺ viene portata a 1,5 mM.

In pratica, si pipetta nella provetta di amplificazione, nell'ordine: 9,05 μL di acqua bidistillata (tale volume va modificato nel caso che reattivi o campioni impiegati abbiano concentrazioni diverse da quelle indicate di seguito), 0,25 μL di una mix dei dNTP (conc. 10 mM) 0,5 μL di una mix dei *primers* sopra indicati, 1,25 μL dell'apposito buffer 10x per la Taq polimerasi in uso, 0,75 μL di una soluzione 25 mM di MgCl₂ tale da portare la concentrazione finale di Mg⁺⁺ ad un valore di 1,5 mM. Si miscela vigorosamente su vortex e, dopo una rapida centrifugata, si aggiungono 0,2 μL di Taq polimerasi (corrispondente ad 1 U di enzima). Si mescola delicatamente e si aggiungono 125 ng di DNA genomico in un volume di 0,5 μL.

Si effettua l'amplificazione mediante il seguente programma al Thermal Cycler: denaturazione di 5' a 94 °C seguita da 30 cicli (94 °C per 30''/58 °C per 30''/72 °C per 1') e da un'estensione finale di 7' a 72 °C.

L'amplificazione viene controllata al BioAnalyzer caricando 1 μ L del prodotto di amplificazione su chip DNA-500 (Appendice C).

Un'aliquota di 5,3 μ L dell'amplificato è posta in una provetta Eppendorf, addizionata di 2 U (1 μ L) dell'enzima di restrizione Rsa I, di 0.7 μ L dello specifico tampone 10x. La miscela è incubata per due ore a 37°C. Successivamente si applica 1 μ L di prodotto di digestione sul Bioanalyzer, come previsto per i prodotti di amplificazione. La presenza dell'allele normale è evidenziata da una banda di circa 122 bp e quella dell'allele mutante dalla banda di 101 bp.

Riferimenti bibliografici sulla mutazione

- 1. Hobbs HH, Brown MS, Goldstein JL. Molecular Genetics of the LDL receptor gene in familial hypercholesterolemia. *Hum Mutat* 1992;1:445-66.
- 2. De Mattei S, Rolleri M, Masturzo P, Fascetti V, Elicio N, Motti C, Cortese C, Calandra S, Bertolini S. A founder-related LDL-receptor gene mutation in the Liguria region of Italy. *Atherosclerosis* 1997;134:66.
- 3. Garuti R, Rolleri M, Bertolini S, De Stefano F, Casarino L, Calandra S. A de novo point mutation of LDL receptor gene. *Atherosclerosis* 1997;134:67.
- 4. Sun XM, Patel DD, Knight BL, Soutar AK. Comparison of the genetic defect with LDL-receptor activity in cultured cells from patients with a clinical diagnosis of heterozygous familial hypercholesterolemia. The Familial Hypercholesterolemia Regression Study Group. Arterioscler *Thromb Vasc Biol* 1997;17:3092-101.
- 5. Sun XM, Patel DD, Knight BL, Soutar AK. Influence of genotype at the low density lipoprotein (LDL) receptor gene locus on the clinical phenotype and response to lipid-lowering drug therapy in heterozygous familial hypercholesterolemia. The Familial Hypercholesterolemia Regression Study Group. *Atherosclerosis* 1998;136:175-85.

FH-Reggio Emilia-1

Informazioni sulla mutazione

- Sito della mutazione nel gene LDLR: esone 10, (EGF spacer), 1439 del 11 bp:
- Mutazione aminoacido (codone): L459-51aa>Stop
- Effetto funzionale della mutazione: riduzione attività recettoriale
- Classe funzionale della mutazione (1): non determinata
- Frazione di attività recettoriale residua (1): non determinata
- Area italiana a maggiore diffusione : Nord(Emilia-Romagna)
- Altre popolazioni in cui la mutazione è stata riscontrata: nessuna
- Altre denominazioni dell'allele: nessuna

Principio del metodo

Viene amplificata mediante PCR una parte dell'esone 10 che dà luogo, in un soggetto eterozigote, ad un prodotto di 202 bp (allele normale) e ad un altro di 191 bp (allele mutato). A tal fine, si utilizza la seguente coppia di *primer*:

```
5'-AGATGAGGCTCCTGGTGCGATGCC - 3' Senso-25nt (1) 5'-GCCCTTGGTATCCGCAACAGAGACA - 3' Antisenso-25nt (1)
```

La conferma della mutazione può essere effettuata mediante digestione dei prodotti di amplificazione con l'enzima di restrizione Bam HI (G/GATCC) che dà luogo, nel gene normale e in quello mutante, a frammenti di differente lunghezza, evidenziabili mediante elettroforesi. In definitiva si avrà: allele *wild* > 135+67 bp e allele mutante >124+67 bp.

Procedura analitica

L'amplificazione di un frammento di 202 bp includente la prima parte dell'esone 10 si ottiene preparando una miscela del volume totale di 12,5 µL contenente 125 ng di DNA genomico, 2,5 pmoli di ciascuno dei *primers*, 2,5 nmoli di ciascuno dei nucleotidi trifosfati, 1 U di Taq polimerasi e 1,25 µL dello specifico tampone 10x. La concentrazione finale di Mg⁺⁺ viene portata a 1,5 mM.

In pratica, si pipetta nella provetta di amplificazione, nell'ordine: 9,05 μ L di acqua bidistillata (tale volume va modificato nel caso che reattivi o campioni impiegati abbiano concentrazioni diverse da quelle indicate di seguito), 0,25 μ L di una mix dei dNTP (conc. 10 mM) 0,5 μ L di una mix dei *primers* sopra indicati, 1,25 μ L dell'apposito buffer 10x per la Taq polimerasi in uso, 0,75 μ L di una soluzione 25 mM di MgCl₂ tale da portare la concentrazione finale di Mg⁺⁺ ad un valore di 1,5 mM. Si miscela vigorosamente su vortex e, dopo una rapida centrifugata, si aggiungono 0,2 μ L di Taq polimerasi (corrispondente ad 1 U di enzima). Si mescola delicatamente e si aggiungono 125 ng di DNA genomico in un volume di 0,5 μ L.

Si effettua l'amplificazione mediante il seguente programma al Thermal Cycler: denaturazione di 5' a 94 °C seguita da 30 cicli (94 °C per 30''/58 °C per 30''/72 °C per 1') e da un'estensione finale di 7' a 72 °C.

L'amplificazione viene controllata al BioAnalyzer caricando 1 μ L del prodotto di amplificazione su chip DNA-500 (Appendice C).

Un'aliquota di 5,3 μ L dell'amplificato è posta in una provetta Eppendorf, addizionata di 2 U (1 μ L) dell'enzima di restrizione BamHI, di 0.7 μ L dello specifico tampone 10x. La miscela è incubata per due ore a 37°C. Successivamente si applica 1 μ L di prodotto di digestione sul Bioanalyzer, come previsto per i prodotti di amplificazione. La presenza dell'allele normale è evidenziata da una banda di circa 135 bp e quella dell'allele mutante da una bana di 124 bp (Figura 7).

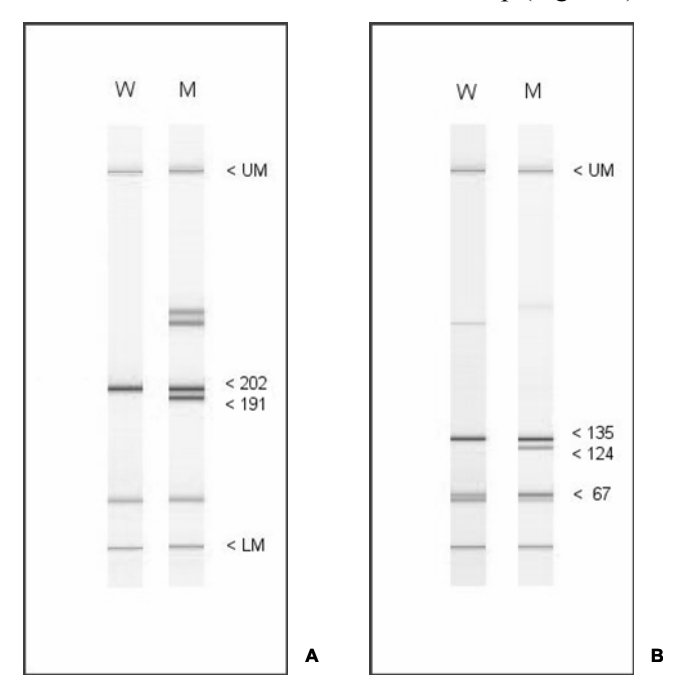


Figura 7. Applicazione della procedura descritta ad un campione di DNA estratto dal sangue di un soggetto eterozigote per la mutazione in esame (corsia M). A) L'amplificazione PCR dà luogo a due prodotti di 202 e 191 bp corrispondenti, rispettivamente, all'allele normale e a quello mutato per la delezione di 11 paia di basi (corsia M). B La digestione di questo amplificato con l'enzima BamHl dà luogo a due frammenti di 135 e 124 bp per lo spostamento del sito di restrizione, rispettivamente, nell'allele normale (corsa W) e in quello mutato (corsia M)

Riferimenti bibliografici sulla mutazione

- 1. Hobbs HH, Brown MS, Goldstein JL. Molecular Genetics of the LDL receptor gene in familial hypercholesterolemia. *Hum Mutat* 1992;1:445-66.
- 2. Garuti R, Rolleri M, Bertolini S, De Stefano F, Casarino L, Calandra S. A de novo point mutation of LDL receptor gene. *Atherosclerosis* 1997;134:67.

FH-Bari-2

Informazioni sulla mutazione

- Sito della mutazione nel gene LDLR: esone 10, (EGF spacer), 1567 G>A
- Mutazione aminoacido (codone): V502M, Val502Met (GTG->ATG)
- Effetto funzionale della mutazione: riduzione attività recettoriale
- Classe funzionale della mutazione (1): 2A
- Frazione di attività recettoriale residua (1): 15-30% (omozigote
- Area italiana a maggiore diffusione : Sud (Puglia)
- Altre popolazioni in cui la mutazione è stata riscontrata: Kuwaitiani, Olandesi,
- Coreani.
- Altre denominazioni dell'allele: FH-Kuwait

Principio del metodo

Viene amplificata mediante PCR una zona di 162 bp che include la seconda parte dell'esone 10 con la seguente coppia di *primer*:

```
5'-GATCCACAGCAACATCTACTGGACC - 3' Senso-25nt (1) 5'-AGCCCTCAGCGTCGTGGATACGCAC - 3' Antisenso-25nt (1)
```

La mutazione, se presente, introduce un ulteriore sito di restrizione Nla III (CATG/) rispetto a quello normalmente presente nell'allele normale. Ciò dà luogo, nell'allele mutante, alla formazione di tre frammenti di 120, 16 e 26 bp evidenziabili mediante elettroforesi (Figura 8). In definitiva si avrà: allele *wild*>136+26 bp e allele mutante > 120+16+26 bp.

Procedura analitica

L'amplificazione di un frammento di 162 bp comprendente la seconda parte dell'esone 10 si ottiene preparando una miscela del volume totale di 12,5 μ L contenente 125 ng di DNA genomico, 2,5 pmoli di ciascuno dei *primers*, 2,5 nmoli di ciascuno dei nucleotidi trifosfati, 1 U di Taq polimerasi e 1,25 μ L dello specifico tampone 10x. La concentrazione finale di Mg⁺⁺ viene portata a 1,5 mM.

In pratica, si pipetta nella provetta di amplificazione, nell'ordine: 9,05 μ L di acqua bidistillata (tale volume va modificato nel caso che reattivi o campioni impiegati abbiano concentrazioni diverse da quelle indicate di seguito), 0,25 μ L di una mix dei dNTP (conc. 10 mM) 0,5 μ L di una mix dei *primers* sopra indicati, 1,25 μ L dell'apposito buffer 10x per la Taq polimerasi in uso, 0,75 μ L di una soluzione 25 mM di MgCl₂ tale da portare la concentrazione finale di Mg⁺⁺ ad un valore di 1,5 mM. Si miscela vigorosamente su vortex e, dopo una rapida centrifugata, si aggiungono 0,2 μ L di Taq polimerasi (corrispondente ad 1 U di enzima). Si mescola delicatamente e si aggiungono 125 ng di DNA genomico in un volume di 0,5 μ L.

Si effettua l'amplificazione mediante il seguente programma al Thermal Cycler: denaturazione di 5' a 94 °C seguita da 30 cicli (94 °C per 30''/58 °C per 30''/72 °C per 1') e da un'estensione finale di 7' a 72 °C.

L'amplificazione viene controllata al BioAnalyzer caricando 1 μ L del prodotto di amplificazione su chip DNA-500 (Appendice C).

Un'aliquota di 5,4 μ L dell'amplificato è posta in una provetta Eppendorf, addizionata di 2 U (1 μ L) dell'enzima di restrizione Nla III, di 0.8 μ L dello specifico tampone 10x e acqua distillata fino a portare il volume a 8 μ L. La miscela è incubata per due ore a 37°C. Successivamente si applica 1 μ L di prodotto di digestione sul Bioanalyzer, come previsto per i prodotti di amplificazione. La presenza dell'allele normale è evidenziata da due bande di circa 136 e 126 bp e quella dell'allele mutante da tre bande di circa 16, 26 e 120 bp (Figura 8).

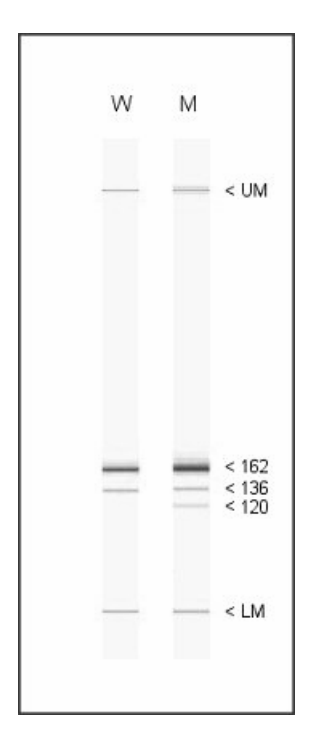


Figura 8. Applicazione della procedura descritta ad un campione di DNA estratto dal sangue di un soggetto eterozigote per la mutazione in esame (corsia M). L'amplificazione PCR dà luogo ad un prodotto di 162 bp che, nell'allele normale (corsia W), si scinde per effetto dell'enzima di restrizione Nla III in due frammenti di 136 e 26 bp. Nell'allele mutato (corsia M), invece, per la presenza di un ulteriore sito di restrizione si osservano tre bande di 162,136 e 120 bp

- 1. Hobbs HH, Russel DW, Brown MS, Goldstein JL. The LDL receptor locus in familial hypercholesterolemia: mutational analysis of a membrane protein. *Ann Rev Genet* 1990;24:133-70.
- 2. Hobbs HH, Brown MS, Goldstein JL. Molecular Genetics of the LDL receptor gene in familial hypercholesterolemia. *Hum Mutat* 1992;1:445-66.
- 3. Bertolini S, Calandra S. Mutazioni del gene del recettore LDL responsabili di ipercolesterolemia familiare in Italia. *Arteriosclerosi News* 1994;1:11.
- 4. Lombardi, P, Sijbrands EJ, Van De Giessen K, Smelt AH, Kastelein JJ, Frants RR, Havekes LM, Mutations in the low density lipoprotein receptor gene of familial hypercholesterolemic patients detected by denaturing gradient gel electrophoresis and direct sequencing. *J Lipid Res* 1995;360:860-7.

- 5. Varret M, Rabes JP, Collod-Beroud G, Junien C, Boileau C and Beroud C. Software and databases for the analysis of mutations in the human LDL receptor gene. *Nucleic Acids Res* 1997;25:172-80.
- 6. Fascetti V, Rolleri M, Guido V, Trovatello G, Masturzo P, Garuti R, Motti C, Cortese C, Cantafora A, Calandra S, Bertolini S. FH clusters in southern Italy. *Atherosclerosis* 1997;135(Suppl 1):S12.

FH-Palermo-1 (amplificazione allele-specifica)

Informazioni sulla mutazione

- Sito della mutazione nel gene LDLR: esone 11, (EGF spacer),1646 G>A
- Mutazione aminoacido (codone): G528D, Gly528Asp (GGT->GAT)
- Effetto funzionale della mutazione: riduzione attività recettoriale
- Classe funzionale della mutazione (1): 2A
- Frazione di attività recettoriale residua (1): <2% (in omozigote)
- Area italiana a maggiore diffusione : Campania, Sicilia (2)
- Altre popolazioni in cui la mutazione è stata riscontrata: Greci (3)
- Altre denominazioni dell'allele: FH-Genoa (1,3)

Principio del metodo

Viene amplificata selettivamente, dall'allele mutato, mediante PCR allele-specifica (PASA) una zona di 109 bp. A tal fine, si utilizza una coppia di *primer* in cui quello senso (allele specifico), ha all'estremità 3' un *mismatch* C/C con l'allele normale e un *mismatch* C/T con l'allele mutato. Il *primer* antisenso, invece, non ha alcuna specificità. Ciò consente l'annealing e l'estensione della sequenza mutata. Se l'allele è normale o ha una diversa mutazione non si ha, invece alcuna amplificazione.

I primers utilizzati sono i seguenti:

```
5'-AGATCAAGAAAGGGGGCCTGAATGC -3' Senso-25nt (6) 5'-TGGGACGGCTGTCCTGCGAACATAC -3' Antisenso-25nt (1)
```

L'amplificazione allele-specifica viene evidenziata mediante elettroforesi osservando: allele *wild* => nessun amplificato, allele mutante (omo- o eterozigote) => amplificato di 109 bp.

Procedura analitica

La miscela per l'amplificazione specifica di un frammento di 109 bp dell'allele mutato viene eseguita in una miscela del volume totale di 12,5 μ L contenente 125 ng di DNA genomico, 2,5 pmoli di ciascuno dei *primers*, 2,5 nmoli di ciascuno dei nucleotidi trifosfati, 1 U di Taq polimerasi e 1,25 μ L dello specifico tampone 10x. La concentrazione finale di Mg⁺⁺ viene portata a 1,5 mM.

In pratica, si pipetta nella provetta di amplificazione, nell'ordine: 9,05 μ L di acqua bidistillata (tale volume va modificato nel caso che reattivi o campioni impiegati abbiano concentrazioni diverse da quelle indicate di seguito), 0,25 μ L di una mix dei dNTP (conc. 10 mM) 0,5 μ L di una mix dei *primers* sopra indicati, 1,25 μ L dell'apposito buffer 10x per la Taq polimerasi in uso, 0,75 μ L di una soluzione 25 mM di MgCl₂ tale da portare la concentrazione finale di Mg⁺⁺ ad un valore di 1,5 mM. Si miscela vigorosamente su vortex e, dopo una rapida centrifugata, si aggiungono 0,2 μ L di Taq polimerasi (corrispondente ad 1 U di enzima). Si mescola delicatamente e si aggiungono 125 ng di DNA genomico in un volume di 0,5 μ L.

Si effettua l'amplificazione mediante il seguente programma al Thermal Cycler: denaturazione di 5' a 94 °C seguita da 30 cicli (94 °C per 30''/58 °C per 30''/72 °C per 1') e da un'estensione finale di 7' a 72 °C.

La mutazione può essere evidenziata applicando direttamente $1~\mu L$ del prodotto di amplificazione PCR su un LabChip DNA500 del Bioanalyzer (Appendice C) dalla banda di circa 109 bp per l'allele mutato (Figura 9).

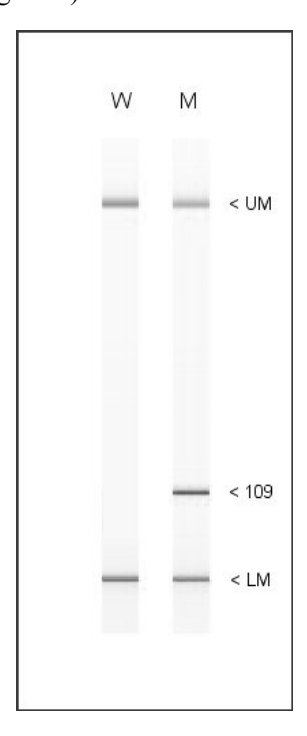


Figura 9. Applicazione della procedura descritta ad un campione di DNA estratto dal sangue di un soggetto eterozigote per la mutazione in esame (corsia M). L'amplificazione PCR dà luogo, nell'allele mutato ad un prodotto di 109 bp che non viene osservato nel campione normale (corsia W)

- 1. Hobbs HH, Russel DW, Brown MS, Goldstein JL. The LDL receptor locus in familial hypercholesterolemia: mutational analysis of a membrane protein. *Ann Rev Genet* 1990;24:133-70.
- 2. Hobbs HH, Brown MS, Goldstein JL. Molecular Genetics of the LDL receptor gene in familial hypercholesterolemia. *Hum Mutat* 1992;1:445-66.
- 3. Bertolini S, Calandra S. Mutazioni del gene del recettore LDL responsabili di ipercolesterolemia familiare in Italia. *Arteriosclerosi News* 1994;1:11.
- Traeger-Synodinos J, Mavroidis N, Kanavakis E, Drogari E, Humphries SE, Day IN, Kattamis C, Matsaniotis N. Analysis of low density lipoprotein receptor gene mutations and microsatellite haplotypes in Greek FH heterozygous children: six independent ancestors account for 60% of probands. *Hum Genet* 1998;102(3):343-7.
- 5. Varret M, Rabes JP, Collod-Beroud G, Junien C, Boileau C and Beroud C. Software and databases for the analysis of mutations in the human LDL receptor gene. *Nucleic Acids Res* 1997;25:172-80.

- Fascetti V, Rolleri M, Guido V, Trovatello G, Masturzo P, Garuti R, Motti C, Cortese C, Cantafora A, Calandra S, Bertolini S. FH clusters in southern Italy. *Atherosclerosis* 1997;135(Suppl 1):S12.
- 7. Cantafora A, Blotta I, Mercuri E, Calandra S, Bertolini S. Simple detection of a point mutation in LDL receptor gene causing familial hypercholesterolemia in southern Italy by allele-specific polymerase chain reaction. *Journal of Lipid Research* 1998;39:1101-5.

FH-Napoli-4

Informazioni sulla mutazione

- Sito della mutazione nel gene LDLR: esone 12, EGF spacer, 1775 G>A
- Mutazione aminoacido (codone): G571E, Gly571Glu (GGG->GAG)
- Effetto funzionale della mutazione: riduzione attività recettoriale
- Classe funzionale della mutazione (1): 5
- Frazione di attività recettoriale residua (1): 5-15% (eterozigote)
- Area italiana a maggiore diffusione : Sud (Basilicata, Campania, Puglia)
- Altre popolazioni in cui la mutazione è stata riscontrata: Tedeschi, Austriaci, Belgi.
- Altre denominazioni dell'allele: FH-Sicily; FH-Foggia

Principio del metodo

Viene amplificata mediante PCR una zona di 130 bp che include parte dell'esone 12 con la seguente coppia di *primer mismatch*:

5'-GCACGTGACCTCTCCTTATCCACTT - 3' Senso-25nt (1) **5'-CTCCAAGATGGTCTTCCGGTAGGCC - 3'** Antisenso-25nt

La mutazione, se presente, unitamente al *mismatch* introdotto dal *primer* antisenso, crea un sito di restrizione Stu I (AGG/CCT) che dà luogo, nell'allele mutante, alla formazione di due frammenti di 107 e 23 bp evidenziabili mediante elettroforesi. L'allele *wild*, invece, non dà luogo a prodotti di restrizione.

Procedura analitica

L'amplificazione di un frammento di 130 bp che include parte dell'esone 12 si ottiene preparando una miscela del volume totale di 12,5 μ L contenente 125 ng di DNA genomico, 2,5 pmoli di ciascuno dei *primers*, 2,5 nmoli di ciascuno dei nucleotidi trifosfati, 1 U di Taq polimerasi e 1,25 μ L dello specifico tampone 10x. La concentrazione finale di Mg⁺⁺ viene portata a 1,5 mM.

In pratica, si pipetta nella provetta di amplificazione, nell'ordine: $9,05~\mu L$ di acqua bidistillata (tale volume va modificato nel caso che reattivi o campioni impiegati abbiano concentrazioni diverse da quelle indicate di seguito), $0,25~\mu L$ di una mix dei dNTP (conc. 10~mM) $0,5~\mu L$ di una mix dei *primers* sopra indicati, $1,25~\mu L$ dell'apposito buffer 10x per la Taq polimerasi in uso, $0,75~\mu L$ di una soluzione 25~mM di MgCl₂ tale da portare la concentrazione finale di Mg⁺⁺ ad un valore di 1,5~mM. Si miscela vigorosamente su vortex e, dopo una rapida centrifugata, si aggiungono $0,2~\mu L$ di Taq polimerasi (corrispondente ad 1~U di enzima). Si mescola delicatamente e si aggiungono 125~ng di DNA genomico in un volume di $0,5~\mu L$.

Si effettua l'amplificazione mediante il seguente programma al Thermal Cycler: denaturazione di 5' a 94 °C seguita da 30 cicli (94 °C per 30''/58 °C per 30''/72 °C per 1') e da un'estensione finale di 7' a 72 °C.

L'amplificazione viene controllata al BioAnalyzer caricando 1 μ L del prodotto di amplificazione su chip DNA-500 (Appendice C).

Un'aliquota di 5,3 μ L dell'amplificato è posta in una provetta Eppendorf, addizionata di 2 U (1 μ L) dell'enzima di restrizione Stu I, di 0.7 μ L dello specifico tampone 10x. La miscela è incubata per due ore a 37°C. Successivamente si applica 1 μ L di prodotto di digestione sul Bioanalyzer, come previsto per i prodotti di amplificazione. La presenza dell'allele normale è evidenziata da una banda di circa 130 e quella dell'allele mutante da due bande di circa 107 e 23 bp.

Riferimenti bibliografici sulla mutazione

- 1. Hobbs HH, Brown MS, Goldstein JL. Molecular Genetics of the LDL receptor gene in familial hypercholesterolemia. *Hum Mutat* 1992;1:445-66.
- 2. Bertolini S, Calandra S. Mutazioni del gene del recettore LDL responsabili di ipercolesterolemia familiare in Italia. *Arteriosclerosi News* 1994;1:11.
- 3. Varret M, Rabes JP, Collod-Beroud G, Junien C, Boileau C and Beroud C. Software and databases for the analysis of mutations in the human LDL receptor gene. *Nucleic Acids Res* 1997;25:172-80.
- 4. Fascetti V, Rolleri M, Guido V, Trovatello G, Masturzo P, Garuti R, Motti C, Cortese C, Cantafora A, Calandra S, Bertolini S. FH clusters in southern Italy. *Atherosclerosis* 1997;135(Suppl 1):S12.

FH-Frosinone-1

Informazioni sulla mutazione

- Sito della mutazione nel gene LDLR: esone 14, Repeat C, 2054 C>T
- Mutazione aminoacido (codone): P664L, Pro664Leu (CCG->CTG)
- Effetto funzionale della mutazione: riduzione attività recettoriale
- Classe funzionale della mutazione (1): 2B
- Frazione di attività recettoriale residua (1): 5-30% (omozigote)
- Area italiana a maggiore diffusione : Centro (Lazio)
- Altre popolazioni in cui la mutazione è stata riscontrata: diffusa in tutto il
- Altre denominazioni dell'allele: FH-Gujerat

Principio del metodo

Viene amplificata mediante PCR una zona di 203 bp che include l'esone 14 con la seguente coppia di *primer*:

```
5'-CCTGACTCCGCTTCTTCTGCCCCAG - 3' Senso-25nt (3) 5'-CGCAGAAACAAGGCGTGTGCCACAC - 3' Antisenso-25nt (3)
```

La mutazione, se presente, introduce un sito di restrizione Pst I (CTGCA/C) che dà luogo nell'allele mutante, alla formazione di due frammenti di 108 e 95 bp evidenziabili mediante elettroforesi su gel. L'allele *wild*, invece, non dà luogo a prodotti di restrizione.

Procedura analitica

L'amplificazione di un frammento di 203 bp che include l'esone 14 si ottiene preparando una miscela del volume totale di 12,5 μ L contenente 125 ng di DNA genomico, 2,5 nmoli di ciascuno dei nucleotidi trifosfati, 1 U di Taq polimerasi e 1,25 μ L dello specifico tampone 10x. La concentrazione finale di Mg⁺⁺ viene portata a 1,5 mM.

In pratica, si pipetta nella provetta di amplificazione, nell'ordine: 9,05 µL di acqua bidistillata (tale volume va modificato nel caso che reattivi o campioni impiegati abbiano

concentrazioni diverse da quelle indicate di seguito), 0,25 μL di una mix dei dNTP (conc. 10 mM) 0,5 μL di una mix dei *primers* sopra indicati, 1,25 μL dell'apposito buffer 10x per la Taq polimerasi in uso, 0,75 μL di una soluzione 25 mM di MgCl₂ tale da portare la concentrazione finale di Mg⁺⁺ ad un valore di 1,5 mM. Si miscela vigorosamente su vortex e, dopo una rapida centrifugata, si aggiungono 0,2 μL di Taq polimerasi (corrispondente ad 1 U di enzima). Si mescola delicatamente e si aggiungono 125 ng di DNA genomico in un volume di 0,5 μL.

Si effettua l'amplificazione mediante il seguente programma al Thermal Cycler: denaturazione di 5' a 94 °C seguita da 30 cicli (94 °C per 30''/58 °C per 30''/72 °C per 1') e da un'estensione finale di 7' a 72 °C.

L'amplificazione viene controllata al BioAnalyzer caricando 1 μ L del prodotto di amplificazione su chip DNA-500 (Appendice C).

Un'aliquota di 5,4 μ L dell'amplificato è posta in una provetta Eppendorf, addizionata di 2 U (1 μ L) dell'enzima di restrizione Pst I, di 0.8 μ L dello specifico tampone 10x e acqua distillata fino a portare il volume a 8 μ L. La miscela è incubata per due ore a 37°C. Successivamente si applica 1 μ L di prodotto di digestione sul Bioanalyzer, come previsto per i prodotti di amplificazione. La presenza dell'allele normale è evidenziata da una banda di circa 203 bp e quella dell'allele mutante da due bande di circa 108 e 95 bp.

Riferimenti bibliografici sulla mutazione

- 1. Soutar AK, Knight BL, Pate DD. Identification of a point mutation in growth factor repeat C of the low density lipoprotewin-receptor gene in a patient with homozygous familial hypercholesterolemia that affect ligand binding and intracellular movement of receptors. *Proc Natl Acad Sci USA* 1989;86:4166-70.
- 2. King Underwood L, Gudnason V, Humphries S, Seed M, Patel DD, Knight BL, Soutar AK. Identification of the 664 proline to leucine mutation in the low density lipoprotein receptor in four unrelated patients with famillial hypercholesterolemia in the UK. *Clin Genet* 1991;40:17-28.
- 3. Hobbs HH, Brown MS, Goldstein JL. Molecular Genetics of the LDL receptor gene in familial hypercholesterolemia. *Hum Mutat* 1992;1:445-66.
- 4. Bertolini S, Calandra S. Mutazioni del gene del recettore LDL responsabili di ipercolesterolemia familiare in Italia. *Arteriosclerosi News* 1994;1:11.
- 5. Varret M, Rabes JP, Collod-Beroud G, Junien C, Boileau C and Beroud C. Software and databases for the analysis of mutations in the human LDL receptor gene. *Nucleic Acids Res* 1997;25:172-80.

FH-Mondovì

Informazioni sulla mutazione

- Sito della mutazione nel gene LDLR: esone 15, OLS, 2308 C>T
- Mutazione aminoacido (codone): G749Stop,Gly749Stop (CAA->TAA)
- Effetto funzionale della mutazione: riduzione attività recettoriale
- Classe funzionale della mutazione (1): non determinata
- Frazione di attività recettoriale residua (1): non determinata
- Area italiana a maggiore diffusione : Nord
- Altre popolazioni in cui la mutazione è stata riscontrata: nessuna
- Altre denominazioni dell'allele: nessuna

Principio del metodo

Viene amplificata mediante PCR una zona di 246 bp che include l'esone 15 con la seguente coppia di *primer*:

5'-GAAGGGCCTGCAGGCACGTGGCACT - 3' Senso-25nt (1) **5'-GTGTGGGGGCCCAGTCTTTAC - 3'** Antisenso-25nt (1)

La mutazione, se presente, introduce un sito di restrizione Dde I (C/TNAG) che si aggiunge a quello già presente nell'allele *wild*. Ciò dà luogo alla formazione di 3 frammenti di 29, 54 e 163 bp evidenziabili mediante elettroforesi.

In definitiva si avrà: allele *wild*>192+54 bp e allele mutante > 163+54+29bp.

Procedura analitica

L'amplificazione di un frammento di 246 bp che include l'esone 15 si ottiene preparando una miscela del volume totale di 12,5 μ L contenente 125 ng di DNA genomico, 2,5 nmoli di ciascuno dei nucleotidi trifosfati, 1 U di Taq polimerasi e 1,25 μ L dello specifico tampone 10x. La concentrazione finale di Mg⁺⁺ viene portata a 1,5 mM.

In pratica, si pipetta nella provetta di amplificazione, nell'ordine: 9,05 μL di acqua bidistillata (tale volume va modificato nel caso che reattivi o campioni impiegati abbiano concentrazioni diverse da quelle indicate di seguito), 0,25 μL di una mix dei dNTP (conc. 10 mM) 0,5 μL di una mix dei *primers* sopra indicati, 1,25 μL dell'apposito buffer 10x per la Taq polimerasi in uso, 0,75 μL di una soluzione 25 mM di MgCl₂ tale da portare la concentrazione finale di Mg⁺⁺ ad un valore di 1,5 mM. Si miscela vigorosamente su vortex e, dopo una rapida centrifugata, si aggiungono 0,2 μL di Taq polimerasi (corrispondente ad 1 U di enzima). Si mescola delicatamente e si aggiungono 125 ng di DNA genomico in un volume di 0,5 μL.

Si effettua l'amplificazione mediante il seguente programma al Thermal Cycler: denaturazione di 5' a 94 °C seguita da 30 cicli (94 °C per 30''/58 °C per 30''/72 °C per 1') e da un'estensione finale di 7' a 72 °C.

L'amplificazione viene controllata al BioAnalyzer caricando 1 μ L del prodotto di amplificazione su chip DNA-500 (Appendice C).

Un'aliquota di 5,4 μ L dell'amplificato è posta in una provetta Eppendorf, addizionata di 2 U (1 μ L) dell'enzima di restrizione Dde I, di 0.8 μ L dello specifico tampone 10x e acqua distillata fino a portare il volume a 8 μ L. La miscela è incubata per due ore a 37°C. Successivamente si applica 1 μ L di prodotto di digestione sul Bioanalyzer, come previsto per i prodotti di amplificazione. La presenza dell'allele normale è evidenziata da due bande di circa 192 e 54 bp e Quella dell'allele mutante da tre bande di circa 163, 54 e 29 bp.

Riferimenti bibliografici sulla mutazione

- 1. Hobbs HH, Brown MS, Goldstein JL. Molecular Genetics of the LDL receptor gene in familial hypercholesterolemia. *Hum Mutat* 1992;1:445-66.
- 2. Bertolini S, Calandra S. Mutazioni del gene del recettore LDL responsabili di ipercolesterolemia familiare in Italia. *Arteriosclerosi News* 1994;1:11.

FH-Benevento

Informazioni sulla mutazione

- Sito della mutazione nel gene LDLR: introne 15, OLS, 2311+1 G>A
- Mutazione aminoacido (codone): Introne 15 (G>A)

- Effetto funzionale della mutazione: riduzione attività recettoriale
- Classe funzionale della mutazione (1): non determinata
- Frazione di attività recettoriale residua (1): non determinata
- Area italiana a maggiore diffusione : Sud (Campania, Puglia)
- Altre popolazioni in cui la mutazione è stata riscontrata: nessuna
- Altre denominazioni dell'allele: nessuna

Principio del metodo

Viene amplificata mediante PCR una zona di 334 bp che include parte dell'esone 15 con la seguente coppia di *primer*:

5'-CGTAAGGACACAGCACAAC - 3' Senso-21nt (3) 5'-GGACCTGGCCCCTCATATGAT - 3' Antisenso-21nt (3)

La mutazione, se presente, elimina uno dei due siti di restrizione Sty I (C/CWWGG) che danno luogo, nell'allele *wild*, alla formazione di 3 frammenti di 217,105 e 22 bp evidenziabili mediante elettroforesi.

In definitiva si avrà: allele wild = >217+105+22 bp e allele mutante = >217+127 bp.

Procedura analitica

L'amplificazione di un frammento di 334 bp che include parte dell'esone 15 si ottiene preparando una miscela del volume totale di 12,5 μ L contenente 125 ng di DNA genomico, 2,5 nmoli di ciascuno dei nucleotidi trifosfati, 1 U di Taq polimerasi e 1,25 μ L dello specifico tampone 10x. La concentrazione finale di Mg⁺⁺ viene portata a 1,5 mM.

In pratica, si pipetta nella provetta di amplificazione, nell'ordine: 9,05 μ L di acqua bidistillata (tale volume va modificato nel caso che reattivi o campioni impiegati abbiano concentrazioni diverse da quelle indicate di seguito), 0,25 μ L di una mix dei dNTP (conc. 10 mM) 0,5 μ L di una mix dei *primers* sopra indicati, 1,25 μ L dell'apposito buffer 10x per la Taq polimerasi in uso, 0,75 μ L di una soluzione 25 mM di MgCl₂ tale da portare la concentrazione finale di Mg⁺⁺ ad un valore di 1,5 mM. Si miscela vigorosamente su vortex e, dopo una rapida centrifugata, si aggiungono 0,2 μ L di Taq polimerasi (corrispondente ad 1 U di enzima). Si mescola delicatamente e si aggiungono 125 ng di DNA genomico in un volume di 0,5 μ L.

Si effettua l'amplificazione mediante il seguente programma al Thermal Cycler: denaturazione di 5' a 94 °C seguita da 30 cicli (94 °C per 30''/58 °C per 30''/72 °C per 1') e da un'estensione finale di 7' a 72 °C.

L'amplificazione viene controllata al BioAnalyzer caricando 1 μL del prodotto di amplificazione su chip DNA-500 (Appendice C).

Un'aliquota di 5,4 μ L dell'amplificato è posta in una provetta Eppendorf, addizionata di 2 U (1 μ L) dell'enzima di restrizione Sty I, di 0.8 μ L dello specifico tampone 10x e acqua distillata fino a portare il volume a 8 μ L. La miscela è incubata per due ore a 37°C. Successivamente si applica 1 μ L di prodotto di digestione sul Bioanalyzer, come previsto per i prodotti di amplificazione. La presenza dell'allele normale è evidenziata da tre bande di circa 217, 105 e 22 bp e quella dell'allele mutante da due bande di circa 217 e 127 bp.

- 1. Hobbs HH, Brown MS, Goldstein JL. Molecular Genetics of the LDL receptor gene in familial hypercholesterolemia. *Hum Mutat* 1992;1:445-66.
- 2. Bertolini S, Calandra S. Mutazioni del gene del recettore LDL responsabili di ipercolesterolemia familiare in Italia. *Arteriosclerosi News* 1994;1:11.

- 3. Lelli N, Garuti R, Ghisellini M, Tiozzo R, Rolleri M, Aimale V, Ginocchio E, Naselli A, Bertolini S, Calandra S. Occurrence of multiple aberrantly spliced mRNA of LDL-receptor gene upon a donor splice site mutation that causes familial hypercholesterolemia (FH Benevento). *J Lipid Res* 1995;36:1315-24.
- 4. Garuti R, Rolleri M, Bertolini S, De Stefano F, Casarino L, Calandra S. A de novo point mutation of LDL receptor gene. *Atherosclerosis* 1997;134:67.
- 5. Bertolni S, Cassanelli S, Garuti R, Ghisellini M, Simone ML, Rolleri M, Masturzo P, Calandra S. Analysis of LDL receptor gene mutations in Italian patients with homozygous familial hypercholesterolemia. *Atherosclerosis* 1999,19:408-18.

APPENDICE A

Sequenza del gene LDLR dedotta dal confronto BLAT (http://www.UCSC.edu) tra la sequenza del cromosoma 19 (Assembly May 2004) e la sequenza del messaggero NM 000527 (http://www.ncbi.nlm.nih.gov)

Cromosoma 19: dal nucleotide 11061132 al 11105490

ctcctcctct	tgcagtgagg	tgaagacatt	tgaaaatcac	cccactgcaa	11061081	
actcctcccc	ctgctagaaa	cctcacattg	aaatgctgta	aatgacgtgg	11061131	ESONE
GCCCCGAGTG	CAATCGCGGG	AAGCCAGGGT	TTCCAGCTAG	GACACAGCAG	11061181	1
GTCGTGATCC	${\tt GGGTCGGGAC}$	ACTGCCTGGC	AGAGGCTGCG	AGCATGGGGC	11061231	Start
CCTGGGGCTG	GAAATTGCGC	TGGACCGTCG	CCTTGCTCCT	CGCCGCGGCG	11061281	Codon
				tgagagggag		
				ataatcactc		
				cccaaacggc		
				ggtcgggagg		
				caagtctcca		
				tctgtcgccc		
				tccgcctccc		
				gggattacag		
				tagagacggg		
				caggtgatct		
				cggccgggac		
				cctaaaacaa		
aggatcactc	ccaccccac	cttaagtcct	tctagaaaca	agggcgactg	11061931	
gagaccccca	tatccaacct	agaggtcacc	acadactcaa	gggtcccgat	11061981	
				tgggtgcagt		
				ctcccgcccc		
				tgtagtccaa		
				ggtggaggcg		
				gcggggctgg		
				tgcaggggag		
				caagtcccgg		
				cgttatcctg		
				ggcgacacct		
				gccccgatca		
				tccttacgag		
				ctgcagccga		
				cccctgggg		
				gctgtccaag		
				tttccacaag		
				tggctttaaa		
				atggcccttt		
				tgcctgatga		
				gggttggctt		
				tgtaactaac		
				gtaatgaaat		
				tttaactttt		
				gaactcctgg		
				gattacagga		
				acattctgcc		
				gtatctcact		
				tcttaggcaa		
ggccttgttt	gttcatcact	ttagtttctc	tctcccggga	tggctgagaa	TT063381	

```
tgtgatgttt cctctgttgt caaggagact acacccctga tgttttcctc 11063431
cagacttctg agagctggtg tgtgtttcta gcactttcta gctgcaccac 11063481
ctcacgctgt agctggcttc aaggcatatc caggggggag tttcttgtcc 11063531
atttccttta caaagggaag ttgttggaat ctgaaccgca agccttcact 11063581
tagaccaaaa tcaggcaaca gcggtgagcg cagctccaaa cgtgtcaatg 11063631
actcacccaa atttgagtaa gggagttggc tgctttaacg agccgcaggg 11063681
tgattccctt gtcatttccg gaaataccta tcttccaggg aacactggga 11063731
aaaaacaggg agacctttgt tgagacagaa aacctgtagg ggaattctgt 11063781
tcctcattcc tgctcttatc tgtagacttc ctccctgata agatccaatt 11063831
ctagatgggt cggttgctcc ttgctttgat gggtgctttg atgggcttta 11063881
ttattattat tattattatt attattatt tgatgggctt tttgatgtcc 11063931
cttttccttc cacactctgt cccaactgtc aagcaaatag ccttttgttg 11063981
ctaagagact gcagatgtaa ccgaccagca gcaaacagtg agtcaggctc 11064031
tctcttccgg aagcaaaatc aattgctgag atcactctgg ggaaaatacc 11064081
caccttattt ggaaagaagc actgatcaat tgatgtctat ttttttttt 11064131
tttgagttgg agtctcgccc tgtcacccag gctggagtgc aatggcataa 11064181
tctcgcctca ctgcaatccc cgcctcccgg gttccagcaa ttctcctgcc 11064231
tcagcctcct gagtagctgg aattataggc gcctgccaca acacccggct 11064281
aatttttgta tttgtagtag agatggggtt tcaccacgtt ggccaggctg 11064331
gtctcgaact cctgacctcg tgatccaccc gcctcagcct cccaaagtcc 11064381
aaggattgca ggcgtgaccc actgtgccag ccaatcaatt gatttctcat 11064431
tcattttcag ctggctctgt tcccttaagc caggggattt tcgtttgttt 11064481
gtttcccctt caaggaaatg attctagcta cagttttgat ttccttgtac 11064531
aactgttttc agtagcacag ggaaagaaaa catcgaaagc attcaccacc 11064581
tcatttgtgt gctgggggaa aaagcagaaa tgtgtattct ctttttttgt 11064631
ttcgatgacc ttgttcctga cttgttactc gtgacttgag agatcagagg 11064681
gctagaggac tagaatttat agaggtgttt tttttgtttg tttatttttg 11064731
ttcgagttgc ccaggctgga gtgcagtggc gcaatctcgg ctcactgcaa 11064781
cctctgcctc ccaggttcaa gcgattcttc ggcctcagcc tcctgagtag 11064831
ctggaactac aggcgcccgc caccacaccc agctaatttt tgtatttttc 11064881
agtagagatg ggatttcacc atattggtca agctggcctc gaactcctga 11064931
cctcgtgatc cacccgcctc agtttcccaa agtgctggga gtacaggcgt 11064981
gagccgccgt gcccggcctt tttgtgtttt tgtgtttttg agaggagctc 11065031
attgettttt aggetteeet agegtgagaa aatetgggga tecatgetet 11065081
agtttacttc ctttttttt tttttttga gatggagtct cgcttagatt 11065131
gcctaatctc agctcattgc aacttctgcc tccggggttc aagggattct 11065181
cgtgtctcag cctcctgggt agctaggata cgggcacccg ctaccatgcc 11065231
tggctaattt tgtactttta gtagagacag ggtttcgcca cgttggccag 11065281
gctggtctcg aactcctgac ctcaggtgag ccgcctgcct tggcctccca 11065331
aagtgctgag attacaggcg tgagccaccg cgcttggcct aatttgcttt 11065381
tcctgaaatt caaatggtct aatatgaaaa acgccaacct tgcttgaaag 11065431
aataagaaag aggtgcggtt tcgttgggcc gttgatgttt ggaacaggac 11065481
tggttttgtc cccttgctcg gaaagggcag caactgtgag gacagctccc 11065531
tgacgtgctc tcactcagca ctgttccgtt cctgagcact gtccccacta 11065581
gctaggccaa gggagctcat ttggcaggca actgctgtct ggctgcgcct 11065631
gtggcagtaa aatctgcctt tattttttgg aggcagggtc ttgccctgtc 11065681
gctcaggctg aagtgtgcag ttatagctca ctgcagcctc cagcttctgt 11065731
actcaactga teeteetete teageeteet gagtagetgg gactataege 11065781
acgtgttacc actcccacct cagtttgttt gtttatttat ttatttattt 11065831
atttattgag atggagtttt gctcttgctg cccaggctgg agtgcaatgg 11065881
cgcgatctcg gctcaccgca acctccacct cctggttcaa gcgattctcc 11065931
tgcctcagcc tcctgagtag ctgggattac aggcatgcac caccacgccc 11065981
ggctaatttt gtatttttcg tagagatggg gtttctccac attggttcag 11066031
gctgttctcg aactcccaac ctcaggtgat ccacccgcct cagcctccca 11066081
aagtgctggg attataggcg tgagcccccg aacccggcca ctcccagcta 11066131
agtttaaatt ttttgtttgt ttgttcgttt gtttttattt tttgagacag 11066181
agtetecege ceaggetgga gegeagatea etgeateett gaeeteeeag 11066231
gcttaagcca tcctccccac tcagcctccc aagtagctgg gattacaggt 11066281
gtgtgccact atgcttggct aagttgtgta ttttttgtag agatggggtt 11066331
caagggattc tcgctttgtt gcctcggttg gtctcaaact cctgggctca 11066381
agcagtcctc cctcctcagc ctcccaaggt gctggggaaa tccacttttg 11066431
```

```
aaacattgtc tggagagttg cccaggtggt agatcacaga aataggtcat 11066481
cgtggggtcc ttcccatggg tgcagtcttg agccacctgt ggccagcaaa 11066531
tatttggaga ataatagtca ggggagagct tgaggtccag ggaaaggttt 11066581
tgtttttctt cagggaaagg tttttattgt tctttatccc tccttaaagg 11066631
accttcaggt gttactgaca ttcccggtct acccagtggc acatttagtt 11066681
tgtaagctgg gccctcgtac agaggtaggg aggtgagagc attggattag 11066731
tggtcaccaa agctgcggtc acctagtggg gtgatcagag gctcctccct 11066781
taagatettg attgccaacg cetetggeec aacttteett tttatttate 11066831
gcaagcctcc tggaatctca attgcttttt gcccacccgg tgtgtcagca 11066881
caagaaatga gtcatttcct cctttaagca cagttgaaat tgagctgtga 11066931
gtcagtgagg tgtgtacgat attgtcaaag cggggtgtgt acagtattga 11066981
cagatctgta gttgggcaag agaattatca gagtttgtga ccacagcaga 11067031
ttccaaagct cgactcattt tcttctctt tccttccctt ttttcttttc 11067081
ttttttttt ttttttgac agagtctcgc tctgttgccc aggctggagt 11067131
gcagtggcac aatctgggct cactgcagcc cctgcctcct gggttcaaat 11067181
gatteteatg ttteageete eegagtaget geaattaeag geattegggt 11067231
tcaagtgatt ctcctgcctc agccacctga gcagctggga ttacaggcgc 11067281
ccgccaccac gcccggctaa tttttgtatt tttagtagag acggggtttc 11067331
accatgttgg ccaggctggt ctcgaactcc tgaactcagg tgatccgccc 11067381
acttcggcct cccaaagtgc tgagattaca gacgtgagtc accgcgccca 11067431
gcctgttctg ttctttaatt ctcaaaacac cctctaggaa gtagagactg 11067481
ccattctccc ccattttaca gatcaggaaa ctgagtccca gaaggattta 11067531
gtcagttacc caagttgttc tagttaaatg gcctggaaag ccagtgaagc 11067581
ccaggattgt ctatctaacc cccttactac tctaactttc agggaatcca 11067631
catgaatgtg ctgggtcaac catcaaagtt gaaatggata aagggggctg 11067681
gatgcggtgg ctgatgcctg taatcctagc actttgggag gccgagatgg 11067731
gtgggtggat tgcttgagcc caagagtttg agaccagcct gggcaacata 11067781
gtgagacacc tgtctctgca aaaaataaat aaaaagttag ctgagtgtga 11067831
tggtgcaccc ctctagtcac agctgttgag ttaggcttag gcaggaggat 11067881
cgcatgaacc tgggaggtgg aggcggccgt gagcctcagt catgccactg 11067931
cactccaacc tgggcaacag agtgaaagcc ggtgtccgaa agagaaagaa 11067981
aaaaagacat agatacatct tttaaagtta ggttgtatgt taattaccta 11068031
caactcagtt tcaactgtgc ttaaaggagg aaatgactca tttcttgcta 11068081
catatcaaat tagcccaaaa tgtagtggct taaaacaaca catttatgat 11068131
ttctcagttt ttgcgtgtca ggaatttgga agcagcacag ctagacggtt 11068181
ccagctcagg gtctctcatg aagttgcaat caaaatattg gcaggagaga 11068231
aaaacatatt ttcagaagct gcaggcatag gaagacttgg ctggggttga 11068281
aggatccact tccaagatgg cgcactcagt ggctcttggc tggaggcctc 11068331
agttccctgc tgcgtggagc tctccctcca gctgcttgag tggactcatg 11068381
acatgcaget ggeeteeeet ggagcagteg atecaacaat gagcatggee 11068431
atgaactagg ctcagaagcc actccctgtc gtctctacat tttcctatca 11068481
gaagcaagtc attaaaagtc cagtgccact ccaggggaga cgaattaggc 11068531
tctgccttct gaaaggatta tcacagaaga tgcggtccta tattctttt 11068581
ttaaaattat tcttttttt attttgtaga gatggggtct tggtatgttg 11068631
cctaggccag tctggaattc ctgggctcaa acaatcctgt ctctgcctcc 11068681
caaagtgttg ggattacagg catgagccac tgcacctggt catgtggtca 11068731
tattttttt ttttttttt agacagagtc tctgtcgccc 11068781
aggetggagt atggtggegt gateteagtt caetgeagee teegeeteee 11068831
gggttcaagc gattctcctg cctcagcctc ctgagtagct gggattacag 11068881
gcgcccgcca acatgcccag ctaattttt tagtagagat ggggtttcac 11068931
catgttagcc aggatggtct cgatctcctg atttggtgat ccgcccacct 11068981
tggcctccca aagtttcaac catcgatcag aacttattga tgtacttatg 11069031
tagctaggca cggtggcgcg tgcctgtaat cccagctact tggaagggtt 11069081
aaggcaggag aatcgcttga acctgggagg cagaggttac agtgagtcaa 11069131
gatcatacca ttgcactcca gtctgggcaa cagaatgaga ctctgtctca 11069181
aaaacaaaaa acaaaccctt gtatgtgatt ttcctggata gcatctgtta 11069231
catcttcaca aagataaaaa gtcagacttg gctgggcatg gtggctcaca 11069281
cctgtaatcc cagcactgag aggctgaggc aggcagatca cttgaggtca 11069331
ggaatttgag accaggctgg gcagcatggt gaaaccccgt ctctacaaaa 11069381
aatacaaaaa ttagccgggt gtggtgtcac gcacctgtat tcccaagcta 11069431
ctcaggaagc taaggcagga gaatcacttg aacccagagg tggaggtttg 11069481
```

```
cagtgagttg agattgtgcc attgcactcc agcctgggcg acagagtgag 11069531
actctgtgtc aaaaataaaa taaaataaaa ttttaaaaaa ggcagatttt 11069581
tttttcttct tggtattgtt accttattat agtaataata agtgcatagt 11069631
gcatgctgag ataagcaatc ataatttgtt attgcggccg ggcatggtgg 11069681
ctccagccta taatcccagc actttggtca ggagttcaag gccagcctgg 11069731
ccaatatagt gaaactccat ctctactaaa atacaagaaa ttacctgggc 11069781
atggtggcag ttgctggtga tccccagcta cttgggaggc tgaggcagga 11069831
gaatcgcttg aacctgggaa gcagaggttg cagtgagcca agattgcacc 11069881
actgcactcc agcctgggtg acagagtgag actctgtctg aaaataataa 11069931
taataataat ttgttattgc ttttattgcc ttagtttaca tagggaatca 11069981
aagtttatac tttgatttat aaaagttgct ttgattctag ttcacagaac 11070031
cagaatcttt catataaagg tattagaggg cccagtgtgg tggctcatgc 11070081
ctgtaatccc agcatattgg gaggctgagg agggaggatc actttaggag 11070131
tttgaggcca gcctaggcaa catagtgaga ccttgtctct acaaaaaatt 11070181
ccaacattag ctgggcatgg tggcatgtgc ctgtagtccc atttatttgg 11070231
ggggctgagg caggaggatc acttgagccc acgaggttca atccaggttg 11070281
cagtaagcca tgatcctgcc actgcactcc agtttgggta acagagcgaa 11070331
gctatgtctc aaaaaaagaa aaaaaaagta ttctaaatcc aaatttaata 11070381
tataaaacta aatgcaggcc aagtgtggtg gcatatacct ataatcacaa 11070431
cactttggga ggctgaggtg ggaggattgc ttgagcccaa gagttcaaga 11070481
ccagcctagg taacacagta agaccccatc tctacaaaaa gtagaaaaat 11070531
tagcctggca tggtggtgag tgcttttaat cccaactact tagggggctg 11070581
agatgggaag attgcttgag cctcagagtt tgaggctgca gtgggccgtg 11070631
ategetecae tgategetet aaagtgagae eetgteteaa aaaaaaagaa 11070681
aatagaagaa aactaaatac attcaataag actttgatct cttttccaag 11070731
gtgtaaatat attttgggaa attttccagt tactttgttc tcattttaat 11070781
gtaataatct aagtcttggt tttctaagga aaagttttct cttattatat 11070831
tgattatctt cactgctaaa tttgtgttct ctggcctcta catttataat 11070931
ttctcataat tctttatcta agtatttctt ccctacctac tgaagaaaac 11070981
tcaagttttc ttccacctta atgattatgc tgtgtctgtg agttttcttc 11071031
atgactettt acagtacaag ttttttgttt ttgttttttt aatggteaga 11071081
tggatagaac aacacaggtt ttgtttgttt tgttttaact tttaaaaaaa 11071131
ttataataga taaagggtct cactacgttg tccaggctga tctcatactc 11071181
ctgggctcaa gcaatccacc cacctctgcc tcccaaagtg ctgggattac 11071231
agtcatgagc caacatgcct gggcagtaca ggtttttttt gagacggagt 11071281
tttgttcttg ttgccgaggc tggagtgcaa tggcacaatc ttggctcacc 11071331
acaaagtctg cctcccaggt tcaagtgatt ctcctgcctc agcctcctga 11071381
gtagctggga ttacaggcat gtgccaccac gcccagctaa ttttgtattt 11071431
ttagtagaga cggggtttca ccatgttggc caggctggtt tcgaactgct 11071481
gacctcaggt gatctgccca cctcggcctc ccaaagtgct gggattacag 11071531
gcatgagcca ccatgcccag ctgtagtaca ggttttaata tgctaaatac 11071581
tcttcctttc tttattaatg tgcatggaag ttctaatatt tttttcccat 11071631
accccagaga gtccatattt tggaatcaac aacactagcc tttgttgaca 11071681
agtgtctctc ttgggttcct tctttgtgtc ctccactgaa ttttggggtt 11071731
cataaaattt catttgttgt gcttgcttaa ttccctggga atcagactgt 11071781
tcctgatcgg atgacatttc tggttaattc tttagttggc aggaaataga 11071831
cacaggaaac gtggtcagtt tctgattctg gcgttgagag accctttctc 11071881
cttttcctct ctctcagTGG GCGACAGATG cGAAAGAAAC GAGTTCCAGT 11071931 ESONE
GCCAAGACGG GAAATGCATC TCCTACAAGT GGGTCTGCGA TGGCAGCGCT 11071981 2
GAGTGCCAGG ATGGCTCTGA TGAGTCCCAG GAGACGTGCT gtgagtcccc 11072031
tttgggcatg atatgcattt atttttgtaa tagagacagg gtctcgccat 11072081 Intr.
gttggccagg ctggtcttga atttctggtc tcaagtgatc cgctggcctc 11072131 2
ggcctcccaa agtgctggga ttacaggcac cacgcctggc ctgtgacacg 11072181
attcttaacc cctttttgat gatggcggct ggaaaagtgg ccagtggatt 11072231
ttgatgtatt caatcatgaa ttaggaggtg gggagagaat gaattattgg 11072281
agctttcctt aaagccatta aatggctcta ttgttttttc aattgatgtg 11072331
aatttcacat aacatgaaat taaccagctc agtggcatta atacatctgc 11072381
aatgetgtgt ggccaccacc tetatettgt tecaaaaett tgcataaeet 11072431
aatgtetttt ttttttttt tttttgagae ggagtetegt tecateacce 11072481
aggctggagt gcagtggtgt gatctcagct cactgcaacc tccgcctccc 11072531
```

```
aggttcacgc catcctcctg cctcagcctc ccgagtagct gggactacag 11072581
gcaccctcca ccacatccgg ctaatttttt gtatctttag tagagatggg 11072631
gtttcaccat gttagccggg atggtctcga tctcctgacc tcgtgatcca 11072681
cctqcctccq cctcccaaaq tqctqqcatt acaqqcqtqa qccaccatqc 11072731
ccggcctatt tttttttta agagatggag tctaattctg ttgcccaggc 11072781
tggagtccag tggtaccatc atacttcact gcagccttga cctcttgggc 11072831
tcaaqtqatt ctcttqcctc qaactcccaa aqtattqqqa ttacaqqtqt 11072881
gagccaccgc actcagccta atgtccagtt tttaacaagc tccatttaaa 11072931
tgccctccgt tttgacccat aaaggggtag gcttggccgg gcacaatggc 11072981
ttgtgtctgt agtcccagct acttgggagg ctgaggcaga aaggcagaaa 11073031
gattgcttta taaagcccag gagtttgagg gccacctggg tggcatagct 11073081
agacctcatc tctaaaaaat aagtaataaa taaatatttg tttttgtttt 11073131
tttcttttc ttttctttt tttttttt tgagacggag tcttgctctg 11073181
ttgcccaggc tggagtgcag tggcgcgatc tcagctcact gcaagctgtg 11073231
cctcctgggt tcatgccatt ctcctgcctc agcctcccga gtagctggga 11073281
ctacaggege ceactaceae geecagetaa ttttttgtat ttttagtaga 11073331
gatggggttt caccacgtta gccaggatgg tctcaatctc ctgacctcgt 11073381
gatccgccag ctttggcctc ccaaagtgtt gggattacag gcgtgagcca 11073431
ctgagcccgc cccatatgta tgtatatata tatttttta aaatgggaga 11073481
ccaggcatgg tggctcatgc ctagaatccc agcactttgg gaagctgagg 11073531
taggeggate acttgaggee atgagtttga gaccageetg etcaacatga 11073581
tgaaacttct atctctacta aaaaaaaag tgggattagg tcaggcacgg 11073631
tggctcacac ctgtaatccc agcactttca gaggccgagg caggaggatc 11073681
atgaggtcag gagatcgaga ccatcctggc taacacggtg aaaccccgtc 11073731
tctactaaaa aaatacaaaa aattagccag gcgtggtggc gggtgcctgt 11073781
agtcccagct actcaggagg ctgaggcagg agaatggcgt gaacccggga 11073831
ggcggagctt gcagtgagcc aagatcgtgc cactgtactc cagcctgggc 11073881
gacagagcaa gactctgtct caaaaaaaaa aaaaaaagtg ggattgacat 11073931
tctcttcaaa gttctggggt tttcctttgc aaagacagga ttggcaaggc 11073981
cagtgggtct tttttgtgtg tgtgtgtgt acggagtctc actctgccac 11074031
ccaggctgga gtgcaatggc aggatctcgg ctcaccgcaa cctcctcctc 11074081
ccaggttaaa gtgattctcc tgcctcagcc tcccgagtag ctgggactac 11074131
aggtgcccgc caccacaccc aactaatttt tgtattttta gtagagacag 11074181
ggtttcacta tattggccag gctggtcttg aacccctgac ctcacgtgat 11074231
ccacccgcct tggcctccca aagtgctggg attacaggcg tgagccactg 11074281
tgctcggcct cagtgggtct ttcctttgag tgacagttca atcctgtctc 11074331
ttctgtagTG TCTGTCACCT GCAAATCCGG GGACTTCAGC TGTGGGGGCC 11074381 ESONE
GTGTCAACCG CTGCATTCCT CAGTTCTGGA GGTGCGATGG CCAAGTGGAC 11074431 3
TGCGACAACG GCTCAGACGA GCAAGGCTGT Cgtaagtgtg gccctgcctt 11074481
tgctattgag cctatctgag tcctggggag tggtctgact ttgtctctac 11074531 Intr.
ggggtcctgc tcgagctgca aggcagctgc cccgaactgg gctccatctc 11074581 3
ttgggggctc ataccaagcc tcttccgccc ttcaaatccc cccttgacca 11074631
ggaggcatta caaagtgggg atggtgctac ctcttcgggt ttgtcacgca 11074681
cagtcaggga ggctgtccct gccgagggct agccacctgg cacacacact 11074731
ggcaagccgc tgtgattccc gctggtcgtg atccccgtga tcctgtgatc 11074781
cccgccccgt gaggctgaac acatagtgac gcttgctagc caagcctcaa 11074831
tgacccacgt aacatgaagg gggaaaagcc agaaagttct gccaaggagc 11074881
aaggccaaga atcccgaagg gaaatggact ttgaagctgg gcgtcttctt 11074931
ggctgtctta atacaagtgg cacatccaaa tccaaaaccc cgaaattcaa 11074981
agtettgage accegaaatt etgaaacgte ttgageactg acetttagaa 11075031
ggaaatgctt attggagcat tttggatttc ggatttttac cactgagtgt 11075081
ggagtcctaa ttaggaaaaa aaccaggctg accgaaccaa aggaaagcaa 11075131
taaaagaagg cagatagggt caggcacggt ggctcacccc tgtaatccca 11075181
gccttttgag aggctgaggc gggtggatca cttgaggtca ggagttcgag 11075231
agcagcctgg ccaacacggt gaaaccccat ctctactgaa aatacaaaaa 11075281
ctagccaggt atggtggcgt ctgcctgtaa tcccagctac tcgggaggct 11075331
gagacaggag aatcacttga acctgggagg cagaggttgc agtgagccaa 11075381
tatcacgcca ttgcactcca gcctggggga caagagcgaa attctgtctc 11075431
aaaaaaaaa aagaagaagg ccgacaaact atgtaactct gcctttctcc 11075481
atggtccaga acacacagcc ctcctgcgta aataactcct tatcttcctg 11075531
ctcccagcta tcatcagaca cctcggctga tagaaaattg caagttagct 11075581
```

```
cactgcaacc tcggcattat aagtactgca caaagccctc ttcagcgcac 11075631
agcacaagca ccattctata aaatctccag caagcggcca ggtgcagtgg 11075681
ctcatacctg taatcccagc attttgggag actgaggcgg gcggatcacc 11075731
tgaggtcagg agtttgagac cagcctggcc aacatggtga aaccccgtct 11075781
ctattaaaaa tacaaaaaa ttagccaggc gtggtggcag gtgcctgtaa 11075831
tcccagctac ttggaaggct gaggcaggag aatcgcttga acccgggagg 11075881
tggaagttgc agtgagccga gatcttgcca tcgcactcca gcctggggga 11075931
caagagtgag acttcgtctc aaaaaaaaaa aaaaaaattc ccagcaagcc 11075981
tttgtcttct ggcagtcagc tcctctcttg ctgacctgct cattgctttc 11076031
ttgcaaggta ttttcctacc tactttctgg aataaatctg tctttctgta 11076081
cttacaacta ccttttttaa aatttctttc ttttttgaga tggagtctca 11076131
ctctgtttgc ccaggctgga gttcagtggt gcaatctcag ctcactgcaa 11076181
cctctaccta ctgggttcaa gcgattctcc tgcctcagct tcccgagtag 11076231
ctgggattac aggcgtgcac cagcacgcag gctaattttt gtatttttag 11076281
tagagacggg gtttcaccat gttggccaag gtggtcttga actcctgacc 11076331
tcaagtgatc ctcccacctc agcctcccaa agcgctagga ttacggccat 11076381
gagccactga ggccggctgc acctacaact gtcttgataa attcttaccc 11076431
ccacaccact ggtccagata gtcagtgctc acccacaaca ttaaggatat 11076481
tccaaatttg aaacattcca aaatcagaaa aatattccaa ctctgaaaat 11076531
attccaaaat ccaaaaaaat tcaaaatcca aaacacttct ggtcccaagc 11076581
attttagaga agggatactc aacccaaaat aaggacagca attctataaa 11076631
ttgtgctacc atcttgcagg tctcagttta acagctttac acctattagc 11076681
gcaccagtgc tcatagcagt gctgggaaat gtgtacagat gaggaaactg 11076731
aggcaccgag agggcagtgg ttcagagtcc atggcccctg actgctcccc 11076781
agcccgcctt tccaggggcc tggcctcact gcggcagcgt ccccggctat 11076831
agaatgggct ggtgttggga gacttcacac ggtgatggtg gtctcggccc 11076881
atccatccct gcagCCCCCA AGACGTGCTC CCAGGACGAG TTTCGCTGCC 11076931 ESONE
ACGATGGGAA GTGCATCTCT CGGCAGTTCG TCTGTGACTC AGACCGGGAC 11076981 4
TGCTTGGACG GCTCAGACGA GGCCTCCTGC CCGGTGCTCA CCTGTGGTCC 11077031
CGCCAGCTTC CAGTGCAACA GCTCCACCTG CATCCCCCAG CTGTGGGCCT 11077081
GCGACAACGA CCCCGACTGC GAAGATGGCT CGGATGAGTG GCCGCAGCGC 11077131
TGTAGGGGTC TTTACGTGTT CCAAGGGGAC AGTAGCCCCT GCTCGGCCTT 11077181
CGAGTTCCAC TGCCTAAGTG GCGAGTGCAT CCACTCCAGC TGGCGCTGTG 11077231
ATGGTGGCCC CGACTGCAAG GACAAATCTG ACGAGGAAAA CTGCCGgtatg 11077281
ggeggggcca gggtggggc ggggegteet ateacetgte cetgggetee 11077331 Intr.
cccaggtgtg ggacatgcag tgatttaggt gccgaagtgg atttccaaca 11077381 4
acatgccaag aaagtattcc catttcatgt ttgtttcttt tttttctttt 11077431
ctttctttat tttgtttttg agatggagtc tcactctgtg atttttttca 11077481
tctctaaatt tcctacatcc atatggccac catgaggccc caggctggcc 11077531
gatggttgct gttagcttat tgggaaatca ctgtttggaa ggtgctggtt 11077581
gtttttgtt gtttgttgtt tttgtttttg tttttgtttt gagacggagt 11077631
ctcgctctgt cgccagggtg gagtgcagtg gcgcgatcag ctcactgcaa 11077681
cctccgcttc ctgggttcaa gccattctcc tgcctcagcc tcccaagtag 11077731
cgcggattac aggcatgtgc caccacctcc ggctattttt ttttctattt 11077781
agtagagatg gggtttcacc atgttagtca ggctggtcat gaactcttga 11077831
cctcaggtga tccacccgcc tcggcctccc aaagtgctgg gattacaggc 11077881
gtgcactgct gcacccagcc tttttttgtt tttttgagac agggtcttgc 11077931
tgtcacccag gttgaagtaa ggtggcacga ttatggctca ctgcggcctt 11077981
gatctccttg gctcaagcga tcctctcact tcagcctctc aagcagttgg 11078031
aaccacaggc tgtaccacca agcctggcca atttttttgt acagacacag 11078081
gctggtcttg aactcctggg ctcaagcaat cctcctgcct tggcctccca 11078131
aagtgctggg attccaggca tgagccgctg cacccggcaa aaggccctgc 11078181
ttctttttct ctgqttqtct cttcttqaqa aaatcaacac actctqtcct 11078231
gttttccagC TGTGGCCACC TGTCGCCCTG ACGAATTCCA GTGCTCTGAT 11078281 ESONE
GGAAACTGCA TCCATGGCAG CCGGCAGTGT GACCGGGAAT ATGACTGCAA 11078331 5
GGACATGAGC GATGAAGTTG GCTGCGTTAA TGgtgagcgc tggccatctg 11078381
gttttccatc ccccattctc tgtgccttgc tgcttgcaaa tgatttgtga 11078431 Intr.
agccagaggg cgcttccctg gtcagctctg caccagctgt gcgtctgtgg 11078481 5
gcaagtgact tgacttctca gagcctcact tccttttgtt ttgagacgga 11078531
gtctcgctct gacacccagg ctggagtgct gtggcacaat cacagctcac 11078581
ggcagcctct gcctctgatg tccagtgatt ctcctgcctc agcctcccga 11078631
```

```
gtagctgaga ttaaaggcgt ataccaccac gcccggctaa ttttttgtat 11078681
ttttattaga gacagggttt ctccatgttg gccaggctgg tcttgaactc 11078731
ctggtctcag gtgatccacc cgcctcggcc tcccaaagtg ctaggattac 11078781
aggtgtgagc cactgcgcca ggcctaattt ttttgtattt ttagtagaga 11078831
tgcggttttg ccatattgcc caggctggtc tcgaactcct gggctcaagc 11078881
gatctgcctg ccttggcctc ccaaagtgct gggattacag gcacaaacca 11078931
ccqtqcccqa cqcqttttct taatqaatcc atttqcatqc qttcttatqt 11078981
gaataaacta ttatatgaat gagtgccaag caaactgagg ctcagacaca 11079031
cetqueette etectteete tetetqqete teacaqTGAC ACTCTGCGAG 11079081 ESONE
GGACCCAACA AGTTCAAGTG TCACAGCGGC GAATGCATCA CCCTGGACAA 11079131 6
AGTCTGCAAC ATGGCTAGAG ACTGCCGGGA CTGGTCAGAT GAACCCATCA 11079181
AAGAGTGCGg tgagtctcgg tgcaggcggc ttgcagagtt tgtggggagc 11079231 Intr.
caggaaaggg actgagacat gagtgctgta gggttttggg aactccactc 11079281 {f 6}
tgcccaccct gtgcaaaggg ctcctttttt cattttgaga cagtctcgca 11079331
cggtcgccca ggctggagcg caatggcgcg atctcggctc actgcaacct 11079381
ctgcctccca ggttcaagtg attctcctgc ctcagcctcc tgagtagctg 11079431
ggattacagg cgcccaccac caagcccggg taattttttg tatgtttagt 11079481
agagatgggg tttcactatg ttggccaggc tggtgttgaa ctcctgacct 11079531
catgateege ceaectegge eteceaaagt getgggatta eaggegtgae 11079581
ccaccccatg aaaaaaaatt aaaaaatgaa gcgatgctgg gcgcggtgga 11079631
tcacgcctgt aatcccagca ctttgggaag ctgaggcagg cagatcacga 11079681
gggcaggaga ttgagaccat cctggctaat acggtgaaac cccatctcta 11079731
ctaaaactac aaaaaattag ccgggtgtgg tggcaggcac ctgtgatccc 11079781
agctactcag gaggctgagg caggagaatc gcttgaaccc aggaggtgga 11079831
ggttgcagtg agccgggatc acaccattgc actccagcct gggtgacaga 11079881
gtgagactct gtctcaaaaa aaaaaaaaa aaaaaaagcg aattctgaaa 11079931
tacatgaatt cttttcctta gatgcctgct tctgtcttga ggtttgttgt 11079981
tgttatttcg aaacagagtc ttgctctgtc gctcaggctg gagtgcagtg 11080031
gcatgatctt ggctcaccac aacctccggc tcccaggttc aagcgattct 11080081
tctgcctcag cctcctgagt agctgggatt acagctgaat gccaccttgc 11080131
tgggctaatt tttgtatttt tagtagagat ggggtttcac catgttggcc 11080181
aggetggeet egaacteetg acetegagtg atetgeeege eteetgaagt 11080231
gctgggatta caggcgtgag ccacctcgtc ctggtgaggg ttttttttt 11080281
tccccaaccc tctgtggtgg atactgaaag accatattag gataactgta 11080331
cagtatagag aaggcagtgg caagttttct ctgtcatata ccagagtggg 11080381
cttgggcatg gtggcatact cctgtagtct cagctaatca ggaggctgag 11080431
gaaggaggat cgcttgggcc caggagttgg agactgtagt gagctgtgat 11080481
cacaccacca cacttcaatc tgggcaacag agcaagagac cctatctcta 11080531
aaaaaaagta agtatttcgg acactgtggg ccatacggtc tctggtgcag 11080581
tttctcaaca tggctgttgg gtgaacacaa ccacgcacag aacgcaaacc 11080631
aatacacgtg gctgtgggcc cagaaaatgt tatttatgga cacaaaaatt 11080681
ggaatttcat ataactgttt tgtgtcatga aaatgatttc cctttttatt 11080731
tttatttttc ttctcaagta tttaaatatg taaaagccat ttttaggcct 11080781
ggcaggatgg ttcacagctg taatcccagc actttgggag gtcgaggcgg 11080831
gaggatcacg aggtcaggag atcgagacca tcctggccaa cacagtgaaa 11080881
ccccgtctct actaaaaata caaaaaatta accaggcttg gtggcgcgcg 11080931
tctgtagtcc cagctgctca ggaggctgag gcaggagaat cgcttgaatg 11080981
caggaggegg aggttgtagt gageegaggt tgeaccaetg caetecagee 11081031
tgagcgacag agtgagagtc cgcctcaaac aaaaaaatgt ttgcccatgc 11081081
tggtcttgaa ctcctgggct caagctatct gcctgccttg gtctcccaaa 11081131
gttctgggat tacaggcatg agctacagcg cccggacttt tgttgtttta 11081181
tatctatata tctatatata acttqtttta tqtatatata taacttqttt 11081231
tatatatata cataaactgc agtaaaaaac atgtaacata aaatttacct 11081281
tctcaaacct tattaagtgc acagttctgt gccattagca aattcacact 11081331
gttgtacaac atcacaacca ccatctccag aactttttt ttttttttt 11081381
ttctttttga gacagagtct cactcgtcgc acgggctgga gtgcagtggt 11081431
gcgatctcgg ttcactgcaa cctccaccta ccaggttcaa gcaattctcc 11081481
tgcctcagcc ccctcagtag ctgggattac aggtgcccgt cctaccacgc 11081531
ccagctaatt tttgtatttt cagtagagac tgactgggtt tcaccatgtt 11081581
ggccaggctg gtctcgaact cctgacctca agtgatcctc ccacctcagc 11081631
ctcccaaagt gctgggaata caggcatgag ccactgcgcc cggccccaga 11081681
```

```
actettttat etteecaaac tgaagetetg teeccatgaa acaeteaete 11081731
tccatcccct ccccaactcc tggcacccac cattctactt tctgtcccta 11081781
tgaatgtgat ggctctaggg acctcctctg agtggaatca gacagcattt 11081831
tccttttttg actggcttat ttcactgagc caagtgcggt ggcacacgcc 11081881
tgtaatccca aaactttggg agaccgaggc gggcgcatca cctgaggtca 11081931
ggagttcgag accagcccgg ccaacatggt gaaaccccat ctctagtaaa 11081981
aatacaaaaa attagcctgt catggtcgtg ggtgcctgta atcccagcta 11082031
agtgggaggc tgaggcagga gaatcgcttg tacccaggag gcggaggtcg 11082081
cagtgagccg agatcgtgcc attacactcc agcctgggca acaagagtga 11082131
aactccgtct ctcctaaaaa tacaaaaaaa ttagctgggc atggtggcac 11082181
atgcctgtag tcccagctac ttgggaggct gaggcaggag aatcacttga 11082231
acceggagg tggaggttgt aatgagccaa ggttggcggc gaagggatgg 11082281 gtaggggcc gagagtgacc agtctgcatc ccctggccct gcgcagGGAC 11082331 ESONE
CAACGAATGC TTGGACAACA ACGGCGGCTG TTCCCACGTC TGCAATGACC 11082381 7
TTAAGATCGG CTACGAGTGC CTGTGCCCCG ACGGCTTCCA GCTGGTGGCC 11082431
CAGCGAAGAT GCGAAGgtga tttccgggtg ggactgagcc ctgggccccc 11082481 Intr.
tetgegette etgacatgge aaccaaacce etcatgeete agttteecea 11082531 7
tctgttaagt gtgcttgaaa gcagttagga gggtttcatg agattccacc 11082581
tgcatggaaa actatcattg gctggccaga gtttcttgcc tctggggatt 11082631
agtaattaag aaatttcagg ccgggtgcgt aatccctgta atcccaacac 11082681
cttgggacgc cgaggcggc agatcacctg aggtcgggag ttccagacca 11082731
gcctgaccaa catggagaaa ccccgtctct actaaaaata caaaattagc 11082781
cgggcttggt ggtgcatgcc tataatccca gctactcagg aggctgaggc 11082831
aggagaatca cttgaacctg ggaggtggag gttgtggtga gccaagatcg 11082881
tgccattgca ctccagcctg ggcaacaaga gtgaaactcc atccaaaaaa 11082931
aaaagaaaag aaaagaaaaa aaagaaaaga aatttcagct gacacagctt 11082981
cacactettg gttgggttcc cgtggtgaat gatgaggtca ggtgatgact 11083031
ggggatgaca cctggctgtt tccttgatta catctcccga gaggctgggc 11083081
tgtctcctgg ctgccttcga aggtgtgggt tttggcctgg gccccatcgc 11083131
tccgtctcta gccattgggg aagagcctcc ccaccaagcc tctttctctc 11083181
tettecaqAT ATCGATGAGT GTCAGGATCC CGACACCTGC AGCCAGCTCT 11083231 ESONE
GCGTGAACCT GGAGGGTGGC TACAAGTGCC AGTGTGAGGA AGGCTTCCAG 11083281 8
CTGGACCCCC ACACGAAGGC CTGCAAGGCT GTGGgtgagc acgggaaggc 11083331 Intr.
ggcgggtggg ggcggcctca ccccttgcag gcagcagtgg tgggggagtt 11083381 8
tcatcctctg aactttgcac agactcatat cccctgaccg ggaggctgtt 11083431
tgctcctgag ggctctggca ggggagtctg ccgccctgtt aggacttggg 11083481
cttgccaggg ggatgcctgc atatgtccta gtttttggga atatccagtt 11083531
aacggaaccc tcagccctac tggtggaaca ggaaccggct ttcctttcag 11083581
ggacaacctg gggagtgact tcaaggggtt aaagaaaaaa aattagctgg 11083631
gcatggtgcc acacactgt ggtcccagct actcagaagg ctgaggcggg 11083681
aggattgctt gagggcagga ggattggttg atcctcccac ctcagcctcc 11083731
ggagtagctg ggacctcagg tgcatgccac tatgcctggc taattttctt 11083781
ttttctttt tttttttt cgagacggag tctcgctctg ttgcccaggc 11083831
tggagtgcag tggcaggatc tcggctcact gcaagctccg cctcccgggt 11083881
tcacgccatt ctcctgcctc agcctcccca gtagctggga ctacaggagc 11083931
ccgccactgc accaggccaa tttttttgta tttttagtag agacggggtt 11083981
tcactgtgtt agccaggatg gtctcgatct cctgacttcg tgatccgccc 11084031
acctcggcct tccaaagtgc tcggattaca ggcgtgagcc actgcgccca 11084081
gccgctaatt ttcatatttt tagtaaaaac agggtttcac catgttggcc 11084131
aggetagtet tgaacteetg aacceaagtg atceteetge ettggeetee 11084181
caaagtgctg ggattacaga caccacact ggctattatt attttttaga 11084231
atagctcgct gcagccttga cctcctgggt tcacgtgatc gtcccgccta 11084331
agcctctgga ggagctggga gtactggcat gtgccaccat gcctggttaa 11084381
ttttttttt ttttttttg agacagagtc tcattctgtc acccaggctg 11084431
gagtgcggtg gtgcgatctt ggcttactga aacctccacc tcccaggttc 11084481
cagcaattct cctgcctcac ccttctgagt agctgggatt acaggttccg 11084531
gctaccaaac ctggctagtt tttgtatgtt tagtagagac agggtttcac 11084581
catgttggtg aggctggtct cgattctccc gcctcagcct cccaaagtgc 11084631
tgggattaca ggcttgagcc accgtgcctg gcttttttt tttttttt 11084681
ttttgtggca ataaggtete attgtettge eeaggetage ettatgetee 11084731
```

```
tagcctcaag tgatcctcct ccctcagcct cccaaagtgc tgggattaca 11084781
ggtgggcgcc actgtgcctg ttcccgttgg gaggtctttt ccaccctctt 11084831
tttctgggtg cctcctctgg ctcagccgca ccctgcagga tgacacaagg 11084881
qqatqqqqaq qcactcttqq ttccatcqac qqqtcccctc tqaccccctq 11084931
acctegatee eeggaceee agGCTCCATC GCCTACCTCT TCTTCACCAA 11084981 ESONE
CCGGCACGAG GTCAGGAAGA TGACGCTGGA CCGGAGCGAG TACACCAGCC 11085031 9
TCATCCCCAA CCTGAGGAAC GTGGTCGCTC TGGACACGGA GGTGGCCAGC 11085081
AATAGAATCT ACTGGTCTGA CCTGTCCCAG AGAATGATCT GCAGqtqaqc 11085131 Intr.
qtcqccctq cctqcaqcct tqqccqcaq qtqaqatqaq qqctcctqqc 11085181 9
qctqatqccc ttctctcctc ctqcctcaqC ACCCAGCTTG ACAGAGCCCA 11085231 ESONE
CGGCGTCTCT TCCTATGACA CCGTCATCAG CAGAGACATC CAGGCCCCCG 11085281 10
ACGGGCTGGC TGTGGACTGG ATCCACAGCA ACATCTACTG GACCGACTCT 11085331
GTCCTGGGCA CTGTCTCTGT TGCGGATACC AAGGGCGTGA AGAGGAAAAC 11085381
GTTATTCAGG GAGAACGGCT CCAAGCCAAG GGCCATCGTG GTGGATCCTG 11085431
TTCATGGgtg cgtatccacg acgctgaggg ctgcagaggg aatggaggga 11085481 Intr.
gcaggaagga gcttcaggaa ctggttagtg ggctgggcat ggtggctcaa 11085531 10
agcacctgta atcccagcac tttgggaggc caaggtgggt ggatcatcaa 11085581
gaccagcctg accaacatgg tgaaacctcg tctctactaa aaatacaaaa 11085631
attagccggg tgtggtggtg ggcacctgta atcccagctg ctcgggaggc 11085681
tgaggcagga gaatcacttg aacctgggag atggaggttg cagtgagcca 11085731
agacagcccc actgcactcc agcctgggtg acagagtgag actccgtctc 11085781
aaaaaaaaaa aaaaaaacta aacaaaaaac tggttagtgg ctagacaaca 11085831
qqatqqtatc ttccaaqccc atqqctqact caqcaqctcc tqqqtcaaqa 11085881
cactgtgacc tgtgtcccct ggcaggaagc atcgccctg ccacctgccc 11085931
ggtgtactct gtacctgtca ggtgacatct gctacctaag cacgtgagag 11085981
gtggcatttc acagtttcag tgtggtgctg acaacccggg acgcacactg 11086031
tccttgcagc tacaatcagg aggtgaatgt tgggtttcca gcagagaaca 11086081
ctggagaagg cacacttggt gtctggaagg gaaaagcagg gaagagagca 11086131
tcatcagatg cctgcgggtg aaggtgggcc cgctatggcc agcgtccctt 11086181
tttattttta tttatttatt tatttgagat ggaatctcgc tctgtcgccc 11086231
agactgtagt gcagtggtgc gatcacggct cactgcaagc tccgcctcac 11086281
aggttcacgc cattctcctg cctcagcctc ccgagtagct gggactacag 11086331
gcacccgcca ccacgcccgg ttaatttttt gcatttttat tagagacggg 11086381
gtttcaccgc gttagccagg atggtctaaa tctcctgacc ctgtgatcca 11086431
cccgcctcgg cctccctaag tgcttggatt acaagcgtga gccaccacgc 11086481
ccggccccct ttttattttt tatttttga gacggagtct cgctctgtcg 11086531
cccaggctag attgcagtgg cgtgatctcg gctcactgca gcctccgcct 11086581
cccaggttca agtgattctc ctgcctcaac ctcccaacta attaggatta 11086631
caagcatgta ccaccatgcc tgactaattt tttgtatttt tagtagagac 11086681
tgggtttcac catgttggct aggctggtct cgaaccctta gcctcaagta 11086731
atctgcctgc ctcagcctcc caaacagcgg ggattacagg catgagccac 11086781
tgtgcccaac ccaaccctgg atctctttta aacaagacaa tgctcgctgt 11086831
tgccacagaa caatgggtgg ggtacatgtg gcccagtgtg tttggccaca 11086881
taactgccag gccagaggga aagagactct cagactgtct ccactcagat 11086931
acaaatgtgt gtgttgtgtg cgtgtgttct ggtctcatat ttgtttgttt 11086981
tgagacaggg tgtcgctctg tcactgagtc tggagtgcag tggcgcaatc 11087031
agagttcact gcagcctcaa actcttgggc tcagttgatt ctcccacttc 11087081
agcctcccaa gtagctggaa ctacaggtga acaccactgt gcccagctaa 11087131
tttattttat ttttagtaga gatgaggtct cactatgttg cccaggctgg 11087181
tcttgacctc ctagcctcaa gcaatcctcc tgccttggtc tcccaaagtg 11087231
ctgggattac acgtgcgagc cattgcgcat ggcttgtgtt cttgtgtttc 11087281
ttcctttttc tttcgagatg gcgtctcagt ctgccaccca ggctggagtg 11087331
cagtgqtqtq atcatagctc actgtagcct caacttcctq qqctcaaqca 11087381
atcctcttga tttcagcctc ccgggcctgg ccagcatggt gaaaccccgt 11087431
ctctactaaa aatacaaaaa tgtagccagg cgtggtggtg ggcgcctgta 11087481
atcccagcta caccagaggc tgaggcagga gaatcgcttg agcctggaag 11087531
gtggaggttg cagcaagcca agatcgtgcc actgcactcc agcctgggca 11087581
acaqaqacaq actctqtctc aaaaaaaaaa aaaaaaaacc caaacaaqcc 11087631
acatttggag tttggggttc ccagcaggac tatttcccaa gcctgagcct 11087681
ggctgtttct tccagaattc gttgcacgca ttggctggga tcctcccccg 11087731
ccctccagcc tcacagctat tctctgtcct cccaccagCT TCATGTACTG 11087781 ESONE
```

```
GACTGACTGG GGAACTCCCG CCAAGATCAA GAAAGGGGGC CTGAATGGTG 11087831 11
TGGACATCTA CTCGCTGGTG ACTGAAAACA TTCAGTGGCC CAATGGCATC 11087881
ACCCTAGgta tgttcgcagg acagccgtcc cagccagggc cgggcacagg 11087931 Intr.
ctggaggaca gacgggggtt gccaggtggc tctgggacaa gcccaagctg 11087981 11
ctccctgaag gtttccctct ttcttttctt tgtttttct ttttttgaga 11088031
tgaggtcttg gtctgtcacc caggctggag tgcactggcg caatcgtagc 11088081
tcactgcagc ctccacctcc caggctcaag tgatcctcct gcctcaccct 11088131
cctgagtagc tgagattaca gacacgtgcc accacggcag actaatttta 11088181
ttttattttt gggaagagac aaagtcttgt tatgttggcc tggctggtct 11088231
caaactcagg gtgcaagcga tcctcccgcc tcagccttcc aaactgctgg 11088281
gattacaggc gtgggccacc gtacccagcc tccttgaagt ttttctgacc 11088331
tgcaactccc ctacctgccc attggagagg gcgtcacagg ggaggggttc 11088381
aggctcacat gtggttggag ctgcctctcc aggtgctttt ctgctaggtc 11088431
cctggcaggg ggtcttcctg cccggagcag cgtggccagg ccctcaggac 11088481
cctctgggac tggcatcagc acgtgacctc tccttatcca cttgtgtgtc 11088531
tagATCTCCT CAGTGGCCGC CTCTACTGGG TTGACTCCAA ACTTCACTCC 11088581 ESONE
ATCTCAAGCA TCGATGTCAA cGGGGGCAAC CGGAAGACCA TCTTGGAGGA 11088631 12
TGAAAAGAGG CTGGCCCACC CCTTCTCCTT GGCCGTCTTT GAGgtgtggc 11088681 Intr.
ttacgtacga gatgcaagca cttaggtggc ggatagacac agactataga 11088731 12
tcactcaagc caagatgaac gcagaaaact ggttgtgact aggaggaggt 11088781
cttagacctg agttatttct attttcttct ttctttttt ttttttttt 11088831
gagacagagt tttgctctcg tttcccaggc tggagggcaa tggcatgatc 11088881
teggeteace geaaceteea ceteceaggt teaagtgatt eteetgtete 11088931
aggeteccea gtagetggga ttacaggeat geaceaceae catgecegge 11088981
taattttgta tttttagtag agacggagtt tctccatgtt ggtcaggctg 11089031
gtctcgaact cccgacctca ggtgatctgc ctgcctcggc ctcccaaagt 11089081
gctgggatta cagacttgag ccaccgcgcc cagctatttc tgttttcttt 11089131
ctttcttctt cttcttttt tttttctaag agacaggatc tcactctgtc 11089181
cccaggcagg agtgcagtgc tgtgatcata gctcactgca gccttaacct 11089231
cctgggctca agtgatcttc ccacctcagc ctcccaagta gctggaacta 11089281
caggtgcaca ccaccatgcc cagctcattt ttgtattttt tttttttttg 11089331
agacagtete gttetgteae eeeggetgga gtgeagtggt acaatettgg 11089381
ctcactgcaa cctctgcctc ccaggttcaa gcgattctcc tgcctcagcc 11089431
tcctgagtag ttgagattac aggcatgtgt gccatcatac ctggctgatt 11089481
tttgtatttt tttttagaga tggggtctca gtatgttgac caggcttgtc 11089531
ttaaactccc ggcctcaagt gatcctccca cttcagtctc ccaaagtgct 11089581
gggattacag gcatgagcca ctgcggccgg tttgttttct ttttttttc 11089631
gttttttgga gacggaattt cacctttgtt gcccaggatg gagtgcaatg 11089681
gcacgatatc gcctcaccac aacctctgcc tcctgggttc aaaccatttt 11089731
cctgcctcag ccttcttagt agctgggatt acaagcatgt gccaccacgc 11089781
ccggctgatt ttgtattttt agtagagatg gggtttctcc atgttggcca 11089831
ggctggtctc gaactcctga cctcaggtca ttcgcccacc tctgcctccc 11089881
aaagtgctgg gattacaggc gtgagccacc gtgcccggtg gtttgtattc 11089931
tttttactga gagtcgtgaa aggcagtgat cctctgtcac atgtgatctt 11089981
ggctctcagg ggacatttgg caatttctag agattttttg gttgtcacaa 11090031
gtcaatgggg aagactgttg gcatttagtg ggtagaggct ggtgacgctg 11090081
ctgaacaccc agaacaggga agtagcaggc cctagataga gccatcgtgg 11090131
ggaaaccctg ctctaaggaa atggcgctat tttataaccc cacgttcctg 11090181
gcatgattac caacagccaa aagtggagtc cccccaagtg tgttcgtcca 11090231
tttgcattgc agtaaaggaa tagctgaggc cgggtaattt ataaagaaaa 11090281
gagatttaaa ctgggtatgg cagtttatgc ctataatccc agaactttgg 11090331
gaggctgagg caggaggatc gcttgagtcc aggagtgtga gaccgagacc 11090381
agcctggcca acatgacgaa actctgtctc tacaaaaaaat acaaaaagta 11090431
ggccaggcac ggtggttcac gcctgtaatc ccagcacttt gggaggccga 11090481
ggcgggcgga tcacgaggtc aggagatcga gaccatcctg gctaacacgg 11090531
tgaaaccccg tctctactaa aaatacaaaa acaaaattag ccgggtgtgg 11090581
tggcaggcgc ctgtagtccc agctactcgg gaggctgagg cgggagaatg 11090631
gcgtgaaccc gggaggcgga gcttgcagtg agccaagatc gcgccactgc 11090681
aaaaaaaaat acaaaaagta gccaggtgtg gtggcaggca cctgtaatcc 11090781
tgggttctcg agaccgaggc atgagaattg cctgacccca ggaggtggag 11090831
```

```
gctgcagtga gccaagatca tgccactgca ctccagcctg ggcgacagag 11090881
tgggactctg tctcaaaaaa caacaaaaaa aaagttctgg aaatggatgg 11090931
tggtgatggt gatacttcca caacagcgtg aatctgctta aggccaccga 11090981
actgtgcact cacaaatagt cgagatggta cattttatgt tatgtgtatt 11091031
tcaccacaat taaaaactag ttgtgggcca ggtgtggtgg ttcatgcctg 11091081
taatcccagc actttgggag gtcagaggga ggtggatcat gaggtcagca 11091131
qttcqaqacc aqccaqqcca acatqqtqaa accccatctc tactaaaaat 11091181
acaaaaatta gccaggcgtg gtggcacatg cctgtagtcc cagctacttg 11091231
aqaqqctqaa qcaqqaqaat cqcttqaacc tqqqaqqcta aqattqcaqt 11091281
gagecgagat cgtgccactg cactccagec tggacgacag agtgagactt 11091331
cgtctcaaaa aaaaaaccaa aaaaaaaatt agctgtgggt caggcactgt 11091381
ggctcacgcc tgtaatccca gcactttggg agaccgaggt aggtggatgg 11091431
cctgaggtca ggagttcgaa tccagcctgg ccaacatggt gaaagcccgt 11091481
ctctactaaa aatacaaaaa attagtcagg tatgttggca cacctgtaat 11091531
cccagctact cgggaggctg aagcaagaga atcgtttgaa cccaggaggt 11091581
ggacgttgca gtgagccgag attgggccac tgtactccag cctgggcaac 11091631
aaaagtgaaa ctctgtctga aacaaacaaa caaacaaaca aacagacaaa 11091681
caaaaaaact agttgtggag agagggtggc ctgtgtctca tcccagtgtt 11091731
taacgggatt tgtcatcttc cttgctgcct gtttagGACA AAGTATTTTG 11091781 ESONE
GACAGATATC ATCAACGAAG CCATTTTCAG TGCCAACCGC CTCACAGGTT 11091831 13
CCGATGTCAA CTTGTTGGCT GAAAACCTAC TGTCCCCAGA GGATATGGTt 11091881
CTCTTCCACA ACCTCACCCA GCCAAGAGgt aagggtgggt cagccccacc 11091931 Intr.
cccccaacct tgaaacctcc ttgtggaaac tctggaatgt tctggaaatt 11091981 13
tctggaatct tctggtatag ctgatgatct cgttcctgcc ctgactccgc 11092031
ttettetgee ceaggagtga actggtgtga gaggaccacc ctgagcaatg 11092081 ESONE
GCGGCTGCCA GTATCTGTGC CTCCCTGCCC CGCAGATCAA CCCCCACTCG 11092131 14
CCCAAGTTTA CCTGCGCCTG CCCGGACGGC ATGCTGCTGG CCAGGGACAT 11092181
GAGGAGCTGC CTCACAGgtg tggcacacgc cttgtttctg cgtcctgtgt 11092231 Intr.
cctccaactg ccccctcctg agcctctctc tgctcatctg tcaaatgggt 11092281 14
acctcaaggt cgttgtaagg actcatgagt cgggataacc atacttttct 11092331
tggatggaca catcagcacc gggcttgaca tttacccagt tcccctttga 11092381
tgcctggttt cctctttccc ggcccctga agaggtgatc tgatttctga 11092431
caggagccct gagggaggaa atggtcccct ttgttgactt ttcttttct 11092481
ttattttttt cttttgagat ttgctgtcac ccagcctgga atgcagtggt 11092531
gccatcttgg ctcactgcta cctctcccac tgggttcaag caattctcct 11092581
gcctcagcct cccaagtagc tgggattaca agcatgcgcc accatgcctg 11092631
gctaagtttt gtatttttag tacagacagg gtttctccat ggtggccagg 11092681
ctggtcttga actcctgacc tcaggtgatc ctcccacctc tgcctcccga 11092731
agtgctacga ttacaggcat gagccaccgc gcccatcccc ctttgttgac 11092781
ttttctcatc ctctgagaaa gtctcagttg aggccagcac ctccctcaag 11092831
tgaattgaat ctcccttttg aacaacaaca aataacaata tgacccagac 11092881
gtggtggctc acacctgtgg tcccagctac tcgggaggct gaggtgtgag 11092931
gattgcttga gcccaggagg tcaaggctac agagagctat aatcacacca 11092981
cttcactcca gcctggggga caaagtgaaa ccctgtctga aaaaaacaaa 11093031
aaaagaaaaa ggaaaaagaa acaatacgat cacaaagtag atattcatag 11093081
tgtttatttt cagtactctt ttttttttt ttttttttt ttgagacgga 11093131
gtcttgctct gttgcccagg ctggagtgca gtggcacgat cttggctcac 11093181
tgcagcctct gcctcccagg ttcaagcgct tggctcactg caacctccgc 11093231
ctcctgggtt caagcgcttc ttctgcctca gcctccccag tagctgggac 11093281
tataggcacg tcccactacg cccagctaat tttttgtatt ttttagtaga 11093331
gatggggttt cactatgtta gccaggatgg tctcgatctc ctgacctcgt 11093381
gatctgcctg ccttgggctc ccaaagtgtt gggattatgg gcatgagcca 11093431
ctgcacctqq cctttttttt tttttttttt qaqatqqaqt ttcqctcttq 11093481
ttgcccaggc tggagtgcaa tggtgtgatc tcggctcact gcaacctctg 11093531
cctcctgggt tcaagcaatt ctcctgcctc agcctcccga gtagctggga 11093581
ttacaggcac ctgccaccac gcctggctaa tttttgtact tttagtagag 11093631
acggggtttc tccatgttgg tcaggctggt ctcaaactcc tgacctcagg 11093681
tgatccaccc acctcggcct cccaaagttc tgggattaca gacatgagcc 11093731
accgcgcctg gccgtgtctg gcctttttta gttatttctt ttttttttt 11093781
ttttttttt gagacagagt cttactccgt cgcccaggct ggagtgcagc 11093831
ggtgcgatgt ctgcgcactg caagctccgc cccctgggtt catgccattc 11093881
```

```
tcctgcctca gccttctgag tagctgggac tgcaggcgcc tgccactacg 11093931
cccggctact tttttgtata tttagtagag atggagtttc actgtgttag 11093981
ccaggatggt ctcgatctcc tgactttgtg atccgcccgc ctcggcctcc 11094031
caaagtgctg ggattacagg cgtgagccac catgccaggc ttttttttt 11094081
ttttttttt ttgagacgga gtcttgctct gtcgcccagg ctggagtgca 11094131
gtgccatgat ctcagctcac tgcaagctcc acttcccagg ctcacgccat 11094181
tctccagcct cagcctccca agtagctgag actacagggg cccgccacca 11094231
cacteggeta attittitgt attittagta gagaeggggt ticaccatgt 11094281
tagccaggct ggtcttgaac tcctaacctc aggcgattca cctgcctcgg 11094331
cctcccaaag tgctgggatt aaaggtatga gccacctcgc ctggtgtgag 11094381
ccacctcgcc cagcctgagc cacctcaccc agcctaagcc actgtgcctg 11094431
gcctgatttt ggacttttta aaaattttat taataattat ttttgggttt 11094481
ctttttttg agacagggtc ttactctgtc atccaggcca tcctgtctgt 11094531
ctgtcatccc agtgatggga tcataccttg ctgcagcctc tacctcctgg 11094581
gctcaagcga tcctccccc tcagcctcct gagtagctgg gagtacaggt 11094631
tggtattttg ccatgttgac caggctagtc ttaaactcct ggactcactc 11094731
aagagateet eetgeettgg eeteecaagg teatttgaga etttegteat 11094781
taggcgcaca cctatgagaa gggcctgcag gcacgtggca ctcagaagac 11094831
qtttatttat tctttcaqAG GCTGAGGCTG CAGTGGCCAC CCAGGAGACA 11094881 ESONE
TCCACCGTCA GGCTAAAGGT CAGCTCCACA GCCGTAAGGA CACAGCACAC 11094931 15
AACCACCCGa CCTGTTCCCG ACACCTCCCG GCTGCCTGGG GCCACCCCTG 11094981
GGCTCACCAC GGTGGAGATA GTGACAATGT CTCACCAAGq taaaqactqq 11095031 Intr.
gccctcccta ggcccctctt cacccagaga cgggtccctt cagtggccac 11095081 15
gaacattttg gtcacgagat ggagtccagg tgtcgtcctc actcccttgc 11095131
tgaccttctc tcacttgggc cgtgtgtctc tgggccctca gtttccctat 11095181
ctgtaaagtg ggtctaataa cagttcttgc cctctttgca aggattaaat 11095231
gggccaaatc atatgagggg ccaggtcctt caggctcctg gttcccaaag 11095281
tcagccacgc accgtgtggg tcccaaaatt ttatcaaggc acattcgttg 11095331
cctcagcttc aggcatctgc ccaaaaaggc caggactaag gcaaggagag 11095381
ggagggattc ctcagtactc agcttttcac agaggctcca aaaggctaag 11095431
gaatccagta acgttttaac acaattttac aattttttt tttgagacgg 11095481
agttttgctc ttgttgccca ggctggagtg cagtggcacg atctcggctc 11095531
actgcaacct ctggctcccg ggttcaagcg attctcctgc ctcagtctcc 11095581
cgagtagctg ggattacagg catgcgccac cacgctcggc taattttgta 11095631
tttttagtac agaaggggct tctctgttgg tcaggctggt cgtgaactct 11095681
caacetcagg tgagecacec geetgageet eecaaagtge tgggattaca 11095731
ggtgtgagcc accacgcctg gcctttttt tgagacagag tctcgctctc 11095781
gcccatgctg tactgcagtg acgcagtctg ggctcactgt aacctccgct 11095831
tcccaggttc aagtgattct tctgccgcag cctcccatgt agagtagctg 11095881
ggattacagg cacccgccac catgcctggc taattcttgc atttttagta 11095931
gagatggggt ttcacagtgt tggccaggct ggtctcaaac ttctgacctc 11095981
aagtcatctg cctgccttgg ccctgccaaa gtgctgggat tatagatgtg 11096031
agccaccgcg cctggcctac agtttattct ttggtggctc acacctgtaa 11096081
tctcagcact ttgggaggcc aaggtgggag aatggcttga gcccaggagt 11096131
tcaagtccag cctgggcaac atagcaagac cctatctcta ctacaaaata 11096181
aataataaat aaactaattt tttttctttt aaaacccaac tattcaacat 11096231
ggcaatgcaa tatattaaaa aaatttttt tttctttgaa acggagtctc 11096281
tcactgtcac ccgggctgga gtgcagtgtc gccatcttgg ctcactgcaa 11096331
cctccgcctc ccaggtccaa gtgattctcc tgcttcagcc tcccgagtag 11096381
ctgggattac aggcacccac caccataccc agctaatatt tttgtatttt 11096431
tagtagagat ggggtttcac tatgttgggc aggctggtct ggaactcctg 11096481
accteqtqat ctqcccqaqq atcqqcqqcc tcccaaaqtq ctqqqqattq 11096531
caggcatgag ccaccgtgcc cagccaaaac ttttttattt ttatttttt 11096581
gggacacggt ctcactgtgt accccagact ggagtgatag agtgctgtca 11096631
tggctcactg cagcctcaac ctccctgggc tcaggtgatc ttcctgcttc 11096681
agtctcccag gtagctggga ctacaggcat gagccaccac acccagctaa 11096731
tttttgaatt tttttgtaga gacagggttt caccttgtgg cccagacttg 11096781
tctctaactc cagggctcaa gcgatctgcc caccttggcc tcccaaagtg 11096831
ctgagattaa tgcaatttaa aaaatttttt ggccaggcct ggtggctcat 11096881
gcctgtattc acaacacctt gggaggcaaa ggtgggcaga tcacttgagg 11096931
```

```
tcaggagttc gagactagcc tggccaacat ggtgaaaccc cctgtctact 11096981
aaaaaatac aaaaattacc tgggcacagt ggtgggtgcc tgtaatccca 11097031
gctacttggg atgctgaggg tggagaattg cttgaacctg ggaggcagaa 11097081
gttqcagtaa gccaagatca tgccactgga ctccagcctc agtgacagag 11097131
caaaactctg tctccaaaaa aattgttttt ttttttttt tttcaaatca 11097181
tcacactaca gccaaggcct ggccacttac ttttgtaaat aaagttttat 11097231
tqqaqccaqt qqaccaqtqa qqccqaatct tqcaqqtqta aqatcacaqt 11097281
ctatccttga aaattttgat attttgttca ttgggtggtt tttcattaat 11097331
ttaaatttta aaaaataaca tattaaaggc tggtgtggag gtgcacgcct 11097381
gcagtcctag ctactcccag aggctgaggc gggagacttg cttgagccca 11097431
agagttgaag tccagcctgg gcaacatagc gagaccccca tctctaaaaa 11097481
taaaaataat gcattagaat attattggat tcctgggcag ggcacagtgg 11097531
ctcacacctg taatcccagc actttgggag gctgaggtgg gtggatcacc 11097581
tgaggtcagg agtttgagac cagcctggcc aacatggtga aaccccgtct 11097631
ctactaaaaa tacaaaaatt agccaggcgt ggtggcaggt gcctgtaatc 11097681
ccagctactc gggaggctga agcacgagaa tcgcttgaat ccaggaggcg 11097731
gaggttgcag tgagctgaga ttgcgccatt gcactccagc ctggaggaca 11097781
agagtgaaac tccattcccc tctgcaaaga aaaggaatat tatcagattc 11097831
ctaagctttt tggctccccc tttagtttgg gggctggggt ggtgagtgtc 11097881
tgacctggcc tcactgtcct ccctggatgt gatgagaccc aggtgtgggt 11097931
caggatgtca ttcgtttgtc caccagaggg cgcccaaact gctttgagct 11097981
gctgggaaat ggtgctccta gacttttagc aaacaaacaa aaaaaaatgg 11098031
cacateggea aattteagae cattettttt tttttttttt ttggtteeag 11098081
agtagctgaa atctttgttc agttacaagc aggataaaat ggaaactgcc 11098131
tgggagaggc tgagaaacct tcttgcttgg gggaggtggg gcactgctag 11098181
aattaatcgc ttcacagacc agcccatcca ggactcctca aatttggcaa 11098231
aaaagccatt cattcattca ttcatttatg tagagacgag ggggatctgg 11098281
ctatattgcc tagattggtc tcaaattcct ggcctcaagt gatcctcctg 11098331
ccttggtcta ctaatgtgct gcgattacag gcatgagcca ccgtgcctag 11098381
ctctagtgga cttgaaatgt tgccttgccc agggccctta tgttgaatgg 11098431
cccaggtcca cttgtatggt tctgtaccaa ggttaacccc atcccataat 11098481
gcctgggaca gttgatgcag gacaatcagc ttctgtgcca ttcaacctca 11098531
ggactgagca tgctgggcat tgtggggtcc gaaggtggct cccctgtccc 11098581
tgagacgaag tettgetetg ttgeeceage tagagtgeag tggtgegate 11098681
tcagctcccc gcaacctctg cttcccgggt tcaggcgatt ctcctgcctc 11098731
agcctcctga gtagctggga ttacaggtgc ccaccgccac agctggctaa 11098781
tttttgtatt tttagtagag acagggtttc accgtgttgg ccaggctggt 11098831
cttgaactcc tgacctcagg caacctgccc acctcagcct cccaaagtgc 11098881
tgggattaca ggtttgagcc actgggcctg gccttttttt ttttttttt 11098931
agagggagtc tcactctgtt gcccaggctg gagtgcaatg gcgcgatctt 11098981
gactcactgc aactccattt cccgggttca agtgattctc ctccctcagc 11099031
ctcccaagta gctgggatta caggtgcatg ccaccacggc cagctaattt 11099081
tgtattttta gtagagacag ggtttcacta tgttgatcat gctggtctca 11099131
aactcctgac cttaggtgat ctgcccgcct tagcctccca aagtgttggg 11099181
attacaggtg tgagccaccg cgcccagacc aaaatatgct cattttaata 11099231
aaatgcacaa gtaggttgac aagaatttca cctgcaacct tgtcaaccac 11099281
ctagaataaa agcctctgca gccctcccct aaagactcat caatgtgagg 11099331
ctcaagaacc ttcttaggct gggctcggtg gctcatttct gtaatccctg 11099381
cactttggaa ggctgaggca ggaggatctc ttgaggccag gagttcaaga 11099431
caagcctggg caacatagcc agacctctgt ttctatcccc cacaaaaaga 11099481
accttcttaa accggaattg agtcctacaa cctcgataac tcacaaataa 11099531
qcccqtqtqq cctctcacaq acttqqqaaq ttctccaaqt qtccaqqqaq 11099581
atgtgccagg cgctttcctg ccgtgaccac cgtcctctgc ctgctccatt 11099631
tcttggtggc cttcctttag acctgggcct cactcttgct tctctcctgc 11099681
agCTCTGGGC GACGTTGCTG GCAGAGGAAA TGAGAAGAAG CCCAGTAGCG 11099731 ESONE
TGAGGGCTCT GTCCATTGTC CTCCCCATCG gtaagcgcgg gccggtcccc 11099781 16
cagegteece caggteacag cetecegeta tgtgaceteg tgcetggetg 11099831 Intr.
gttgggcctg ttcacttttt ctcctggaca gggaacagcc ccactggtgt 11099881 16
cctttatcac ccccacggcc tctcctggct tggggctgac agtgacaaga 11099931
tcagacagct aaggggtcag atggaggatg tggagctggg tcccgtgctg 11099981
```

```
tggaatagcc tcaccgagat ttgagtgcct tctggggaac tggttccctt 11100031
gcagggggct gtgtggagag gcgcgctctc cctgcctcac ccatgctcat 11100081
cctaactcgg ttaccatcac atctctttt tcttttttc ttaaatttta 11100131
agaaaaaaga aatttaattt ttttgagaga cagagtcttg ctctgtcacc 11100181
caggetggag tgcagtggca ccatcatgcc tcgctgcagc ctcaatgtct 11100231
gggctcaagc gatcctccca cctcagcctc ctgagtagct ggtgcaagcc 11100281
actatacccc acttcctatt tcttaaaaag tcacagccct gtgtgtggct 11100331
aatcctggac agaaatctag aagaagtcag ctacttctgg ggcgtggctc 11100381
acccagtggg cttcaggtta gatatttctt atacttatga ggctgggtgt 11100431
ggtggcttat gcctgtaatc ccagcacttt gggaggctga agtgggtgga 11100481
ttgcttgggc tcaggagttc gagaccaacc tgggcaacat ggcgaaaccc 11100531
tgtttctaga aaaggtacaa aaattagctg ggcaggtggc acgtgcctgt 11100581
ggtaccagct acttgagggc ctgaggcagg aggatcgctt gaacctggga 11100631
ggtcgaggtt gcagtgaact gagatcatgt cactgcactc cagcctggtg 11100681
acagagcaag accccgtctc aaaaaaaaaa aaagaaagaa aaaaattctt 11100731
atgcatagat ttgcctcttt tctgtttgtt tgttttgaga tggagtctcg 11100781
ctctgtcgcc caggctggag tacagtggct caacctcggc tcactgcaac 11100831
ctctgcctcc cgggttcaag caattctcct gcctcagcct cctgagtagc 11100881
tgggactaca ggcgcccgcc accatgccca gctaattttt gtatttttag 11100931
tagagactga ctgggtttca tcatgttggc caggctggtc tcgaactctt 11100981
gacctcatga tccgcccgcc tcagcctccc aaaatgctgg gattacaggc 11101031
gtgagccacc aggcccaggc cgcaaggcga tctctaaaca aacataaaag 11101081
accaggagtc aaggttatgg tacgatgccc gtgttttcac tccagccacg 11101131
gagctgggtc tctggtctcg ggggcagctg tgtgacagag cgtgcctctc 11101181
CCTACAGTGC TCCTCGTCTT CCTTTGCCTG GGGGTCTTCC TTCTATGGAA 11101231 ESONE
GAACTGGCGG CTTAAGAACA TCAACAGCAT CAACTTTGAC AACCCCGTCT 11101281 17
ATCAGAAGAC CACAGAGGAT GAGGTCCACA TTTGCCACAA CCAGGACGGC 11101331
\textbf{TACAGCTACC CCTCG} \textbf{gtgag} \ \textbf{tgaccctctc} \ \textbf{tagaaagcca} \ \textbf{gagcccatgg} \ \textbf{11101381} \ \textbf{Intr.}
cggcccctc ccagctggag gcatatgatc ctcaagggac caggccgagg 11101431 17
cttccccagc cctccagatc gaggacagca ttaggtgaat gcttctgtgc 11101481
gctcattcag aatgtcagcg gacaatggcc ttggtggtgt agaggaatgt 11101531
tggataagca aatagagagc tccatcagat ggtgacaggg caaagaaagt 11101581
caaaaggagt tcagaggccg ggcgcggtgg ctcatgcctg taatcccagg 11101631
actttgggag gccgaggctg gcggatcacc tgaagtcagg agtttgagac 11101681
cagcttggcc atcatgacaa aaccccgtct ctattaaaaa tacaaaaaat 11101731
tagccaggcg tgggagtggg cgcctgtaat cccagctact cgggaggccg 11101781
aggtagaaaa atcgcttgaa cctaggaggc agaggttgca gtgagccgag 11101831
ategegecae tgeatteeag eeegggagge aagageaaaa eteeatetea 11101881
aaaaaaaaa aaaaaggagt tcagaggccc ggcatggtgg ttcacacatg 11101931
tgatcccaga acttggggag gttgaggcag gagaatcacc tgagctcaga 11101981
gttcaagacc agcctgggca gcacagcaag accccatctc tgcaaaaaaat 11102031
aaaaatttag cccagtgtgg tgatgagcgc ctagttccag ctactaggga 11102081
ggctaaggca ggaggattgc ttgaggctaa ggtaggagat tgagactgca 11102131
gtgacttgtg attgcgtcac tgcgctccag cctgggtgac agagcaagcc 11102181
cttgtctctt aaaaaaaaa aaaaattcaa agaagggttt ccagagggcc 11102231
aggaggagg aagggagagg aggtgtttta tttttttgct tttatttttt 11102281
attttgagac agagtctctc tctgtcaccc aggttggagt gcagtgctgt 11102331
gatettgget caetgeaact tetgeeteet gggtteaage aattettatg 11102381
cctcagcctc agcctcctga gtagctggga ttacaacact atgcccgggt 11102431
aatttttgta tttttagtag agacgaggtt tcgccatgtt gcccagactg 11102481
gtctcgaact cctgacctca agtgatccac ccgccttggc ctccccacgt 11102531
gctgggattg caggcgtgag ccactgcgcc cgccttgatc tttacacaag 11102581
qqqtttaqqq taqqtaqcct tctctqaacc aqqaqaacaq cctqtqcqaa 11102631
ggccctgagg ctggaccgtg cctgttgggt ttgaggccgt tgtagctgga 11102681
gcaaacagag agaggggtaa aaaggcagga ggctaccagg caggttgtgc 11102731
agagecttgt gggecactgg ggaggaettt ggettttgee etgagagegg 11102781
tgggaagtga ctgaatccgg tactcaccgt ctccctctgg cggctcctgg 11102831
gggaacatgc ttggggatca ggctggggga ggctgccagg cccaggaggt 11102881
gagaagtagg tggcctccag ccgtgtttcc tgaatgctgg actgatagtt 11102931
tccgctgttt accatttgtt ggcagAGACA GATGGTCAGT CTGGAGGATG 11102981 Stop
ACGTGGCGTG AACATCTGCC TGGAGTCCCG tCCCTGCCCA GAACCCTTCC 11103031 ESONE
```

TGAGACCTCG	CCGGCCTTGT	TTTATTCAAA	${\tt GACAGAGAAG}$	ACCAAAGCAT	11103081	18
	AGCTTTGTTT					
GGCTTCGGAC	AGTGCCCATG	CAATGGCTTG	GGTTGGGATT	TTGGTTTCTT	11103181	
	TGAAGGATAA					
ACCTCCATTT	CTCTCCAGGA	AGTTTTGAGT	TTCTCTCCAC	CGTGACACAA	11103281	
	TGGAAGATGA	_				
	CAACACACAA					
CCTGCCTCAT	CCACCAATCT	CTAAGCCAAA	CCCCTAAACT	CAGGAGTCAA	11103431	
CGTGTTTACC	TCTTCTATGC	AAGCCTTGCT	AGACAGCCAG	GTTAGCCTTT	11103481	
GCCCTGTCAC	CCCCGAATCA	TGACCCACCC	AGTGTCTTTC	GAGGTGGGTT	11103531	
TGTACCTTCC	TTAAGCCAGG	AAAGGGATTC	ATGGCGTCGG	AAATGATCTG	11103581	
	TGGTGGCACC					
CTTCCCAGAG	GCAGAGCCTG	AGTCACtGGT	CACCCTTAAT	ATTTATTAAG	11103681	
	ACCCGGTTAC					
AGGTGTGGCT	GTCAGGACAC	CAGCCTGGTG	CCCATCCTCC	CGACCCCTAC	11103781	
CCACTTCCAT	TCCCGTGGTC	TCCTTGCACT	TTCTCAGTTC	AGAGTTGTAC	11103831	
ACTGTGTACA	TTTGGCATTT	GTGTTATTAT	TTTGCACTGT	TTTCTGTCGT	11103881	
GTGTGTTGGG	ATGGGATCCC	AGGCCAGGGA	AAGCCCGTGT	CAATGAATGC	11103931	
CGGGGACAGA	GAGGGGCAGG	TTGACCGGGA	CTTCAAAGCC	GTGATCGTGA	11103981	
	CTGCCATTGT					
ACTTCTATGC	AAATGCCTCC	AAGCCATTCA	CTTCCCCAAT	CTTGTCGTTG	11104081	
ATGGGTATGT	GTTTAAAACA	TGCACGGTGA	GGCCGGGCGC	AGTGGCTCAC	11104131	
GCCTGTAATC	CCAGCACTTT	GGGAGGCCGA	GGCGGGTGGA	TCATGAGGTC	11104181	
AGGAGATCGA	GACCATCCTG	GCTAACAcGT	GAAACCCCGT	CTCTACTAAA	11104231	
AATACAAAAA	ATTAGCCGGG	CGtGGTGGcG	GGCACCTGTA	GTCCCAGCTA	11104281	
CTCGGGAGGC	TGAGGCAGGA	GAATGGTGTG	AACCCGGGAA	GCGGAGCTTG	11104331	
CAGTGAGCCG	AGATTGCGCC	ACTGCAGTCC	GCAGTCTGGC	CTGGGCGACA	11104381	
GAGCGAGACT	CCGTCTCAAA	AAAAAAAAAC	AAAAAAAAAC	CATGCATGGT	11104431	
GCATCAGCAG	CCCATGGCCT	CTGGCCAGGC	ATGGCGAGGC	TGAGGTGGGA	11104481	
GGATGGTTTG	AGCTCAGGCA	TTTGAGGCTG	TCGTGAGCTA	TGATTATGCC	11104531	
ACTGCTTTCC	AGCCTGGGCA	ACATAGTAAG	ACCCCATCTC	TTAAAAAATG	11104581	
AATTTGGCCA	GACACAGGTG	CCTCACGCCT	GTAATCCCAG	CACTTTGGGA	11104631	
GGCTGAGCTG	GATCACTTGA	GTTCAGGAGT	TGGAGACCAG	GCCTGAGCAA	11104681	
CAAAGCGAGA	TCCCATCTCT	ACAAAAACCA	AAAAGTTAAA	AATCAGCTGG	11104731	
GTAcGGTGGC	ACGTGCCTGT	GATCCCAGCT	ACTTGGGAGG	CTGAGGCAGG	11104781	
AGGATCGCCT	GAGCCCAGGA	GGTGGAGGTT	GCAGTGAGCC	ATGATCGAGC	11104831	
CACTGCACTC	CAGCCTGGGC	AACAGATGAA	GACCCTATTT	CAGAAATACA	11104881	
ACTATAAAAA	AATAAATAAA	TCCTCCAGTC	TGGATCGTTT	GACGGGACTT	11104931	
CAGGTTCTTT	CTGAAATCGC	CGTGTTACTG	TTGCACTGAT	GTCCGGAGAG	11104981	
ACAGTGACAG	CCTCCGTCAG	ACTCCCGCGT	GAAGATGTCA	CAAGGGATTG	11105031	
GCAATTGTCC	CCAGGGACAA	AACACTGTGT	CCCCCCAGT	GCAGGGAACC	11105081	
GTGATAAGCC	TTTCTGGTTT	CGGAGCACGT	AAATGCGTCC	CTGTACAGAT	11105131	
AGTGGGGATT	TTTTGTTATG	TTTGCACTTT	GTATATTGGT	TGAAACTGTT	11105181	
	TATATATATA					
	TGGTTGCTGT					
	TATTGCCTCT					
	CTGGACTGTG					
	TGAGTGGCTT					
	GTTTTTGTAG					
	accaatttgt					
	tgttttttt	tttttcctga	gatggagcct	ggctctgtca	11105581	
cccctggct						

APPENDICE B

Sequenza codificante e traduzione del gene LDLR (mRNA NM 000527 (http://www.ncbi.nlm.nih.gov).

Il Signal peptide comprende i primi 21 a.a. La numerazione tra parentesi quadra riguarda la proteina matura ed è convenzionalmente usata per localizzare le mutazioni

	1 1	ATO M	G GG(G CCC P	TGC W	G GGC	TGC W	G AAA K	A TTC	G CG(R	TGC W	G ACC	C GTO V	C GCC A	C TTC L	G CTC L	45 15	
	46 16	CTC L	GCC A	GCG A	GCG A	GGG G	ACT T	GCA A	GTG V	GGC G	GAC D	AGA R	TGT C	GAA E	AGA R	AAC N	90 30	[9]
[10]	91 31	GAG E	TTC F	CAG Q	TGC C	CAA Q	GAC D	GGG G	AAA K	TGC C	ATC I	TCC S	TAC Y	AAG K	TGG W	GTC V	135 45	[24]
[25]	136 46	TGC C	GAT D	GGC G	AGC S	GCT A	GAG E	TGC C	CAG Q	GAT D	GGC G	TCT S	GAT D	GAG E	TCC S	CAG Q	180 60	[39]
[40]	181 61	GAG E	ACG T	TGC C	TTG L	TCT S	GTC V	ACC T	TGC C	AAA K	TCC S	GGG G	GAC D	TTC F	AGC S	TGT C	225 75	[54]
[55]	226 76	GGG G	GGC G	CGT R	GTC V	AAC N	CGC R	TGC C	ATT I	CCT P	CAG Q	TTC F	TGG W	AGG R	TGC C	GAT D	270 90	[69]
[70]	271 91	GGC G	CAA Q	GTG V	GAC D	TGC C	GAC D	AAC N	GGC G	TCA S	GAC D	GAG E	CAA Q	GGC G	TGT C	CCC P	315 105	[84]
[85]	316 106	CCC P	AAG K	ACG T	TGC C	TCC S	CAG Q	GAC D	GAG E	TTT F	CGC R	TGC C	CAC H	GAT D	GGG G	AAG K	360 120	[99]
[100]	361 121	TGC C	ATC I	TCT S	CGG R	CAG Q	TTC F	GTC V	TGT C	GAC D	TCA S	GAC D	CGG R	GAC D	TGC C	TTG L	405 135	[114]
[115]	406 136	GAC D	GGC G	TCA S	GAC D	GAG E	GCC A	TCC S	TGC C	CCG P	GTG V	CTC L	ACC T	TGT C	GGT G	CCC P	450 150	[129]
[130]	451 151	GCC A	AGC S	TTC F	CAG Q	TGC C	AAC N	AGC S	TCC S	ACC T	TGC C	ATC I	CCC P	CAG Q	CTG L	TGG W	495 165	[144]
[145]	496 166	GCC A	TGC C	GAC D	AAC N	GAC D	CCC P	GAC D	TGC C	GAA E	GAT D	GGC G	TCG S	GAT D	GAG E	TGG W	540 180	[159]
[160]	541 181	CCG P	CAG Q	CGC R	TGT C	AGG R	GGT G	CTT L	TAC Y	GTG V	TTC F	CAA Q	GGG G	GAC D	AGT S	AGC S	585 195	[174]
[175]	586 196	CCC P	TGC C	TCG S	GCC A	TTC F	GAG E	TTC F	CAC H	TGC C	CTA L	AGT S	GGC G	GAG E	TGC C	ATC I	630 210	[189]
[190]	631 211	CAC H	TCC S	AGC S	TGG W	CGC R	TGT C	GAT D	GGT G	GGC G	CCC P	GAC D	TGC C	AAG K	GAC D	AAA K	675 225	[204]
[205]	676 226	TCT S	GAC D	GAG E	GAA E	AAC N	TGC C	GCT A	GTG V	GCC A	ACC T	TGT C	CGC R	CCT P	GAC D	GAA E	720 240	[219]
	721	TTC	CAG	TGC	TCT	GAT	GGA	AAC	TGC	ATC	CAT	GGC	AGC	CGG	CAG	TGT	765	

[220]	241	F	Q	С	S	D	G	N	С	I	Н	G	S	R	Q	С	255 [234]
[235]	766	GAC	CGG	GAA	TAT	GAC	TGC	AAG	GAC	ATG	AGC	GAT	GAA	GTT	GGC	TGC	810
	256	D	R	E	Y	D	C	K	D	M	S	D	E	V	G	C	270 [249]
[250]	811	GTT	AAT	GTG	ACA	CTC	TGC	GAG	GGA	CCC	AAC	AAG	TTC	AAG	TGT	CAC	855
	271	V	N	V	T	L	C	E	G	P	N	K	F	K	C	H	285 [264]
[265]	856	AGC	GGC	GAA	TGC	ATC	ACC	CTG	GAC	AAA	GTC	TGC	AAC	ATG	GCT	AGA	900
	286	S	G	E	C	I	T	L	D	K	V	C	N	M	A	R	300 [279]
[280]	901	GAC	TGC	CGG	GAC	TGG	TCA	GAT	GAA	CCC	ATC	AAA	GAG	TGC	GGG	ACC	945
	301	D	C	R	D	W	S	D	E	P	I	K	E	C	G	T	315 [294]
[295]	946	AAC	GAA	TGC	TTG	GAC	AAC	AAC	GGC	GGC	TGT	TCC	CAC	GTC	TGC	AAT	990
	316	N	E	C	L	D	N	N	G	G	C	S	H	V	C	N	330 [309]
[310]	991	GAC	CTT	AAG	ATC	GGC	TAC	GAG	TGC	CTG	TGC	CCC	GAC	GGC	TTC	CAG	1035
	331	D	L	K	I	G	Y	E	C	L	C	P	D	G	F	Q	345 [324]
[325]	1036	CTG	GTG	GCC	CAG	CGA	AGA	TGC	GAA	GAT	ATC	GAT	GAG	TGT	CAG	GAT	1080
	346	L	V	A	Q	R	R	C	E	D	I	D	E	C	Q	D	360 [339]
[340]	1081	CCC	GAC	ACC	TGC	AGC	CAG	CTC	TGC	GTG	AAC	CTG	GAG	GGT	GGC	TAC	1125
	361	P	D	T	C	S	Q	L	C	V	N	L	E	G	G	Y	375 [354]
[355]	1126	AAG	TGC	CAG	TGT	GAG	GAA	GGC	TTC	CAG	CTG	GAC	CCC	CAC	ACG	AAG	1170
	376	K	C	Q	C	E	E	G	F	Q	L	D	P	H	T	K	390 [369]
[370]	1171	GCC	TGC	AAG	GCT	GTG	GGC	TCC	ATC	GCC	TAC	CTC	TTC	TTC	ACC	AAC	1215
	391	A	C	K	A	V	G	S	I	A	Y	L	F	F	T	N	405 [384]
[385]	1216	CGG	CAC	GAG	GTC	AGG	AAG	ATG	ACG	CTG	GAC	CGG	AGC	GAG	TAC	ACC	1260
	406	R	H	E	V	R	K	M	T	L	D	R	S	E	Y	T	420 [399]
[400]	1261	AGC	CTC	ATC	CCC	AAC	CTG	AGG	AAC	GTG	GTC	GCT	CTG	GAC	ACG	GAG	1305
	421	S	L	I	P	N	L	R	N	V	V	A	L	D	T	E	435 [414]
[415]	1306	GTG	GCC	AGC	AAT	AGA	ATC	TAC	TGG	TCT	GAC	CTG	TCC	CAG	AGA	ATG	1350
	436	V	A	S	N	R	I	Y	W	S	D	L	S	Q	R	M	450 [429]
[430]	1351	ATC	TGC	AGC	ACC	CAG	CTT	GAC	AGA	GCC	CAC	GGC	GTC	TCT	TCC	TAT	1395
	451	I	C	S	T	Q	L	D	R	A	H	G	V	S	S	Y	465 [444]
[445]	1396	GAC	ACC	GTC	ATC	AGC	AGG	GAC	ATC	CAG	GCC	CCC	GAC	GGG	CTG	GCT	1440
	466	D	T	V	I	S	R	D	I	Q	A	P	D	G	L	A	480 [459]
[460]	1441 481		GAC D	TGG W	ATC I	CAC H	AGC S	AAC N	ATC I	TAC Y	TGG W	ACC T	GAC D	TCT S	GTC V	CTG L	1485 495 [474]
[475]	1486	GGC	ACT	GTC	TCT	GTT	GCG	GAT	ACC	AAG	GGC	GTG	AAG	AGG	AAA	ACG	1530
	496	G	T	V	S	V	A	D	T	K	G	V	K	R	K	T	510 [489]
[490]	1531	TTA	TTC	AGG	GAG	AAC	GGC	TCC	AAG	CCA	AGG	GCC	ATC	GTG	GTG	GAT	1575
	511	L	F	R	E	N	G	S	K	P	R	A	I	V	V	D	525 [504]
[505]	1576	CCT	GTT	CAT	GGC	TTC	ATG	TAC	TGG	ACT	GAC	TGG	GGA	ACT	CCC	GCC	1620
	526	P	V	H	G	F	M	Y	W	T	D	W	G	T	P	A	540 [519]
[520]	1621 541		ATC I		AAA K	GGG G	GGC G	CTG L	AAT N	GGT G	GTG V	GAC D	ATC I	TAC Y	TCG S	CTG L	1665 555 [534]
[535]	1666 556				AAC N	ATT	CAG Q	TGG W	CCC P	AAT N	GGC G		ACC T	CTA L	GAT D	CTC L	1710 570 [549]

[550]	1711	CTC	AGT	GGC	CGC	CTC	TAC	TGG	GTT	GAC	TCC	AAA	CTT	CAC	TCC	ATC	1755
	571	L	S	G	R	L	Y	W	V	D	S	K	L	H	S	I	585 [564]
[565]	1756	TCA	AGC	ATC	GAT	GTC	AAT	GGG	GGC	AAC	CGG	AAG	ACC	ATC	TTG	GAG	1800
	586	S	S	I	D	V	N	G	G	N	R	K	T	I	L	E	600 [579]
[580]	1801	GAT	GAA	AAG	AGG	CTG	GCC	CAC	CCC	TTC	TCC	TTG	GCC	GTC	TTT	GAG	1845
	601	D	E	K	R	L	A	H	P	F	S	L	A	V	F	E	615 [594]
[595]	1846	GAC	AAA	GTA	TTT	TGG	ACA	GAT	ATC	ATC	AAC	GAA	GCC	ATT	TTC	AGT	1890
	616	D	K	V	F	W	T	D	I	I	N	E	A	I	F	S	630 [609]
[610]	1891	GCC	AAC	CGC	CTC	ACA	GGT	TCC	GAT	GTC	AAC	TTG	TTG	GCT	GAA	AAC	1935
	631	A	N	R	L	T	G	S	D	V	N	L	L	A	E	N	645 [624]
[625]	1936	CTA	CTG	TCC	CCA	GAG	GAT	ATG	GTC	CTC	TTC	CAC	AAC	CTC	ACC	CAG	1980
	646	L	L	S	P	E	D	M	V	L	F	H	N	L	T	Q	660 [639]
[640]	1981	CCA	AGA	GGA	GTG	AAC	TGG	TGT	GAG	AGG	ACC	ACC	CTG	AGC	AAT	GGC	2025
	661	P	R	G	V	N	W	C	E	R	T	T	L	S	N	G	675 [654]
[655]	2026	GGC	TGC	CAG	TAT	CTG	TGC	CTC	CCT	GCC	CCG	CAG	ATC	AAC	CCC	CAC	2070
	676	G	C	Q	Y	L	C	L	P	A	P	Q	I	N	P	H	690 [669]
[670]	2071	TCG	CCC	AAG	TTT	ACC	TGC	GCC	TGC	CCG	GAC	GGC	ATG	CTG	CTG	GCC	2115
	691	S	P	K	F	T	C	A	C	P	D	G	M	L	L	A	705 [684]
[685]	2116	AGG	GAC	ATG	AGG	AGC	TGC	CTC	ACA	GAG	GCT	GAG	GCT	GCA	GTG	GCC	2160
	706	R	D	M	R	S	C	L	T	E	A	E	A	A	V	A	720 [699]
[700]	2161	ACC	CAG	GAG	ACA	TCC	ACC	GTC	AGG	CTA	AAG	GTC	AGC	TCC	ACA	GCC	2205
	721	T	Q	E	T	S	T	V	R	L	K	V	S	S	T	A	735 [714]
[700] [715]	721 2206	Т	Q		Т	S	Т	V	R	L	K	V	S	S	Т	A	
	721 2206 736 2251	T GTA V	Q AGG	E ACA T	T CAG Q	S CAC	T ACA T	V ACC T	R ACC T	L CGG R	K CCT P	V GTT V	S CCC P	S GAC D	T ACC T	A TCC S	735 [714] 2250
[715]	721 2206 736 2251 751 2296	T GTA V CGG R	Q AGG R CTG	E ACA T CCT P	T CAG Q GGG G	S CAC H GCC	T ACA T ACC T	V ACC T CCT P	R ACC T GGG G	L CGG R CTC L	K CCT P ACC T	V GTT V ACG T	S CCC P GTG V	S GAC D GAG E	T ACC T ATA I	A TCC S GTG V	735 [714] 2250 750 [729] 2295
[715] [730]	721 2206 736 2251 751 2296 766 2341	T GTA V CGG R ACA T	Q AGG R CTG L ATG M	E ACA T CCT P TCT	T CAG Q GGG G CAC H	S CAC H GCC A CAA Q	T ACA T ACC T GCT A	V ACC T CCT P CTG L	R ACC T GGG G GGC	CGG R CTC L GAC D	K CCT P ACC T GTT V	V GTT V ACG T GCT A	S CCC P GTG V GGC G	S GAC D GAG E AGA R	T ACC T ATA I GGA G	TCC S GTG V AAT N	735 [714] 2250 750 [729] 2295 765 [744] 2340
[715] [730] [745]	721 2206 736 2251 751 2296 766 2341 781 2386	T GTA V CGG R ACA T GAG E	Q AGG R CTG L ATG M AAG K	E ACA T CCT P TCT S AAG	T CAG Q GGG G CAC H CCC P	S CAC H GCC A CAA Q AGT S	T ACA T ACC T GCT A AGC S	V ACC T CCT P CTG L GTG V	R ACC T GGG G G GAGC AGG R	CGGGR CTCL GACDGGCTA	K CCT P ACC T GTT V CTG L	V GTT V ACG T GCT A TCC S	S CCC P GTG V GGC G ATT I	GAC D GAG E AGA R GTC V	T ACC T ATA I GGA G CTC L	TCC S GTG V AAT N CCCC P	735 [714] 2250 750 [729] 2295 765 [744] 2340 780 [759] 2385
[715] [730] [745] [760]	721 2206 736 2251 751 2296 766 2341 781 2386 796 2431	T GTA V CGG R ACA T GAG E ATC	Q AGG R CTG L ATG M AAG K GTG V	E ACA T CCT P TCT S AAG K CTC L	T CAG Q GGG G CAC H CCC P CTC L	S CAC H GCC A CAA Q AGT S GTC V	T ACA T ACC T GCT A AGC S TTC F	V ACC T CCT P CTG L GTG V CTT L	R ACC T GGG G AGG R TGC C	CGG R CTC L GAC D GCT A CTG L	CCT P ACC T V CTG L GGG G	V GTT V ACG T GCT A TCC S GTC V	S CCC P GTG V GGC G ATT I TTC F	S GAC D GAG E AGA R GTC V CTT L	T ACC T ATA I GGA G CTC L CTA L	TCC S GTG V AAT N CCC P TGG W	735 [714] 2250 750 [729] 2295 765 [744] 2340 780 [759] 2385 795 [774] 2430
[715] [730] [745] [760] [775]	721 2206 736 2251 751 2296 766 2341 781 2386 796 2431 811 2476	T GTA V CGG R ACA T GAG E ATC I AAG K	Q AGG R CTG L ATG M AAG K GTG V AAC N	E ACA T CCT P TCT S AAG K CTC L TGG	T CAG Q GGG G CAC H CCC P CTC L CGG R	S CAC H GCC A CAA Q AGT S GTC V CTT L	T ACA T ACC T A AGC S TTC F AAG K	V ACC T CCT P CTG L GTG V CTT L AAC	R ACC T GGGG G G GC AGG R TGC C ATC I	CTC L GAC D GCT A CTG L AAC N	K CCT P ACC T GTT V CTG L GGG G AGC S	V GTT V ACG T GCT A TCC S GTC V ATC	S CCC P GTG V GGC G ATT I TTC F AAC N	S GAC D GAG E AGA R GTC V CTT L TTT F	T ACC T ATA I GGA C CTC L GAC D	A TCC S GTG V AAT N CCC P TGG W AAC N	735 [714] 2250 750 [729] 2295 765 [744] 2340 780 [759] 2385 795 [774] 2430 810 [789] 2475
[715] [730] [745] [760] [775]	721 2206 736 2251 751 2296 766 2341 781 2386 796 2431 811 2476 826 2521	T GTA V CGG R ACA T GAG E ATC I AAG K CCC P	Q AGG R CTG L ATG M AAG K GTG V AAC N GTC V	E ACA T CCT P TCT S AAG K CTC L TGG W TAT	T CAG Q GGG G CAC H CCCC P CTC L CGG R CAG Q	S CAC H GCC A CAA Q AGT S GTC V CTT L AAG K	T ACA T ACC T GCT A AGC S TTC F AAG K ACC T	V ACC T CCT P CTG L GTG V CTT L AAC N ACA T	R ACC T GGG G G GC C AGG R TGC C ATC I GAG E	CTC L GAC D GCT A CTG L AAC N GAT D	K CCT P ACC T GTT V CTG L GGG G AGC S GAG E	V GTT V ACG T GCT A TCC S GTC V ATC I GTC V	S CCC P GTG V GGC G ATT I TTC F AAC N CAC H	S GAC D GAG E AGA R GTC V CTT L TTT F ATT I	T ACC T ATA I GGA C CTA L GAC D TGC C	TCC S GTG V AAT N CCC P TGG W AAC N CAC H	735 [714] 2250 750 [729] 2295 765 [744] 2340 780 [759] 2385 795 [774] 2430 810 [789] 2475 825 [804]

81

APPENDICE C

Gel elettroforesi capillare su microchip

La tecnica comunemente usata per l'analisi dei prodotti di PCR è stata fino a pochi anni fa, la gelelettroforesi su slab (SGE = Slab Gel Electrophoresis). Essa, pur avendo il vantaggio di essere poco costosa, è però carente in termini di riproducibilità e capacità di quantizzare i prodotti analizzati. D'altra parte, l'elettroforesi capillare abbinata ad un rivelatore a fluorescenza indotta da laser (CE-LIF = Capillary Electrophoresis-Laser Induced Fluorescence) è un sistema molto efficiente sensibile per l'analisi qualitativa e quantitativa di frammenti di DNA ed RNA ma è costosa e non idonea alla routine.

Questi inconvenienti hanno così stimolato la ricerca di soluzioni alternative più semplici ed economiche. Tra il 1995 e il 1998 fu sviluppata la tecnologia per incidere una fitta rete di microcapillari all'interno di blocchetti di vetro o metacrilato, di dimensioni analoghe a quelle dei componenti elettronici conosciuti come microchip. Il riempimento sotto pressione di questi microcapillari con un gel di poliacrilammide contenente nuovi colori fluorescenti intercalanti permetteva la separazione elettroforetica rapida ed efficiente e l'affidabile quantizzazione di frammenti di DNA ed RNA grazie alla sensibilità consentita dalla rivelazione LIF. Nel 2000 L'Agilent Technologies mise in commercio uno strumento munito di software applicativo e di microchip predisposti alla separazione, su gel non denaturante, di frammenti di DNA e RNA di varia dimensione. Questa tecnica risultò vantaggiosa per semplicità d'uso ed elevata standardizzazione, brevità dei tempi di analisi, ridotto consumo di reattivi e di analita, bassi costi di acquisto e di esercizio e fu apprezzata nell'ambito di determinazioni genetico-molecolari, quali ad esempio, quella per la caratterizzazione molecolare di patologie familiari a carico del metabolismo lipidico o lipoproteico, per lo screening di varianti genetiche note attraverso la restrizione enzimatica o l'amplificazione allele-specifica, per la ricerca di mutazioni incognite mediante SSCP e del DNA eteroduplice.

Questa tecnica garantisce grazie all'incorporazione di un sistema di calibrazione, sia qualitativo che quantitativo, una elevata standardizzazione e riproducibilità dei risultati in corse elettroforetiche eseguite con microchip e lotti di gel diversi i cui risultati sono presentati in formato gel-simile o di elettroferogramma o tabulare. Sono inoltre disponibili kit che hanno caratteristiche di risoluzione diverse secondo la diversa lunghezza dei frammenti di DNA da analizzare; in particolare si è rivelato utile per le applicazioni descritte in questo studio il kit DNA500 (sizing 25-500bp). Altri vantaggi dell' analisi con il Bioanalyzer dovuti in gran parte all'impiego di nuovi coloranti intercalanti idonei alla LIF sono l'elevatissima sensibilità di rivelazione e la drastica riduzione della quantità di campione.

Il Bioanalyzer permette di analizzare sequenzialmente 12 campioni di DNA o RNA in meno di 30 min e fornisce tutti risultati quantitativi (con un'accuratezza maggiore del 70% e in un rang lineare di concentrazione compresa tra 0.5 e 50 ng/ μ L) e qualitativi (con un'accuratezza di +2 bp o di +4 bp, a seconda del kit utilizzato), automaticamente, al termine della separazione. Il caricamento si effettua in questo modo: in pratica una piccola lastrina sulla quale è incisa una fitta rete di capillari (Figura C1.A) viene caricata col gel elettroforetico con un ladder DNA e 1 μ L di ciascuno di 12 diversi estratti di DNA addizionati di un marker che serve ad allineare le diverse corse elettroforetiche eseguite sequenzialmente nel Lab-Cbip. La piastra viene inserita nel Bioanalyzer (Figura C1.B) e viene avviato lo specifico programma per l'analisi del DNA. Il risultato analitico si ottiene dopo circa 30 minuti e consiste in una simulazione di un gel su lastra piastra, o da 12 elettroferogrammi corrispondenti ai singoli campioni.

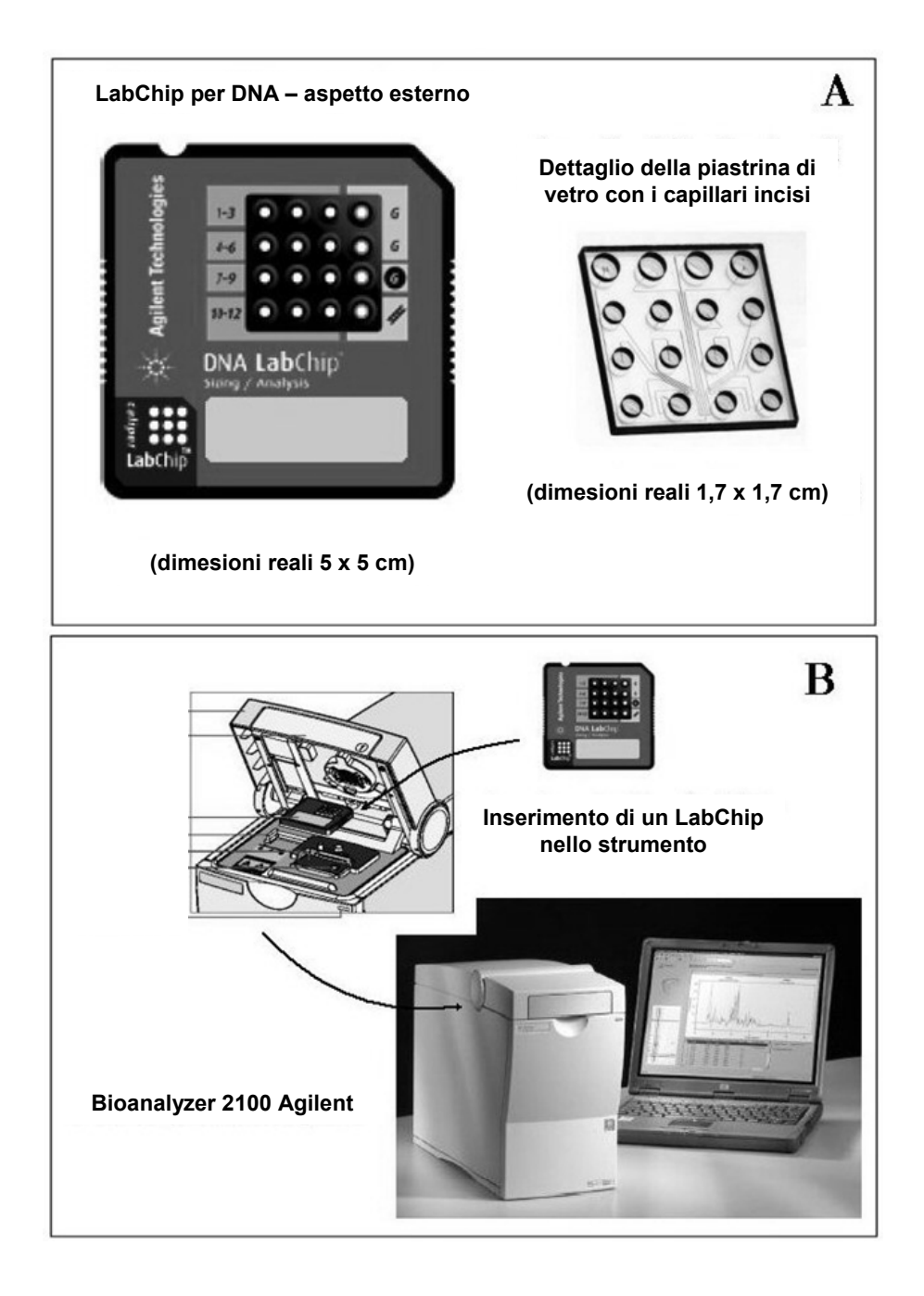


Figura C1. A) Struttura e dimensioni del LabChip. B) Inserimento del LabChip nel Bioanalyzer

APPENDICE D

Elenco aggiornato al 2006 delle mutazioni FH trovate in Italia

MUTAZIONI MISSENSO

Mutation	Receptor (1)	Receptor (2)	Designation
Ex 1 c.28 T>A	W-12R	p.W10R	FH Enna
Ex 2 c.173 A>G	E37G	p.E58G	FH Milan-6
Ex 2 c.185 C>T	T41M	p.T62M	FH Bari-4
Ex 3 c.265 T>C	C68R	p.C89R	FH Catanzaro-1
Ex 4 c.326 G>C	C88S	p.C109S	FH Savona-3
Ex 4 c.346 T>C	C95R	p.C116R	FH Alghero-1
Ex 4 c.352 G>T	D97Y	p.D118Y	FH Naples-3
Ex 4 c.362 G>T	C100F	p.C121F	FH Trento
Ex 4 c.367 T>C	S102P	p.S123P	FH Milan-7
Ex 4 c.401 G>T	C113F	p.C134F	FH Alessandria-1
Ex 4 c.402 C>G	C113W	p.C134W	FH Lucca
Ex 4 c.415 G>A	D118N	p.D139N	FH Sassari-2
Ex 4 c.418 G>A	E119K	p.E140K	FH Alghero-2
Ex 4 c.518 G>A	C152Y	p.C173Y	FH L'Ăquila
Ex 4 c.551 G>A	C163Y	p.C184Y	FH Rome-2
Ex 4 c.593 C>T	S177L	p.S198L	FH Latina-1
Ex 4 c.662 A>G	D200G	p.D221G	FH Padua-1
Ex 4 c.665 G>A	C201Y	p.C222Y	FH Genoa-2
Ex 4 c.682 G>A	E207K	p.E228K	FH Modena/Reggio Cal-4
Ex 5 c.761 A>C	Q233P	p.Q254P	FH Catania-2
Ex 5 c.806 G>A	G248D	p.G269D	FH Rome-3
Ex 6 c.826 T>C	C255R	p.C276R	FH Ceva
Ex 6 c.826 T>G	C255G	p.C276G	FH Forlì
Ex 6 c.828 C>G	C255W	p.C276W	FH Sassari-3
Ex 6 c.829 G>A	E256K	p.E277K	FH Genoa-3
Ex 6 c.898 A>G	R279G	p.R300G	FH Vercelli
Ex 7 c.952 T>C	C297R	p.C318R	FH Perugia
Ex 7 c.953 G>T	C297F	p.C318F	FH Trieste
Ex 7 c.1056 C>G	C331W	p.C352W	FH Avellino-1
Ex 8 c.1090 T>C	C343R	p.C364R	FH Palermo-2
Ex 8 c.1109 A>C	N349T		
		p.N370T	FH Reggio Calabria-1
Ex 8 c.1118 G>A	G352D	p.G373D	FH Potenza-2
Ex 8 c.1130 G>C	C356S	p.C377S	FH Catania-5
Ex 8 c.1133 A>C	Q357P	p.Q378P	FH Rovigo-3
Ex 8 c.1135 T>C	C358R	p.C379R	FH Naples-1
Ex 9 c.1195 G>A	A378T	p.A399T	FH Nuoro-1
Ex 9 c.1211 C>T	T383I	p.T404I	FH Catania-3
Ex 9 c.1244 A>G	D394G	p.D415G	FH Padua-3
Ex 9 c.1274 G>C	R395P	p.R416P	FH Naples-6
Ex 9 c.1285 G>A	V408M	p.V429M	FH Catania-4/Genoa-6
Ex 9 c.1301 C>G	T413R	p.T434R	FH Sassari-4
Ex 10 c.1454 A>G	H464R	p.H485R	FH Milan-1
Ex 10 c.1463 T>A	1467N	p.I488N	FH Piacenza
Ex 10 c.1466 A>G	Y468C	p.Y489C	FH Taranto
Ex 10 c.1468 T>G	W469G	p.W490G	FH Asti-2
Ex 10 c.1532 T>C	L490S	p.L511S	FH Rome-4
Ex 10 c.1567 G>A	V502M	p.V523M	FH Bari-2
Ex 11 c.1644 T>A	N527K	p.N548K	FH Naples-11
Ex 14 c.2088 C>G	C675W	p.C696W	FH Caserta

segue

continua

Mutation	Receptor (1)	Receptor (2)	Designation
Ex 14 c.2132 G>A	C690Y	p.C711Y	FH Ischia
Ex 16 c.2375 T>C	1771T	p.I792T	FH Palermo-5
Ex 10 c.1586 G>A	G508D	p.G529D	FH Genoa-4
Ex 11 c.1646 G>A	G528D	p.G549D	FH Palermo-1
Ex 11 c.1694 G>T	G544V	p.G565V	FH Naples-2
Ex 12 c.1721 G>A	R553H	p.R574H	FH Palermo-4
Ex 12 c.1735 G>T	D558Y	p.D579Y	FH Casale Monferrato
Ex 12 c.1775 G>A	G571E	p.G592E	FH Foggia-1/Genoa-7
Ex 13 c.1892 C>A	A610D	p.A631D	FH Como
Ex 13 c.1897 C>T	R612C	p.R633C	FH Palermo-6
Ex 13 c.1978 C>A	Q639K	p.Q660K	FH Latina-2
Ex 14 c.2054 C>T	P664L	p.P685L	FH Frosinone-1
Ex 17 c.2483 A>G	Y807C	p.Y828C	FH Bari-1

MUTAZIONI NONSENSO

Mutation	Receptor (1)	Receptor (2)	Designation
Ex 2 c.97 C>T	Q12X	p.Q33X	FH Milan-4
Ex 2 c.103 C>T	Q14X	p.Q35X	FH Milan-3
Ex 3 c.301 G>T	E80X	p.E101X	FH Imperia
Ex 3 c.304 C>T	Q81X	p.Q102X	FH Rapone
Ex 4 c.373 C>T	Q104X	p.Q125X	FH Foggia-2
Ex 4 c.418 G>T	E119X	p.E140C	FH Campobasso
Ex 4 c.465 C>A	C134X	p.C155X	FH Naples-5
Ex 6 c.862 G>T	E267X	p.E288X	FH Milan-2
Ex 8 c.1104 C>A	C347X	p.C368X	FH Cuneo-2/ Arezzo/Eboli
Ex 9 c.1252 G>T	E397X	p.E418X	FH Aosta
Ex 9 c.1257 C>G	Y398X	p.Y419X	FH Caltanissetta-2
Ex 10 c.1449 G>A	W462X	p.W483X	FH Naples-10
Ex 12 c.1798 G>T	E579X	p.E600X	FH Sassari-5
Ex 15 c.2308 C>T	Q749X	p.Q770X	FH Mondovì

DELEZIONI/INSERZIONI PUNTIFORMI

Mutation	Receptor (1)	Receptor (2)	Designation
Ex 4 c.366-7 ins C	S102LFsX108	p.S123LFsX129	FH Rimini
Ex 4 c.557 del G	R164VFsX183	p.R185VFsX204	FH Ferrara-1
Ex 4 c.616-7 ins A	S185KFsX196	p.S206KFsX217	FH Pontedera
Ex 4 c.648 ins T	D196X	p.D219X	FH Reggio Calabria-2
Ex 8 c.1067 del A	D335VFsX348	p.D356VFsX369	FH Cuneo-1
Ex 12 c.1778 del G	G572AFsX643	p.G572AFsX643	FH Sassari-1
Ex 17 c.2416-7 ins G	V785GFsX794	p.V806GFsX815	FH Naples-9

DELEZIONI/INSERZIONI PICOLE

Mutation	Receptor (1)	Receptor (2)	Designation
Ex 1 c.27_37 del 11	R-13FsX	p.R9FsX24	FH Catanzaro-2
Ex 2 c.130-1 insGT	W23CFsX185	p.W44CFsX206	FH Milan-5
Ex 4 c.623_644 del 22	E187AFsX236	p.E208AFsX257	FH Asti-1
Ex 4 c.681-2 ins 18	C201-D206 dupl	p.C222-D227 dupl	FH Padua-4
Ex 4 c.682-684 delc.681-2 ins 6	E207 del 206-208 ins CK 227-229 ins CK	p.E228 del	FH Chieti-3
Ex 4 c.684-5 ins 21	E207 ins 7 aa	p.E228 ins 7 aa	FH Reggio Calabria-3
Ex 8 c.1068 T>Ac.1065- 6 ind 18	D335E335 insECQDPD	p.D356E356 ins ECQDPD	FH Chieti-2
Ex 8 c.1078_1081 delAGGATC	Q338, D339 del	Q356, D360 del	FH Turin-1
Ex 8 c.1119-1122 dupl TGGC	Y354WFsX360	p.Y375WFsC381	FH Pisa/Turin-2
Ex 8 c.1120- 1123duplGGCT	Y354WFsX360	p.Y375WFsC381	FH Savona-4
Ex 11 c.1296_1298 del GGA	D412 del	p.D433 del	FH-Alessandria-2
Ex 10 c.1374-5 del AG	R437SFsX444	p.R458SFsX465	FH Ancona
Ex 10 c.1418- 1419duplACAT	Q453HFsX515	p.Q474HFsX536	FH Savona-1
Ex 10 c.1439_1449 del 11	A459FsX510	p.A480FsX531	FH Reggio Emilia
Ex 10 c.1478-1479 del CT	S472CFsX513	p.S493CFsX534	FH Frosinone-2
Ex 11 c.1698_1704 delc.1697 ins 7	545-547ITL>MPN	p.566-568ITL>MPN	FH Nalpes-7
Ex 12 c.1749-1753del CTCCA	S563LFsX579	p.S584LFsX600	FH Savona-2

MUTAZIONI DI SPLICING

Mutation	Receptor	Designation
IVS3 c.313 +1 g>a	In frame del	FH Olbia
IVS3 c.313 +5 g>a	?	FH Naples-4
IVS7 c.1061 –8 t>c	?	FH Rovigo-2
IVS8 c.1187 –1 g>a	?	FH Genoa-5
IVS10 c.1586 +1 g>a	In frame delln frame ins	FH Agrigento-1
IVS11 c.1706 –10 g>a	?	FH Nuoro-2/Rovigo-1
IVS12 c.1846 –1 g>a	TruncatedIn frame del	FH Avellino-2
IVS14 c.2140 +5 g>a	?	FH Varese
IVS15 c.2311 +1 g>a	TruncatedIn frame ins	FH Benevento
IVS15 c.2312 –3 c>a	?	FH Naples-8
IVS16 c.2389 +1 g>a	In frame ins	FH Monfalcone
IVS16 c.2389 +5 g>a	?	FH Ferrara-2
IVS16 c.2390 -1 g>a	?	FH Agrigento-2

Abbreviazioni. Ex: esone; Int: introne; IF:ipercolesterolemia familiare; MS: Membrane Spanning; CT Cytoplasmatyc Tail; CF Classe Funzionale, 1 (allele nullo), 2A (completo trasporto difettivo), 2B (parziale trasporto difettivo), 3 (legame difettivo), 4 (internalizzazione citoplasmatica difettiva), 5 (riciclo difettivo)

SOMMARIO DELLE MUTAZIONI DEL GENE LDLR TROVATE AD OGGI NEGLI FH ITALIANI

Riarrangiamenti Grossolani	
Delezioni Inserzioni	12 4
Piccole Mutazioni	
Delezioni Delezioni/Inserzioni Inserzioni	8 2 7
Mutazioni Puntiformi	
Delezioni Inserzioni Missenso Nonsenso Giunzioni di Splice	3 4 64 14 15
TOTALI	133

APPENDICE E

Citazioni bibliografiche di rilievo per le mutazioni FH trovate in Italia

Bertolini S, Lelli N, Coviello DA, Ghisellini M, Masturzo P, Tiozzo R, Elicio N, Gaddi A, Calandra S. A large deletion in the LDL- receptor gene- the cause of familial hypercholesterolemia in three Italian families: a study that dates back to the 17th century (FH-Pavia). *Am J Hum Genet* 1992;51:123-34.

Bertolini S, Patel DD, Coviello DA, Lelli N, Ghisellini M, Tiozzo R, Masturzo P, Elicio N, Knight BL, Calandra S. *J Lipid Res* 1994;35:1422-30.

Bertolini S, Garuti R, Lelli N, Rolleri M, Tiozzo RM, Ghisellini M, Simone ML, Masturzo P, Stefanutti C, Coviello DA, Carabbio C, Orecchini G, Calandra S. Four Novel Partial Deletion of LDLReceptor Gene in Italian Patients With Familial Hypercholesterolemia. *Arteriosclerosis, Thrombosis and Vascular Biology* 1995;15:81-8.

Bertolini S, Cassanelli S, Garuti R, Ghisellini M, Simone ML, Rolleri M, Calandra S. Analysis of LDL Receptor Gene Mutations in Italian Patients With Homozygous Familial Hypercholesterolemia. *Arteriosclerosis, Thrombosis and Vascular Biology* 1999; 19:408-18.

Cantafora A, Blotta I, Mercuri E, Calandra S, Bertolini S. Simple detection of a point mutation in LDL receptor gene causing familial hypercholesterolemia in southern Italy by allele-specific polymerase chain reaction. *Journal of Lipid Research* 1998;39:1101-5.

Cassanelli S, Bertolini S, Rolleri M, De Stefano F, Casarino L, Elicio N, Naselli A, Calandra S. A 'de novo' point mutation of the low- density liporotein receptor gene in an Italian subject with primary hypercholesterolemia. *Clin Genet* 1998;53:391-5.

Deiana L, Garuti R, Pes GM, Carru C, Errigo A, Rolleri M, Pisciotta L, Masturzo P, Cantafora A, Calandra S, Bertolini S. Influence β0- Thalassemia on the Phenotypic Expression of Heterozigous familial Hypercholesterolemia. *Arteriosclerosis, Thrombosis and Vascular Biology* 2000;20:236-43.

De Mattei S, Rolleri M, Garuti R, Ginocchio E, Masturzo P, Martini S, Casella F, Baggio G, Calandra S, Bertolini S. Variable phenotypic expression of the mutation Padua-1 of LDL-R gene in homozigous patients. *Atherosclerosis* 1997;134:70.

De Mattei S, Rolleri M, Masturzo P, Fascetti V, Elicio N, Motti C, Cortese C, Calandra S, Bertolini S. A founder –related LDL-receptor gene mutation in the Liguria region of Italy. *Atherosclerosis* 1997;134:66.

Fascetti V, Rolleri M, Guido V, Trovatello G, Masturzo P, Garuti R, Motti C, Cortese C, Cantafora A, Calandra S, Bertolini S. FH clusters in southern Italy. *Atherosclerosis* 1997;135(Suppl 1):S12.

Garuti R, Lelli N, Barozzini M, Tiozzo R, Ghisellini M, Simone ML, Li Volti S, Garozzo R, Mollica F, Vergoni W, Bertolini S, Calandra S. Two novel partila deletions of LDL-receptor gene in Italian patients with familial hypercholesterolemia (FHSiracusa and FH Reggio Emilia). *Atherosclerosis* 1996;121:105-17.

Garuti R, Rolleri M, Bertolini S, De Stefano F, Casarino L, Calandra S. A de novo point mutation of LDL receptor gene. *Atherosclerosis* 1997;134:167.

Ginocchio E, Rolleri M, Garuti R, Masturzo P, Guido V, Elicio N, Cortese C, Motti C, Calandra S, Bertolini S. New minute or point mutations of LDL-receptor gene in patients with heterozigous familial hypercholesterolemia. *Atherosclerosis* 1997;133:273.

Goldstein JL, Hobbs HH, Brown MS. Familial hypercholesterolemia. In: Scriver CR, William SS, Childs B, *et al.* (Ed.). *The metabolic and molecular bases of inherited disease* New York: McGraw-Hill, Inc.; 1995. p. 1981-2030.

Lelli N, Calandra S, Gaddi A, Ciarrocchi A, Bertolini S. Duplication of exons 13, 14 and 15 of the LDL-receptor gene in a patient with heterozygous familial hypercholesterolemia. *Hum Genet* 1991;89:359-62.

Lelli N, Ghisellini M, Gualdi R, Tiozzo R, Calandra S, Gaddi A, Ciarrocchi A, Arca M, Fazio S, Coviello DA, Bertolini S. Characterizazion of three mutations of the low density lipoprotein receptor gene in italian patients with familial hypercholesterolemia. *Arteriosclerosis and Thrombosis* 1991;11:234-43.

Lelli N, Garuti R, Zambelli F, Cassanelli S, Corsini A, Bertolini S, Riva E, Ortisi MT, Bellù R, Calandra S. Alternative splicing of mutant LDL-receptor mRna in an Italian patient with Familial Hypercholesterolemia due to a partial deletion of LDL-receptor gene (FH Potenza). *J Lipid Res* 1993;34:1347-54.

Lelli N, Garuti R, Pedrazzi P, Ghisellini M, Simone ML, Tiozzo R, Cattin L, Valenti M, Rolleri M, Bertolini S, Stefanutti C, Calandra S. A new missense mutation (Cys 297→ Phe) of the low density lipoprotein receptor in Italian patients with familial hypercholesterolemia (FHTrieste). *Human Genetics* 1994;93:538-54.

Lelli N, Garuti R, Ghisellini M, Tiozzo R, Rolleri M, Aimale V, Ginocchio E, Naselli A, Bertolini S, Calandra S. Occurrence of multiple aberrantly spliced mRNAs of the LDL-receptor gene upon a donor splice site mutation that causes familial hypercholesterolemia (FHBenevento). *J Lipid Res* 1995; 36: 1315-1324.

Maioli M, Melis MG, Pacifico A, Secchi G, Manconi A, Pintus P, Zuliani G, Fellin R, Leitersdorf E. The FH-Elverum mutation causes familial hypercholesterolemia in northeastern Sardinia. *Atherosclerosis* 1997:134:70.

Patel DD, Lelli N, Garuti R, Li Volti S, Bertolini S, Knight BL, Calandra S. Analysis of two duplications of the LDL receptor gene affecting intracellular transport, catabolism, and surface binding of the LDL receptor. *J Lipid Res* 1998;39:1466-75.

Rampa P, Motti C, Trovatello G, Bernardini S, Massoud R, Fucci G, Federici G, Calandra S, Bertolini S, Cortese C. A tetranucleotide insertion in exon 8 of LDL-receptor gene in an Italian FH-patient. *Atherosclerosis* 1997;135Suppl.1:S19.

APPENDICE F

Elenco dei polimorfismi interni al gene LDLR

Localizzazione	Variazione	Enzimi di Restrizione
Esone 2	C>T al nucleotide 81	Sfnal
Introne 3		ApaLI
Esone 4	G>T al nucleotide 324	MaeIII
Introne 4		Taql
Introne 6		Sphl
Esone 7	C>T al nucleotide 1056	Artificial Cfol
Introne 7	G>C al nucleotide 1060+10	Smal
Esone 8	A>G al nucleotide 1170	Stul
Introne 9	C>T al nucleotide 1359-29	Hhal
Esone 10	G>A al nucleotide 1413	
Esone 11C>T al nucleotide 1617	Artificial Stul	
Esone 12	T>C al nucleotide 1773	HincII
Esone 12	C>T al nucleotide 1725	
Introne 12		BstEII
Esone 13	C>T al nucleotide 1959	Avall
Esone 14	C>A al nucleotide 2029	
Esone 15	G>A al nucleotide 2231	Mspl
Introne 15		Spel
Introne 15		ApaLl
Introne 15	A>G	Pvull
Esone 18	G>A al nucleotide 2635	Mspl
Esone 18		Ncol
Esone 18	(TA)n al nucleotide 4780	HVR-TA

La riproduzione parziale o totale dei Rapporti e Congressi ISTISAN deve essere preventivamente autorizzata.

Le richieste possono essere inviate a: pubblicazioni@iss.it.

Stampato da Tipografia Facciotti srl Vicolo Pian Due Torri 74, 00146 Roma

Roma, settembre 2006 (n. 3) 5° Suppl.